



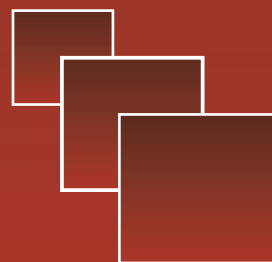
Вестник

Уральского
государственного
университета
путей сообщения

Научный журнал

Herald
of the Ural State University
of Railway Transport

Scientific journal



Научный журнал
Вестник Уральского государственного
университета путей сообщения
(Вестник УрГУПС)
№ 1 (41), 2019 год

Главный редактор
Василий Михайлович Сай
Научный редактор
Василий Федорович Лапшин

Литературный и выпускающий редактор
Людмила Станиславовна Барышникова

Техническое редактирование и верстка
Светлана Николаевна Наймушина

Учредитель и издатель:
Федеральное государственное
бюджетное образовательное учрежде-
ние высшего образования «Уральский
государственный университет путей
сообщения» (ФГБОУ ВО УрГУПС)

Адрес учредителя, издателя и редакции:
620034, Екатеринбург,
ул. Колмогорова, 66

Телефон редакции: (343) 221-25-60.
Веб-сайт: www.usurt.ru/vestnik;
e-mail: vestnik@usurt.ru.

Вестник УрГУПС включен ВАКом
в перечень периодических, научных
и научно-технических изданий,
выпускаемых в Российской Федерации,
в которых рекомендуется публикация
основных результатов диссертаций.

DOI:10.20291/2079-0392

Свидетельство о регистрации
средства массовой информации
Роскомнадзора ПИ № ФС77–38188
от 30 ноября 2009 г.

Подписной индекс журнала
в общероссийском
каталоге «Пресса России» – 70070

Отпечатано в издательстве
Уральского государственного
университета путей сообщения,
620034, Екатеринбург,
ул. Колмогорова, 66.

Подписано в печать 29.03.2019
Дата выхода в свет 10.04.2019.
Цена 319 руб.

Тираж 300 экз. 1-й з-д: 1–80.
Формат 70×100/16.
Заказ 18

Уральский государственный
университет путей сообщения
(ФГБОУ ВО УрГУПС), 2019 ©

Scientific journal «Herald of the
Ural State University
of Railway Transport»
(Herald of the USURT)
№ 1 (41), 2019

Editor-in-chief,
Vasily M. Say
Science editor
Vasily Fedorovich Lapshin

Script and copy editor
Lyudmila S. Baryshnikova

Technical editing and make-up
Svetlana N. Naimushina

Founder and publisher:
Federal state-funded educational
institution of the higher education
«Ural State University of Railway Transport»
(FGBOU VO URGUPS)

Address of the founder, publisher and edition:
66 Kolmogorov Street,
620034, Ekaterinburg

Telephone: +7 (343) 221-25-60.
Web-site: www.usurt.ru/vestnik;
e-mail: vestnik@usurt.ru.

DOI:10.20291/2079-0392

Certificate of registration of mass media
by the Federal Service for Supervision
in the sphere of communications,
information technology and mass communications
(Roskomnadzor) PI № FS77–38188
of November 30, 2009.

Subscription reference number
of the issue in the All Russia Catalogue
«Pressa Rossii» – 70070

Printed in the Publishing house
of the Ural State University of
Railway Transport
66 Kolmogorov Street,
620034, Ekaterinburg.

Passed for printing 29.03.2019
Data of issue 10.04.2019.
The price 319 rub.

Circulation 300. The 1st pr.: 1–80.
Format 70×100/16.
Order 18

The Ural State University
of Railway Transport
(FGBOU VO URGUPS), 2019 ©

МЕЖДУНАРОДНЫЙ РЕДАКЦИОННЫЙ СОВЕТ

Кейт Бурнхам, профессор, Университет г. Ковентри, факультет машиностроения и вычислительной техники, Великобритания

Петер Копачек, профессор, Венский технологический университет, Венский институт транспорта и робототехники, интеллектуальный транспорт и робототехника, Вена, Австрия

Владимир Цыганов, д-р техн. наук, профессор, Институт проблем управления Российской академии наук, Москва, Россия

Сергей Герман-Галкин, д-р техн. наук, профессор, Морская академия, Институт судовой автоматики и электротехники, Щецин, Польша

Клаус Беккер, профессор, Университет прикладных наук г. Кельна, Институт автомобильной техники, лаборатория NVH, Германия

Василий Сай, д-р техн. наук, профессор, Уральский государственный университет путей сообщения, Екатеринбург, Россия

РЕДКОЛЛЕГИЯ

Аккерман Геннадий Львович, д-р техн. наук, профессор, УрГУПС, Екатеринбург

Ашпиз Евгений Самуилович, д-р техн. наук, профессор, РУТ, Москва

Булаев Владимир Григорьевич, д-р техн. наук, профессор, УрГУПС, Екатеринбург

Воробьев Александр Алексеевич, д-р техн. наук, профессор, МГУПС, Москва

Воскресенская Тамара Петровна, д-р техн. наук, профессор, СибГИУ, Новокузнецк

Корнилов Сергей Николаевич, д-р техн. наук, профессор, МГТУ, Магнитогорск

Кузнецов Константин Борисович, д-р техн. наук, профессор, УрГУПС, Екатеринбург

Курганов Валерий Максимович, д-р техн. наук, ТГУ, г. Тверь

Лапшин Василий Федорович, д-р техн. наук, профессор, УрГУПС, Екатеринбург

Сапожников Валерий Владимирович, д-р техн. наук, профессор, ПГУПС, Санкт-Петербург

Сизый Сергей Викторович, д-р техн. наук, профессор, УрФУ, Екатеринбург

Тимофеева Галина Адольфовна, д-р физ.-мат. наук, профессор, УрГУПС, Екатеринбург

Щурин Константин Владимирович, д-р техн. наук, профессор, ОГУ, Оренбург

INTERNATIONAL EDITORIAL BOARD

Keith Burnham, professor, Coventry University, Faculty of Engineering and Computing, Great Britain

Peter Kopachek, professor, Vienna University of Technology, Vienna Institute of Transportation and Robotics, Intelligent Transportation and Robotics, Vienna, Austria

Vladimir Tsyganov, DSc, professor, Russian Academy of Sciences, Institute of Control Sciences, Moscow, Russia

Sergey German-Galkin, DSc, professor Maritime Academy, Institute of naval automation and electric engineering, Szczecin, Poland

Klaus Becker, professor, Cologne University of Applied Sciences, Institute of Automotive Engineering, NVH Laboratory, Germany

Vasily Say, DSc, professor, The Ural State University of Railway Transport, Ekaterinburg, Russia

EDITORIAL BOARD

Akkerman Gennadiy Lvovich, DSc, Professor, Ural State University of Railway Transport, Yekaterinburg

Ashpiz Evgeniy Samuilovich, DSc, Professor, Russian University of Transport, Moscow

Bulaev Vladimir Grigorievich, DSc, Professor, Ural State University of Railway Transport, Yekaterinburg

Vorobjev Alexander Alexeevich, DSc, professor, Moscow State University of Railway Transport, Moscow

Voskresenskaya Tamara Petrovna, DSc, professor, Siberian State Industrial University, Novokuznetsk

Kornilov Sergey Nikolaevich, DSc, professor, Magnitogorsk State Technical University, Magnitogorsk

Kuznetsov Konstantin Borisovich, DSc, professor, The Ural State University of Railway Transport, Ekaterinburg

Kurganov Valeriy Maximovich, DSc, Professor, Tver State University, Tver city

Lapshin Vasily Fedorovich, DSc, Professor, Ural State University of Railway Transport, Yekaterinburg

Sapozhnikov Valery Vladimirovich, DSc, professor, Petersburg State University of Railway Transport, Saint-Petersburg

Sizyi Sergey Viktorovich, D. Sc. in engineering, professor, Ural Federal University, Ekaterinburg

Timofeeva Galina Adolfovna, DSc, professor, The Ural State University of Railway Transport, Ekaterinburg

Shchurin Konstantin Vladimirovich, DSc, professor, Orenburg State University, Orenburg

Содержание

Математические модели технологических процессов

- 4 Н.В. Буланов, Б. М. Гасанов. Теплообмен при кипении воды и эмульсий в миниканале

Механика машин и роботов

- 16 А.Н. Киреев, М.А. Киреева. Оценка качества термической обработки колесных центров тягового подвижного состава методом ультразвуковой структуроскопии
- 25 В.И. Кубич, О.Г. Чернета, Е.А. Задорожная, А.В. Гриценко, К.В. Глемба, Л.А. Шефер. Исследование процесса смазки турбокомпрессоров
- 40 А.В. Якушев, Д.В. Расщепкина, А.А. Петров. Определение циклической вязкости разрушения стали 20ГФЛ на надрессорной балке тележки грузового вагона при стационарном нагружении

Управление в технических системах

- 47 В.А. Николаев, Е.П. Капустина, Е.Г. Леоненко. Причины схода порожнего подвижного состава на Красноярской и Восточно-Сибирской железных дорогах
- 54 А.А. Пышкин, Д.В. Лесников. Методика определения надежности рекуперативного торможения на участке постоянного тока

Организация и логистика

- 60 П.А. Козлов, В.С. Колокольников, Н.А. Тушин, О.В. Осокин. Об использовании моделей оптимального управления транспортными потоками
- 70 М.А. Журавская, Я.А. Бучельникова, М.Н. Дивакова. Устойчивое развитие как основа для формирования транспортного каркаса города нового тысячелетия

Аспирантская тетрадь

- 79 А.Б. Батрашов. Конструкционные решения по выравниванию токовой и тепловой нагрузки проводов контактной сети постоянного тока
- 89 К.И. Доманов. Определение тормозных параметров электровоза двойного питания по результатам сертификационных испытаний
- 96 К.В. Панов. Имитационная модель производственно-логистического процесса локомотиворемонтного предприятия
- 108 В.Ю. Бабоков. От бережливого производства на предприятии – к «бережливой сети»

Contents

Mathematic models of technological processes

- 4 N.V. Bulanov, B.M. Gasanov. Heat transfer in boiling of water and emulsions in a minichannel

Mechanics of machines and robots

- 16 A.N. Kireyeva, M.A. Kireyeva. Qualitative evaluation of thermal treatment of traction rolling stock wheel centres by method of ultrasound structurescopy
- 25 V.I. Cubich, O.G. Cherneta, E.A. Zadorozhnaya, A.V. Gritsenko, K.V. Glemba, L.A. Shefer. Investigation of lubrication of turbocompressors
- 40 A.V. Yakushev, D.V. Raschepkina, A.A. Petrov. Evaluation of 20ГФЛ steel destruction damping capacity on freight wagon bogie truck bolster in steady-state loading

Control in engineering systems

- 47 V.A. Nikolayev, E.P. Kapustina, E.G. Leonenko. Causes of empty rolling stock coming-off on Krasnoyarsk and Eastern-Siberian railways
- 54 A.A. Pyshkin, D.V. Lesnikov. Methods of definition of recuperative braking reliability on dc section

Organization and logistics

- 60 P.A. Kozlov, V.S. Kolokol'nikov, N.A. Tushin, O.V. Osokin. On using effective management models for transport flows
- 70 M.A. Zhuravskaya, Y.A. Buchelnikova, M.N. Divakova. Sustainable development as the basis for forming the transport framework of a city of the new millennium

Research of young scientists

- 79 A.B. Batrashov. Constructive decisions on levelling of current and thermal load of dc catenary wires
- 89 K.I. Domanov. Evaluation of dual mode locomotive braking parameters by the results of certification tests
- 96 K.V. Panov. Simulation model of production and logistic process of locomotive repair enterprise
- 108 V.Yu. Babokov. From lean production at the enterprise – towards «lean network»

Математические модели технологических процессов

УДК 536.24/423

Н. В. Буланов, Б. М. Гасанов

Теплообмен при кипении воды и эмульсий в миниканале

UDC 536.24/423

N.V. Bulanov, B.M. Gasanov

Heat transfer in boiling of water and emulsions in a minichannel

Аннотация

На железных дорогах России и мира используются рефрижераторные установки абсорбционного, компрессионного и полупроводникового типа (использующие эффект Пельтье) – поезда-холодильники и кондиционеры пассажирских поездов.

Сейчас стали чаще использовать полупроводниковые кондиционеры и появились разработки холодильных установок с использованием явления адсорбции. В этих случаях теплообмен с рабочим телом происходит в узких каналах, примыкающих к полупроводникам, или в узких каналах пористой или волокнистой среды адсорберов.

В настоящей работе представлены результаты экспериментального исследования

теплообмена при кипении в воды и эмульсий н-пентан/вода и фреон-11/вода в горизонтальном канале диаметром 1,1 мм. При помощи скоростной видеосъемки изучались пузырьковый, снарядный, кольцевой и дисперсный режимы течения двухфазного потока теплоносителя. Показано, что за счет малых добавок низкокипящих жидкостей в высококипящий теплоноситель можно добиться интенсификации теплообмена и избежать кризиса пузырькового кипения.

При пузырьковом и снарядном режиме течения средний коэффициент теплоотдачи от стенки канала к эмульсиям оказался выше, чем к чистой воде. Наблюдались как неустойчивость двухфазного потока тепло-

носителя, так и синхронные колебания температуры и избыточного давления жидкости на входе и выходе из канала.

Представлены полученные зависимости коэффициентов теплоотдачи от температуры поверхности для исследованных эмульсий и воды.

Ключевые слова: теплообмен, миниканал, макроканал, эмульсии с низкокипящей дисперсной фазой, интенсификация теплообмена.

DOI: 10.20291/2079-0392-2019-1-4-15

Annotation

Refrigerator installations of absorption, compression and semiconductor type are used on Russian railways and worldwide (using Peltier

Статья рекомендована к публикации В.К. Першиным, д-ром физ.-мат. наук, профессором Уральского государственного университета путей сообщения; E-mail: VPersin@usurt.ru.

Николай Владимирович Буланов, д-р физ.-мат. наук, профессор; кафедра «Естественнонаучные дисциплины» Уральского государственного университета путей сообщения; Екатеринбург, Россия. E-mail: NBulanov@usurt.ru.

Байрамали Мехрали оглы Гасанов, канд. техн. наук; научный сотрудник Института теплофизики УрО РАН; Екатеринбург, Россия.

The article is recommended for publishing by V.K. Pershin, Doctor of Physical and Mathematical Science, Professor, Ural state university of railway transport; E-mail: VPersin@usurt.ru.

Nikolay Vladimirovich Bulanov, Doctor of Physical and mathematical Science, Professor; Science Disciplines Chair, Ural state university of railway transport; Ekaterinburg, Russia. E-mail: NBulanov@usurt.ru.

Bairamali Mekhrali ogly Gasanov, Candidate of technical science; Researcher, Institute of thermal physics, RAS Ural branch; Ekaterinburg, Russia.

effect) – refrigerator trains and air-conditioners of passenger trains.

At present semiconductor conditioners are used more often and there appeared refrigerating installations which use the adsorption phenomenon. In these cases heat transfer with working medium occurs at narrow channels which adjust to semiconductors or in narrow channels of porous or fibrous structure of adsorbers.

This paper presents the results of experimental studies of heat transfer in boiling of water and emulsions n-pen-

tane/water and Freon-11/water in horizontal channel with diameter 1,1 mm. Bubble, projectile, circular and disperse flows of heat bearer two-phase stream were studied with the help of high-speed video recording. It was shown that at the expense of small additives of low-boiling fluids into a high-boiling heat bearer we may achieve heat-transfer intensification and avoid the bubble boiling crisis.

In case of bubble and projectile flow the average coefficient of heat dissipation from a channel wall to emulsions was higher than to pure water.

Both instability of heat bearer two-phase stream and synchronous fluctuations of temperature and excess pressure of fluid at the channel input and output were observed.

The paper presents the obtained dependencies of heat dissipation coefficients from surface temperature for the emulsions and water under study.

Key words: heat transfer, minichannel, macrochannel, emulsions with low-boiling disperse phase, heat transfer intensification.

DOI: 10.20291/2079-0392-2019-1-4-15

Эмульсии с низкокипящей дисперсной фазой представляют собой смесь из двух несмешивающихся жидкостей, в которых температура кипения дисперсной фазы существенно ниже, чем температура кипения дисперсионной среды. Режим конвективного теплообмена у таких эмульсий мало отличается от аналогичного режима дисперсионной среды. При пузырьковом кипении проявляется ряд особенностей: перегрев капелек дисперсной фазы, широкие, по сравнению с чистыми жидкостями, интервалы пузырькового кипения, высокие значения коэффициента теплоотдачи от нагревателя к эмульсиям при температурах ниже температуры кипения дисперсионной среды. Эти особенности получены в результате экспериментальных исследований теплообмена при кипении эмульсий на тонких проволочных нагревателях [1–4], на поверхности вертикальной стальной ленты [5] и в трубе с внутренним диаметром 16 мм [6].

В различных областях техники наблюдается миниатюризация теплообменных устройств с малыми каналами (мини- и микроразмеров) для подвода или отвода теплоты. Использование эмульсий с низкокипящей дисперсной фазой в качестве теплоносителя в таких устройствах может оказаться

эффективным способом отвода теплоты. В работе [7] экспериментально исследован теплообмен при кипении воды и эмульсии FC-72/вода в одиночном микроканале с гидравлическим диаметром 672 мкм и в параллельных микроканалах из пяти каналов с гидравлическим диаметром каждого канала 500 мкм. Опыты проводились при разных массовых скоростях исследуемых жидкостей. При двухфазных режимах потока не найдено каких-либо существенных эффектов, при однофазной конвекции без кипения наблюдалось снижение значений коэффициента теплоотдачи к эмульсии. Однако недавние исследования [8] теплообмена эмульсий н-пентан/вода и FC-72/вода при кипении в плоском канале длиной 250 мкм показали, что в эмульсиях наблюдается рост коэффициента теплоотдачи на 20–60 % (в зависимости от концентрации эмульсии) по сравнению с водой.

В настоящей работе приводятся сравнения характеристик теплообмена и режимов течения двухфазного потока при кипении воды и эмульсий н-пентан/вода и фреон-11/вода в одиночном горизонтальном канале круглого сечения диаметром 1,1 мм при атмосферном давлении.

Заметим, что узкие каналы считаются миниканалами, если их геометрия

удовлетворяет соотношению $C_o = (1/d) \times (\sigma/(g(r_l - r_v)))^{-1/2} > 0,5$ [9]. В таких каналах капиллярные силы доминируют по сравнению с другими силами для двухфазного потока. Соотношение для C_o называют критерием стесненности, у канала с гидравлическим диаметром 1,1 мм этот критерий равен 2,28. По другой классификации [10] такие каналы называют макроканалами.

Экспериментальные установки

Исследование теплообмена и режимов течения двухфазного потока проводились на двух экспериментальных

установках с прозрачным стеклянным миниканалом (внешний диаметр – 2,5 мм, внутренний – 1,1 мм). Длина нагреваемого участка миниканала в обеих установках составляла 42 мм. Использовался или жидкостный обогрев миниканала глицерином (рис. 1, а) или нагрев постоянным электрическим током (рис. 1, б). При жидкостном нагреве миниканал устанавливался горизонтально в стеклянной ячейке, через которую прокачивался нагретый глицерин с заданной температурой. Температура внешней поверхности миниканала определялась при помощи термопар, установленных на внешней

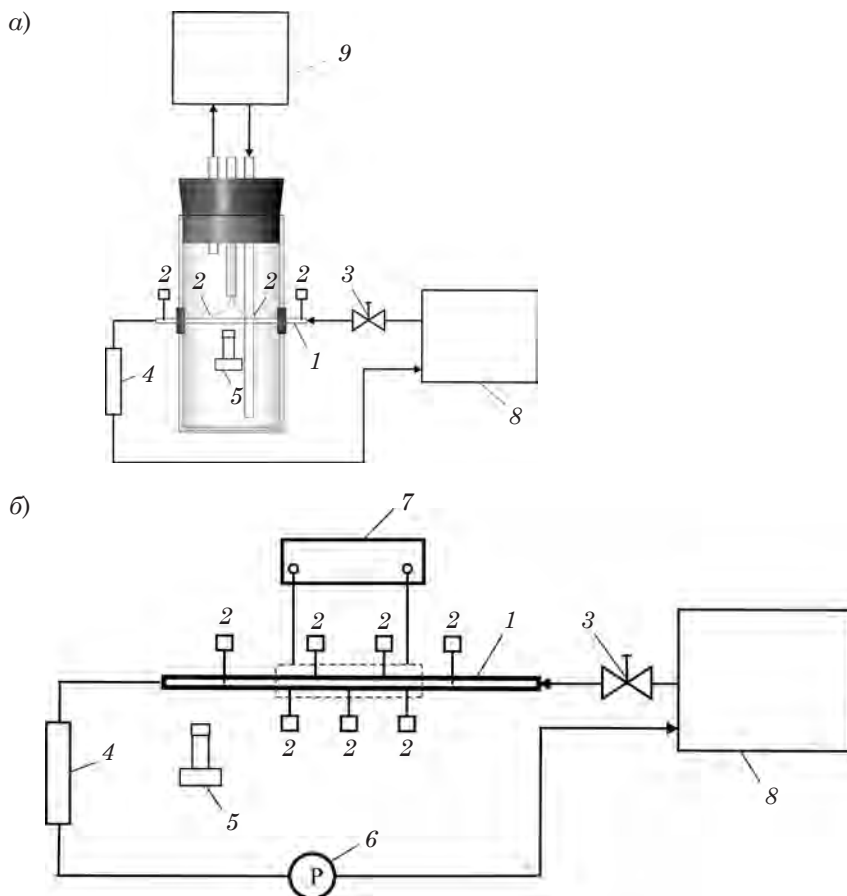


Рис. 1. Схема экспериментальной установки

а – жидкостный нагрев миниканала; б – электрический нагрев миниканала;
1 – миниканал; 2 – термопары; 3 – вентиль; 4 – конденсатор; 5 – скоростная видеокамера;
6 – датчик давления; 7 – источник питания; 8 – термостат с исследуемыми жидкостями;
9 – термостат с глицерином

их стороне, температура исследуемой жидкости измерялась на входе и выходе из канала микротермопарами, установленными непосредственно в потоке жидкости. Такая компоновка экспериментальной установки позволяла с помощью скоростной видеосъемки визуализировать процессы, связанные с зарождением, ростом и коалесценцией паровых пузырей непосредственно внутри миниканала. В том случае, когда миниканал необходимо было нагревать выше температуры кипения глицерина (290 °C), канал нагревали проволочным нагревателем, намотанным на него (рис. 1, б).

Схема экспериментальной установки с электрическим нагревом представлена на рис. 1, б. Прозрачный стеклянный канал (внешний диаметр – 2,5 мм, внутренний – 1,1 мм) установлен горизонтально. Температура теплоносителей на входе T_{in} и на выходе канала T_{out} измерялась микротермопарами, установленными непосредственно в потоке жидкости. Температура исследуемых жидкостей на входе в канал поддерживалась постоянной и равной 20 °C. Температура внешней стенки канала измерялась пятью микротермопарами, расположенными на расстоянии около 10 мм друг от друга. В качестве нагревателя использовалась намотанная виток к витку нихромовая проволока диаметром 0,3 мм, нагрев которой осуществлялся постоянным электрическим током. Колебания давления в потоке измерялись датчиком избыточного давления. Исследуемые жидкости помещались в термостат и прокачивались насосом. Расход жидкости задавался и контролировался вентилем 3 (рис. 1). Перед началом и после завершения каждой серии опытов массовый расход жидкости контролировался. Максимальная погрешность расхода жидкости – 2 %. Скоростная видеосъемка велась на свободном от проволочного нагревателя участке длиной около 20 мм (рис. 1, б) с частотой 5000 кадров в секунду.

Исследуемые жидкости не подвергались дегазации. Они готовились путем

простого перемешивания исходных жидкостей механической мешалкой в термостате 8, в котором затем постоянно перемешивались пропеллерной мешалкой, установленной на оси ротора насоса. Постоянное перемешивание позволяло не использовать поверхностно-активные вещества и препятствовать расслоению эмульсии. Из-за большой разности плотности жидкостей, образующих эмульсию (таблица), такое расслоение происходит в течение примерно одного часа. Распределение капель дисперсной фазы эмульсии по их диаметру определялось визуально, с помощью оптического микроскопа. Затем определялся средний по объему диаметр капелек, который изменялся в диапазоне 10–20 мкм.

Свойства исследуемых жидкостей

Жидкость	Температура кипения T_s , °C	Плотность, ρ , кг/м ³	Теплоемкость, c_p , кДж/(кг °C)	Теплота парообразования кДж/кг
Вода	100	958,3	4,216	2257
Н-пентан	36,07	626,2	2,314	370
Фреон 11	23,7	1487,8	1,22	183

Обработка экспериментальных данных

Результаты экспериментального исследования анализировались по усредненным значениям коэффициента теплоотдачи и средней температуре внутренней стенки канала. Температуру внутренней стенки канала определяли из уравнения, описывающего теплопередачу через канал круглого сечения.

$$c_p G (T_{out} - T_{in}) = \frac{2\pi\lambda L (T_{w,out} - T_{w,in})}{\ln \frac{R_{out}}{R_{in}}}, \quad (1)$$

где c_p – теплоемкость жидкости, Дж/(кг·°C); G – массовый расход жидкости, кг/с; T_{in} и T_{out} – температура жидкости на входе и выходе из канала, °C;

L – длина нагреваемого участка канала, м; $\lambda = 1,46 \text{ Вт/(м} \cdot \text{°C)}$ – теплопроводность стенок канала; $T_{w, \text{out}}$ – средняя температура внешней стенки канала, °C; $T_{w, \text{in}}$ – температура внутренней стенки канала, °C; R_{out} и R_{in} – внешний и внутренний радиус канала, м.

Из уравнения (1) можно определить температуру в внутренней стенке канала:

$$T_{w, \text{in}} = T_{w, \text{out}} - \frac{1}{2\pi\lambda L} c_p G (T_{\text{out}} - T_{\text{in}}) \ln \frac{R_{\text{out}}}{R_{\text{in}}}.$$

Для среднего значения коэффициента теплоотдачи от внутренней стенки канала к исследуемым жидкостям имеем

$$\alpha = \frac{c_p G (T_{\text{out}} - T_{\text{in}})}{\left(T_{w, \text{in}} - \frac{T_{\text{out}} + T_{\text{in}}}{2} \right) \pi L d_{\text{in}}}.$$

Максимальная погрешность в определении среднего коэффициента теплоотдачи [11] составляла 6,8%.

Результаты опытов и их обсуждение. Режимы течения двухфазного потока

В каналах с поперечным размером порядка или меньше капиллярной постоянной (миниканалах) капиллярные силы преобладают над силами гравитации и определяют режимы течения двухфазного потока, которые при кипении

жидкости формируются за счет скорости образования, роста и коалесценции паровых пузырей [12].

В наших опытах хорошо различимы четыре режима течения: пузырьковый, снарядный, кольцевой и дисперсный. На рис. 2 показаны формы течения двухфазного потока при кипении эмульсии н-пентан/вода при жидкостном и электрическом нагреве. Дисперсный режим двухфазного потока наблюдался только при проволочном нагреве канала, когда температура внешней поверхности канала превышала температура кипения глицерина.

Пузырьковый режим двухфазного потока (рис. 2) характеризуется наличием изолированных друг от друга пузырьков пара в потоке жидкости. При пузырьковом режиме теплота от стенок канала отводится за счет пузырькового кипения и конвективного переноса теплоты жидкостью.

При снарядном режиме двухфазного потока (рис. 2) в результате коалесценции отдельных паровых пузырей образуются паровые снаряды, которые занимают все поперечное сечение канала. Поток снарядов отделен от поверхности канала тонкой пленкой жидкости. Начало и окончание снарядов имеют полусферическую форму. Особенностью снарядного режима является наличие жидкостных перемишек между снарядами.

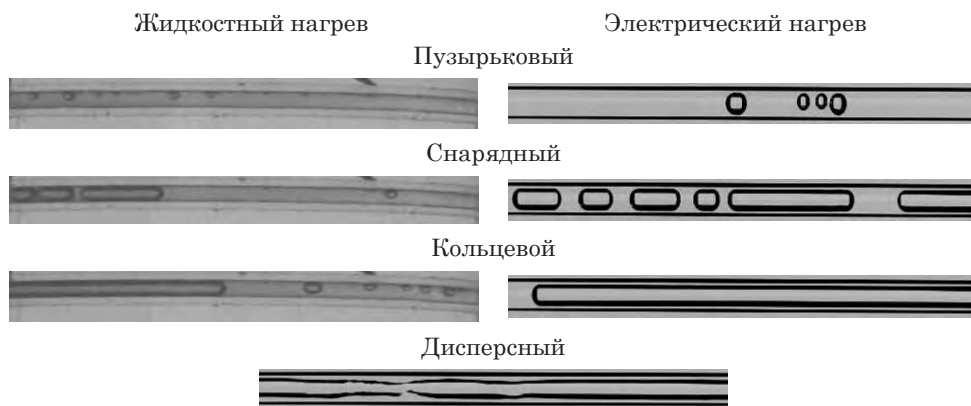


Рис. 2. Режимы течения двухфазного потока. Поток теплоносителя движется справа налево

Кольцевой режим характеризуется наличием тонкой пленки жидкости на стенках канала, а ядро потока занимает паровая фаза (рис. 2). При кольцевом режиме канал по длине можно условно разделить на две области, одна – ближе к выходу из канала – занята двухфазным потоком, а другая – ближе к входу в канал – жидкой фазой. На участке, занятом двухфазным потоком, конвективное испарение через тонкую жидкостную пленку является основным механизмом отвода теплоты. На участке, занятом жидкой фазой, происходит инициирование и эволюция паровых пузырей. С ростом температуры нагрева стенки канала область, занятая двухфазным потоком, сдвигается по направлению к входу в канал, что способствует подавлению пузырькового кипения в канале. Рост образующихся паровых пузырей на участке канала, занятом однофазной жидкостью, ограничен стенками канала. При своем росте они достигают противоположной стенки канала и начинают расти в осевом направлении, прежде чем оторваться от стенки канала (рис. 3).

При росте парового пузыря в осевом направлении давление в нем превышает давление подачи жидкости в канал,

что приводит к образованию обратных течений: реверсу течения жидкости. Реверс течения вызывает неустойчивость расхода жидкости. При кольцевом режиме кроме реверса наблюдаются пульсации давления и температуры жидкости как на входе в канал, так и на выходе из него. Неустойчивые процессы при кольцевом режиме возбуждают механические колебания всей экспериментальной установки.

Высыхание жидкой пленки на стенке канала приводит к кризису кипения, при котором наблюдается дисперсный режим (рис. 2), характеризующийся наличием пара и мелких капелек жидкости в ядре потока. К сожалению, мы не смогли получить качественный снимок этого режима, показывающий его четкое отличие от кольцевого режима.

Если у воды при пузырьковом,_snрядном и кольцевом режимах температура двухфазного потока на выходе из канала всегда была ниже температуры нормального кипения воды (100 °C), то при дисперсном режиме она равна температуре кипения. В эмульсиях н-пентан/вода и фреон-11/вода температура двухфазного потока на выходе из канала при пузырьковом, snрядном и кольцевом режимах всегда

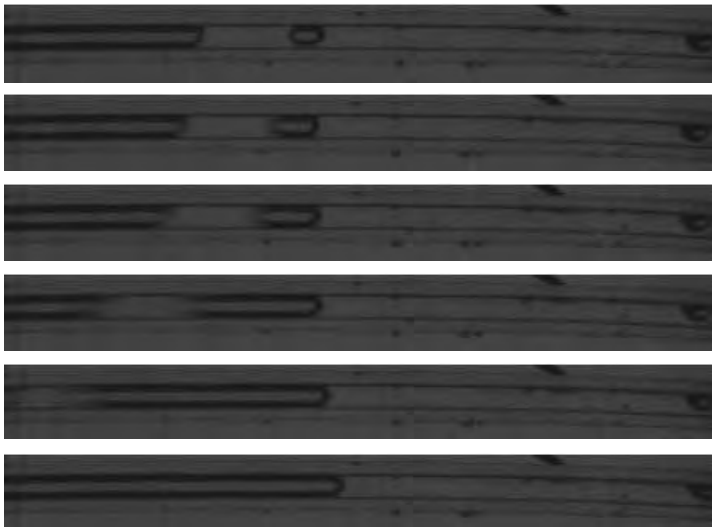


Рис. 3. Динамика роста парового пузыря при кольцевом режиме двухфазного потока.
Жидкостный нагрев глицерином миниканала

была выше температуры насыщения н-пентана и фреона-11, а при дисперсном режиме она равна температуре насыщения дисперсионной среды (воды).

Принципиальных различий в формах течения двухфазного потока при кипении воды и эмульсий н-пентан/вода и фреон-11/вода не обнаружено. Отличие состоит только в температурах стенки канала, при которых формируется тот или иной режим двухфазного потока.

Характеристики теплообмена

Опыты с водой и эмульсиями фреон-11/вода (freon-11/water) и н-пентан/вода (n-pentane/water) проведены при массовых скоростях потока 42 и 75 кг/(м²·с) и концентрациях эмульсии 0,3, 0,7 и 1,5 об.%(vol.%). Зависимость среднего значения коэффициента теплоотдачи от внутренней поверхности миниканала к воде и к эмульсиям показана на рис. 4.

Для воды и эмульсии фреон-11/вода с концентрацией 1,5 об.% выделены участки, соответствующие пузырьковому (bubble), снарядному (slug) и кольцевому (annular) режимам двухфазного потока. Как видно из рис. 4, коэффициент теплоотдачи зависит от режима течения двухфазного потока, а с увеличением скорости течения жидкости возрастает коэффициент теплоотдачи при однофазной конвекции.

Опыты с водой проводились при температуре на входе в канал ниже температуры ее кипения (то есть при ее недогреве), величина недогрева составляла величину $\Delta T_{\text{sub}} = T_s - T_{\text{in}}$, равную 80 °С. Из-за большой величины недогрева кипение происходило на участке, расположенном ближе к выходу из канала. С увеличением массовой скорости участка, на котором начинается кипение воды, дополнительно сдвигается ближе к выходу из канала. Этим объясняется, что при $G = 75$ кг/(м²·°С) наблюдается незначительный рост коэффициента теплоотдачи с началом пузырькового режима кипения двухфазного потока воды. При снарядном режиме с ростом нагрева стенки канала зародышеобразование смещается ближе к входу в канал, из-за чего наблюдается рост коэффициента теплоотдачи. С началом кольцевого режима наблюдается снижение среднего значения коэффициента теплоотдачи. Ограниченность пространства для роста пузырьков пара приводит к возникновению реверса течения воды и колебаниям избыточного давления в потоке. При дальнейшем нагреве стенок канала происходит рост числа центров кипения, следовательно, кольцевой режим занимает значительную часть длины канала, что приводит к усилению колебания давления и колебаний температуры воды на входе и выходе канала. К спаду значений α

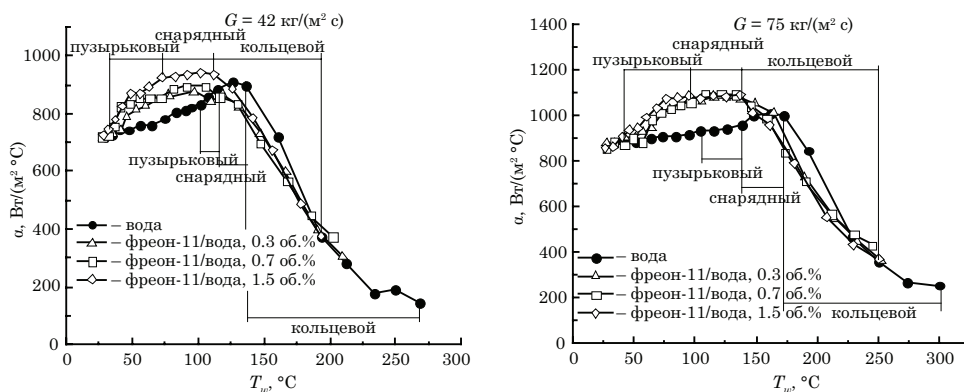


Рис. 4. Теплоотдача от внутренней поверхности миниканала к воде и к эмульсиям фреон-11/вода и н-пентан/вода

при кольцевом режиме также приводит частичное и кратковременное высыхание пленки жидкости на стенке канала.

В опытах с эмульсиями температура недогрева ΔT_{sub} капелек фреона-11 и н-пентана составляла соответственно 3 и 16 °С. Как и при кипении эмульсий в большом объеме [1–6], кипение эмульсий фреон-11/вода и н-пентан/вода в миканале начинается при температурах стенки канала выше температуры кипения капелек дисперсной фазы. С ростом концентрации эмульсии температура начала кипения снижается. Это связано с тем, что при увеличении концентрации эмульсии число капелек дисперсной фазы, контактирующих со стенкой канала, следовательно, способных кипеть, увеличивается. Пузырьковый режим двухфазного потока в исследованных эмульсиях формируется за счет кипения только капелек дисперсной фазы эмульсии и однофазной конвекции воды (рис. 4). При этом с началом кипения капелек фреона-11 и н-пентана наблюдается рост среднего значения коэффициента теплоотдачи. Снарядный режим двухфазного потока при кипении фреона-11/вода и н-пентан/вода на начальном этапе формируется за счет кипения только капелек дисперсной фазы. При нагреве стенки канала до температуры кипения воды формируется режим снарядного течения, в котором участвует пар, образующийся как в результате кипения капелек дисперсной фазы, так и кипения дисперсионной среды – воды. С увеличением массовой скорости эмульсий начало формирования снарядного режима происходит при более высоких температурах стенки канала. С ростом концентрации эмульсии переход от пузырькового режима к снарядному и от снарядного к кольцевому происходит при более низких температурах стенки канала. Наличие низкокиспящей дисперсной фазы в воде способствует образованию неустойчивости двухфазного потока при более низких тепловых потоках по сравнению с чистой водой.

Колебание давления и температуры

В наших опытах кольцевой режим двухфазного потока характеризуется неустойчивостью. Неустойчивость двухфазного потока возникает независимо от гидравлического диаметра канала [13]. В миканалах эффекты стенки канала играют доминирующую роль, в обычных каналах важную роль играют процессы, происходящие в объеме жидкости. Неустойчивость потока приводит ухудшению параметров теплопередачи, а также к снижению критического теплового потока [14]. Увеличение массового расхода жидкости в наших опытах (см. рис. 3) сдерживало начало кольцевого режима как для воды, так и для эмульсий н-пентан/вода и фреон-11/вода. А увеличение концентрации эмульсии сдвигало влево температуру начала кольцевого режима. Это связано с тем, что объем генерируемого пара в канале кипящими капельками дисперсной фазы с увеличением концентрации эмульсии растет. Кроме увеличения массового расхода жидкости, начало реверса течения также можно сдерживать, увеличивая недогрев жидкости на входе в канал [15].

На рис. 5 представлены характерные колебания температуры на входе канала и колебания избыточного давления. Такие колебания проявляются при переходе от кольцевого режима к дисперсному как при работе с водой, так и с эмульсией фреон-11/вода. Концентрация фреона была равна 1,5 об.%. В наших исследованиях, как и в работе [16], имеется связь между колебаниями (флуктуациями) температуры и колебаниями давления. Как видно из рис. 5, а, на начальном участке кольцевого режима с образованием реверса течения начинаются колебания температуры жидкости на входе T_{in1} и температуры двухфазного потока T_{out1} на выходе из канала. Характерные колебания избыточного давления в системе с началом реверса течения показаны на рис. 5, б. При дальнейшем нагреве канала, с ростом частоты зародышеобразования

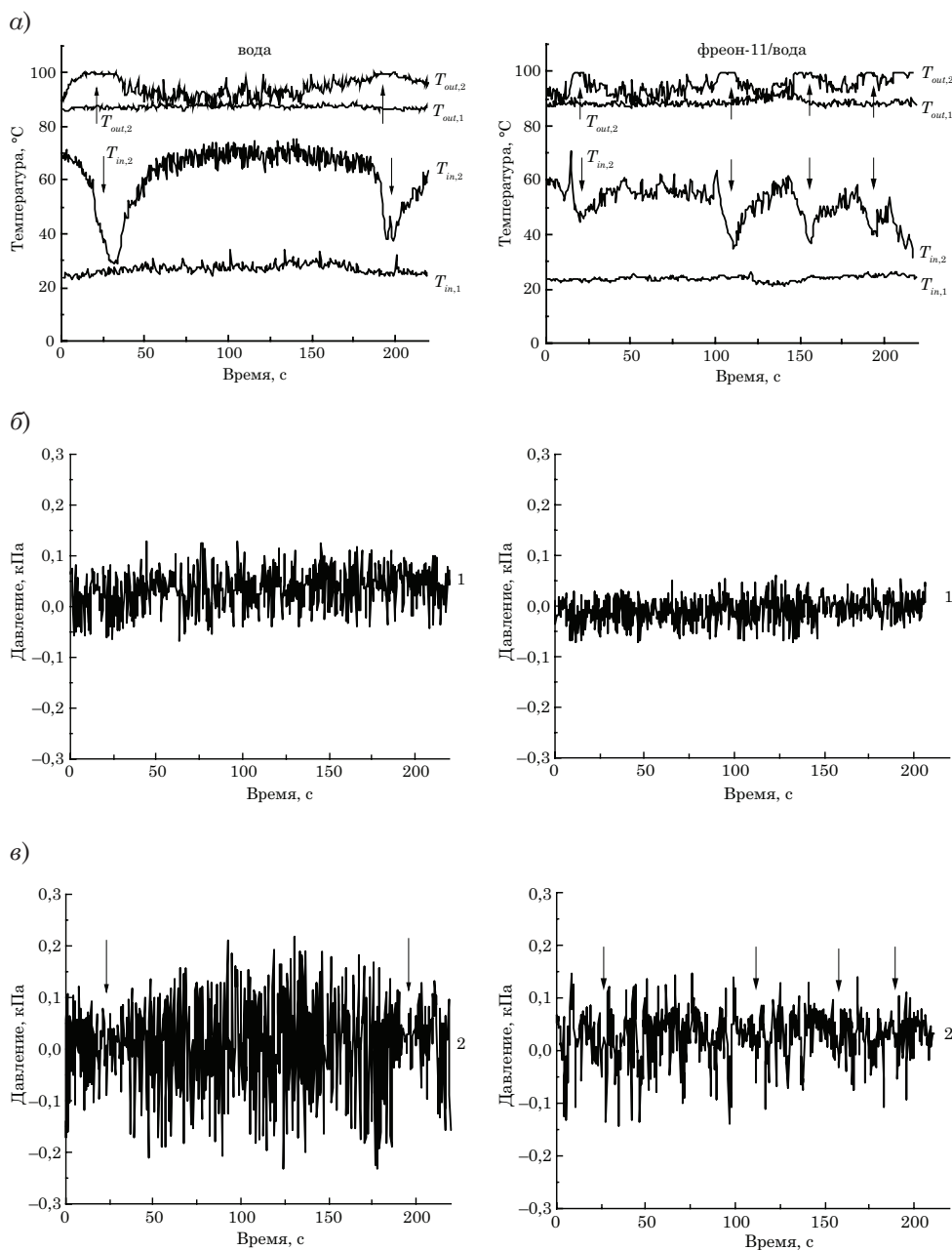


Рис. 5. Колебание температуры жидкости на входе и выходе из канала и избыточного давления в системе в зависимости от времени, с

1 – начало кольцевого режима; 2 – окончание кольцевого режима при $G = 42 \text{ кг/ (м}^2 \cdot \text{с)}$.
 Вода: 1 – $T_{w, \text{in}} = 126^\circ \text{C}$, $q = 70,1 \text{ кВт/м}^2$; 2 – $T_{w, \text{in}} = 267^\circ \text{C}$, $q = 26,5 \text{ кВт/м}^2$. Эмульсия фреон-11/вода, концентрация 1.5 об. %: 1 – $T_{w, \text{in}} = 102^\circ \text{C}$, $q = 52,2 \text{ кВт/м}^2$; 2 – $T_{w, \text{in}} = 193^\circ \text{C}$, $q = 45,9 \text{ кВт/м}^2$

колебания T_{in} и T_{out} и избыточного давления в системе усиливаются.

На рис. 5, а показаны колебания температуры теплоносителя на входе T_{in2} и на выходе T_{out2} канала при периодическом высыхании пленки жидкости на его стенках. При высыхании стенок канала, что означает кризис кипения, наблюдается дисперсный режим (см. рис. 2). В этом случае наблюдается обратное течение теплоносителя, его реверс. Далее обратное течение жидкости прекращается, колебания давления в системе затухают (стрелки на рис. 5, в), расход жидкости стабилизируется, вследствие чего температура исследуемых жидкостей на входе в канал начинает понижаться (на рис. 5, а этот момент показан стрелками вниз). Температура двухфазного потока на выходе из канала T_{out2} становится равной температуре насыщения воды, а для эмульсии – температуре насыщения дисперсионной среды (на рис. 5, а это показано стрелками вверх). При некоторых температурах жидкости на входе в канал T_{in2} наблюдается периодическая смена кольцевого режима кипения дисперсным. Смена режимов высыхания и повторного смачивания стенок канала жидкостью (рис. 5, а)

в эмульсиях происходит чаще, чем при кипении чистой воды.

Проведенные экспериментальные исследования и анализ полученных результатов позволяют сделать следующие выводы.

За счет диспергирования малых добавок низкокипящей жидкости в высококипящую с образованием эмульсии можно добиться интенсификации теплоотдачи при кипении теплоносителя в миниканале.

Температурные интервалы пузырькового и снарядного режимов, при которых наблюдается рост теплоотдачи, у исследованных эмульсий шире по сравнению с чистой водой.

Наличие дополнительной паровой фазы в миниканале, состоящей из пара низкокипящей жидкости, способствует появлению неустойчивости двухфазного потока и кризиса кипения при более низких тепловых потоках по сравнению с чистой водой.

Температура двухфазного потока на выходе из испарителя при кипении эмульсии всегда оказывается выше температуры кипения дисперсной фазы. Такой эффект может вызвать сложности с конденсацией пара низкокипящей жидкости в конденсаторе. ■

Литература

1. Roesle M.L., Kulacki F.A. An experimental study of boiling in dilute emulsions, part A // International Journal of Heat and Mass Transfer. 2012. Vol. 55. Iss. 7-8. Pp. 2160–2165. ISSN 0392-8764.
2. Roesle M.L., Kulacki F.A. An experimental study of boiling in dilute emulsions, part B // International Journal of Heat and Mass Transfer. 2012. Vol. 55. Iss. 7-8. Pp. 2166–2172. ISSN 0392-8764.
3. Буланов Н.В., Гасанов Б.М., Турчанинова Е.А.. Результаты экспериментального исследования теплообмена эмульсий с низкокипящей дисперсной фазой // Теплофизика высоких температур, 2006. Т. 44. № 2. С. 268–284. ISSN 0040-3644.
4. Bulanov N.V., Gasanov B.M. Peculiarities of boiling of emulsions with a low-boiling disperse phase // International Journal of Heat and Mass Transfer. 2008. V. 51. Pp. 1628–1632. ISSN 0392-8764.
5. Roesle M.L., Lunde D.L. and Kulacki F.A. Boiling Heat Transfer to Dilute Emulsions From a Vertical Heated Strip // Trans. ASME Journal of Heat Transfer. 137(4), 041503 (2015) (8 pages). Paper № HT-13-1377; doi:10.1115/1.4029456.
6. Gasanov B.M. Boiling of emulsion with a low-boiling disperse phase. High-speed filming. International Journal of Heat and Mass Transfer. 2016. Vol. 94. Pp. 66–74. ISSN 0392-8764.
7. Morshed A.K.M. M., Titan C. Paul, Ruixian Fang, Jamil A. Khan. Flow boiling characteristics of dilute emulsion in microchannel // ASME International Mechanical Engineering Congress and Exposition, Proceedings (IMECE). 2012. Pp. 2085–2091.

8. Janssen D., Kulacki F.A. Flow boiling of dilute emulsions // *International Journal of Heat and Mass Transfer*. 2017. Vol. 115. pp. 1000–1007. ISSN 0392-8764.
9. Kew P.A., Cornwell K. Correlations for the prediction of boiling heat transfer in small-diameter channels. *Applied Thermal Engineering*. 1997. Vol. 17 (8–10). Pp. 705–715. ISSN 1359-4311.
10. Kandlikar S.G. Fundamental issues related to flow boiling in minichannels and microchannels. // *Experimental Thermal and Fluid Science*. 2002. Vol. 26. Pp. 389–407. ISSN 0894-1777.
11. Moffat R. J. Describing the uncertainties in experimental results // *Experimental thermal fluid science*. 1988. Vol. 1. Pp. 3–17. ISSN 0894-1777.
12. Revellin R., Thome J.R. A new type of diabatic flow pattern map for boiling heat transfer in microchannels // *Journal of Micromechanics and Microengineering*. 2007. Vol. 17. Pp. 788–796. ISSN 0960-1317.
13. Tadrist L. Review on two-phase flow instabilities in narrow spaces // *International Journal of Heat and Fluid Flow*. 2007. Vol. 28. Pp. 54–62. ISSN 0392-8764.
14. Bergles A.E., Kandlikar S.G. On the nature of critical heat flux in microchannels // *ASME Conf. Proc.* 2003. Paper № IMECE2003-42383. Pp. 701–707.
15. Jones R.C., Judd R.L. An investigation of dryout/rewetting in subcooled two-phase flow boiling // *International Journal of Heat and Mass Transfer*. 2003. Vol. 46. Pp. 3143–3152. ISSN 0392-8764.
16. Hesteroni G., Mosyak A., Segal Z., Ziskind G. A uniform temperature heat sink for cooling of electronic devices // *International Journal of Heat and Mass Transfer*. 2002. Vol. 45. Pp. 3275–3286. ISSN 0392-8764.

Literature

1. Roesle M.L., Kulacki F.A.. An experimental study of boiling in dilute emulsions, part A // *International Journal of Heat and Mass Transfer*. 2012. Vol. 55. Iss. 7-8. Pp. 2160–2165. ISSN 0392-8764.
2. Roesle M.L., Kulacki F.A. An experimental study of boiling in dilute emulsions, part B // *International Journal of Heat and Mass Transfer*. 2012. Vol. 55. Iss. 7-8. Pp. 2166–2172. ISSN 0392-8764.
3. Bulanov N.V., Gasanov B.M., Turchaninova E.A. The results of experimental studies of heat exchange of emulsions with low-boiling disperse phase [Rezultaty eksperimental'nogo issledovaniya teploobmena emul'sij s nizkokipyashhej dispersnoj fazoj] // *Thermal physics of high temperatures*, 2006. V. 44. № 2. P. 268–284. ISSN 0040-3644.
4. Bulanov N.V., Gasanov B.M. Peculiarities of boiling of emulsions with a low-boiling disperse phase // *International Journal of Heat and Mass Transfer*. 2008. V. 51. Pp. 1628–1632. ISSN 0392-8764.
5. Roesle M.L., Lunde D.L., and Kulacki F.A. Boiling Heat Transfer to Dilute Emulsions From a Vertical Heated Strip // *Trans. ASME Journal of Heat Transfer*. 137(4), 041503 (2015) (8 pages); Paper № HT-13-1377; doi:10.1115/1.4029456.
6. Gasanov B.M. Boiling of emulsion with a low-boiling disperse phase. High-speed filming. *International Journal of Heat and Mass Transfer*. 2016. Vol. 94. Pp. 66–74. ISSN 0392-8764.
7. Morshed A.K.M. M., Titan C. Paul, Ruixian Fang, Jamil A. Khan. Flow boiling characteristics of dilute emulsion in microchannel // *ASME International Mechanical Engineering Congress and Exposition, Proceedings (IMECE)*. 2012. P. 2085–2091.
8. Janssen D., Kulacki F.A. Flow boiling of dilute emulsions. // *International Journal of Heat and Mass Transfer*. 2017. Vol. 115. Pp. 1000–1007. ISSN 0392-8764.
9. Kew P.A., Cornwell K. Correlations for the prediction of boiling heat transfer in small-diameter channels. *Applied Thermal Engineering*. 1997. Vol. 17 (8–10). Pp. 705–715. ISSN 1359-4311.
10. Kandlikar S.G. Fundamental issues related to flow boiling in minichannels and microchannels // *Experimental Thermal and Fluid Science*. 2002. Vol. 26. Pp. 389–407. ISSN 0894-1777.
11. Moffat R. J. Describing the uncertainties in experimental results // *Experimental thermal fluid science*. 1988. Vol. 1. Pp. 3–17. ISSN 0894-1777.

12. Revellin R., Thome J.R. A new type of diabatic flow pattern map for boiling heat transfer in microchannels // Journal of Micromechanics and Microengineering. 2007. Vol. 17. Pp. 788–796. ISSN 0960-1317.
13. Tadrist L. Review on two-phase flow instabilities in narrow spaces // International Journal of Heat and Fluid Flow. 2007. Vol. 28. Pp. 54–62. ISSN 0392-8764.
14. Bergles A.E., Kandlikar S.G. On the nature of critical heat flux in microchannels // ASME Conf. Proc. 2003. Paper № IMECE2003-42383. Pp. 701–707.
15. Jones R.C., Judd R.L. An investigation of dryout/rewetting in subcooled two-phase flow boiling // International Journal of Heat and Mass Transfer. 2003. Vol. 46. Pp. 3143–3152. ISSN 0392-8764.
16. Hesteroni G., Mosyak A., Segal Z., Ziskind G. A uniform temperature heat sink for cooling of electronic devices // International Journal of Heat and Mass Transfer. 2002. Vol. 45. Pp. 3275–3286. ISSN 0392-8764.

Статья сдана в редакцию 10 января 2019 года

Механика машин и роботов

УДК 629.4.027.424: 620.179.16

А. Н. Киреев, М. А. Киреева

Оценка качества термической обработки колесных центров тягового подвижного состава методом ультразвуковой структуроскопии

UDC 629.4.027.424: 620.179.16

A. N. Kireyeva, M. A. Kireyeva

Qualitative Evaluation of thermal treatment of traction rolling stock wheel centres by method of ultrasound structurescopy

Аннотация

Качество катанных колесных центров тягового подвижного состава формируется на стадии создания заготовки, термической и механической обработки и проявляется в процессе эксплуатации. В процессе термической обработки формируется основной комплекс физико-механических свойств колесных центров.

Одно из важнейших динамических физико-механических свойств стали колесных центров – ударная вязкость, зависящая от среднестатистической величины зерна. От величины зерна зависит и затухание ультразвуковой волны в стали колесных центров.

В результате экспериментальных исследований получены зависимости дифференциального коэффициента затухания продольной ультразвуковой волны в ободе катаного колесного центра от температуры нагрева под закалку при термическом улучшении. Также получена зависимость ударной вязкости стали колесных центров от температуры нагрева под закалку.

На основе проведенных экспериментальных исследований разработан способ оценки качества термической обработки катанных колесных центров тягового подвижного состава методом ультразвуковой структуроскопии.

В качестве диагностических параметров в разработанном способе применяются дифференциальные коэффициенты ослабления продольной ультразвуковой волны на частотах 5,0 и 10,0 МГц. В качестве структурного параметра применяется ударная вязкость стали катаного колесного центра.

Для автоматизации расчетов при применении предложенного способа разработан алгоритм и на его основе – программный продукт NDTRT-24.

Ключевые слова: железнодорожный транспорт, железная дорога, подвижной состав, термическая обработка, термическое улучшение, закалка, ударная вязкость, ультразвуковая структуроскопия.

DOI: 10.20291/2079-0392-2019-1-16-24

Annotation

Quality of rolled wheel centres of the rolling stock is formed at the stage of making workpieces, thermal and mechanical treatment and is manifested during operation. In the process of thermal treatment the main complex of physical and mechanical qualities of wheel centres is formed.

One of the most important dynamic physical and mechanical properties of wheel centre steel is notch toughness which depends on average statistical grain size. Attenuation of ultrasound wave in wheel centre steel depends on the grain size.

After trial studies there were obtained dependencies of differential coefficient of longitudinal ultrasound wave attenuation in the rolled wheel centre circle on heat treatment temperature. The dependency of wheel centre steel notch toughness on heat treatment temperature was also obtained.

On the basis of experimental studies the method of qualitative evaluation of thermal treatment of rolled wheel centres of the traction rolling stock by ultrasound structurescopy was developed.

As diagnostic parameters in the developed method differential coefficients of longitudinal ultrasound wave attenuation at 5,0 and 10,0 MHz frequencies were used. The notch toughness of rolled wheel centre steel is applied as a structural parameter.

The algorithm was worked out for automation of calculations in the proposed method and the NDTRT-24 software on its basis.

Key words: railway transport, railway track, rolling stock, thermal processing, heat refining, heat treatment, notch toughness, ultrasound structurescopy.

DOI: 10.20291/2079-0392-2019-1-16-24

Статья рекомендована к публикации А.П. Буйновым, д-ром техн. наук, профессором Уральского государственного университета путей сообщения. E-mail: ABuinosov@usurt.ru.

Андрей Николаевич Киреев, канд. техн. наук, доцент, докторант; кафедра железнодорожного транспорта ГОУ ВПО «Луганский национальный университет имени Владимира Даля»; г. Луганск. E-mail: lifter_23@mail.ru.

Маргарита Анатольевна Киреева, ассистент; кафедра железнодорожного транспорта ГОУ ВПО «Луганский национальный университет имени Владимира Даля»; г. Луганск. E-mail: kmagt@mail.ru.

The article is recommended for publishing by A.P. Buinosov, Doctor of technical science, Professor, Ural state university of railway transport; E-mail: ABuinosov@usurt.ru.

Andrey Nikolayevich Kireyev, Candidate of technical science, Associate Professor Candidate for a Doctor's degree, Railway transport Chair, «Lugansk national university named after Vladimir Dal»; Lugansk. E-mail: lifter_23@mail.ru.

Margarita Anatolievna Kireyeva, Assistant, Railway transport chair, Lugansk national university named after Vladimir Dal. E-mail: kmagt@mail.ru.

С повышением скоростей движения на железных дорогах, увеличением объемов перевозок грузов и пассажиров особое внимание уделяется безопасности движения на железных дорогах.

Одна из наиболее ответственных деталей экипажной части подвижного состава – колеса колесных пар, от исправной работы которых зависит безопасность движения на железных дорогах. В первую очередь это относится к колесам тягового подвижного состава, которые, в отличие от вагонных, выполняют дополнительную функцию передачи тягового усилия. При создании тягового подвижного состава чаще всего применяют так называемые составные колеса, состоящие из бандажа и колесного центра. При создании новых типов тягового подвижного состава используют колесные центры, полученные штамповочно-катаным путем, – катаные колесные центры [1], которые, в отличие от литых колесных центров [2], обладают меньшей неподрессоренной массой, лучшими показателями механических свойств и меньшей склонностью к трещинообразованию [3]. Примеры тягового подвижного состава, в конструкции колесных пар которого применяются катаные колесные центры, представлены на рис. 1.

Качество катаных колесных центров формируется на стадии создания заготовки, формирования колесного центра в процессе пластической деформации, на стадии термической и механической обработки.

В качестве термической обработки катаных колесных центров марки С [1] применяется нормализация или нормализация с последующим отпуском. Однако для повышения качества катаных колесных центров целесообразно термическое улучшение (закалка + отпуск). Применение термического улучшения позволяет повысить ударную вязкость стали при тех же параметрах твердости и прочности [4, 5], что особенно важно для деталей экипажной части, которые испытывают динамические нагрузки при движении подвижного состава.

Отклонение параметров термической обработки от оптимального режима может привести к снижению механических свойств, точнее, к снижению ударной вязкости катаных колесных центров. Чтобы этого избежать, проводится выборочный контроль микроструктуры и механических свойств (качества термической обработки) одного колесного центра от партии. О качестве термической обработки всей партии при таком методе контроля можно

а)



б)



Рис. 1. Тяговый подвижной состав в конструкции колес которого применяются катаные колесные центры
а – пригородный дизель-поезд ДЭЛ-02; б – пассажирский тепловоз ТЭП-150

судить только с определенной степенью вероятности. Для тотального контроля качества термической обработки лучше применять неразрушающие методы контроля.

Исследования показали зависимость от температуры нагрева под закалку при термическом улучшении катаных колесных центров параметров ультразвуковой волны при ее прохождении в ободе колесных центров [6]. Поэтому для 100 %-ного контроля качества термической обработки катаных колесных центров целесообразно использовать метод ультразвуковой структуроскопии [7].

В работе поставлена задача разработки способа контроля качества термической обработки катаных колесных центров тягового подвижного состава методом ультразвуковой структуроскопии.

Для проведения экспериментальных исследований были изготовлены образцы из обода катаного колесного центра, подвергнутые термической обработке по режимам, приведенным в таблице. Шероховатость поверхности – ввода ультразвуковой волны и донной поверхности – не более $R_z = 40$ мкм.

Для ультразвуковых измерений применялись ультразвуковой импульсный дефектоскоп УД 2-70 (рис. 2) и пьезоэлектрические преобразователи П111-5-к6-003 и П111-10-к6-003 с частотой ультразвуковой волны 5 и 10 МГц соответственно. В качестве контактной жидкости – масло индустриальное И-40.

В образцах измерялась амплитудная характеристика донного эхо-сигнала в осевом направлении на частоте 5 и 10 МГц. Амплитудная характеристика

Режимы термической обработки образцов для проведения эксперимента

№ образца	Температура нагрева под закалку, °С	Охлаждающая среда	Температура отпуска, °С
1	800	Масло	500
2	810	Масло	500
3	820	Масло	500
4	830	Масло	500
5	840	Масло	500
6	850	Масло	500
7	860	Масло	500
8	870	Масло	500
9	880	Масло	500
10	890	Масло	500



Рис. 2. Ультразвуковой импульсный дефектоскоп УД 2-70

измерялась относительно опорного сигнала (донный сигнал в стандартном образце СО-2 [8], 59 мм, 20 мкс).

После акустических измерений из экспериментальных образцов изготавливались образцы с U-образным надрезом для испытаний на ударный изгиб [9] по Шарпи. Образцы Шарпи изготавливались из центральной части экспериментального образца, имеющей наибольшую величину зерна.

По результатам измерения амплитудной характеристики донного эхосигнала рассчитаны дифференциальные коэффициенты ослабления ультразвуковой волны ($g = N_d/x$ (дБ/мм), N_d – амплитуда донного эхо-сигнала, x – расстояние до донной поверхности), обуславливающие ослабление волны на 1 мм пройденного волной расстояния. На рис. 3 представлен график зависимости дифференциальных коэффициентов ослабления продольной

ультразвуковой волны от температуры нагрева катаных колесных центров под закалку при термическом улучшении.

Испытания образцов на ударный изгиб проводились при температуре окружающей среды 20 °С.

По результатам испытания образцов на ударный изгиб рассчитана ударная вязкость (рис. 4).

В качестве минимально допустимого значения структурного параметра при оценке качества термического улучшения катаных колесных центров примем значение ударной вязкости равным 50 Дж/см². Следовательно, в образцах, закаленных от температуры 800, 870, 880 и 890 °С, структурный параметр выходит за минимально допустимое значение.

Из зависимости (рис. 4) видно, что граничными допустимыми значениями температуры нагрева под закалку колесных центров по структурному

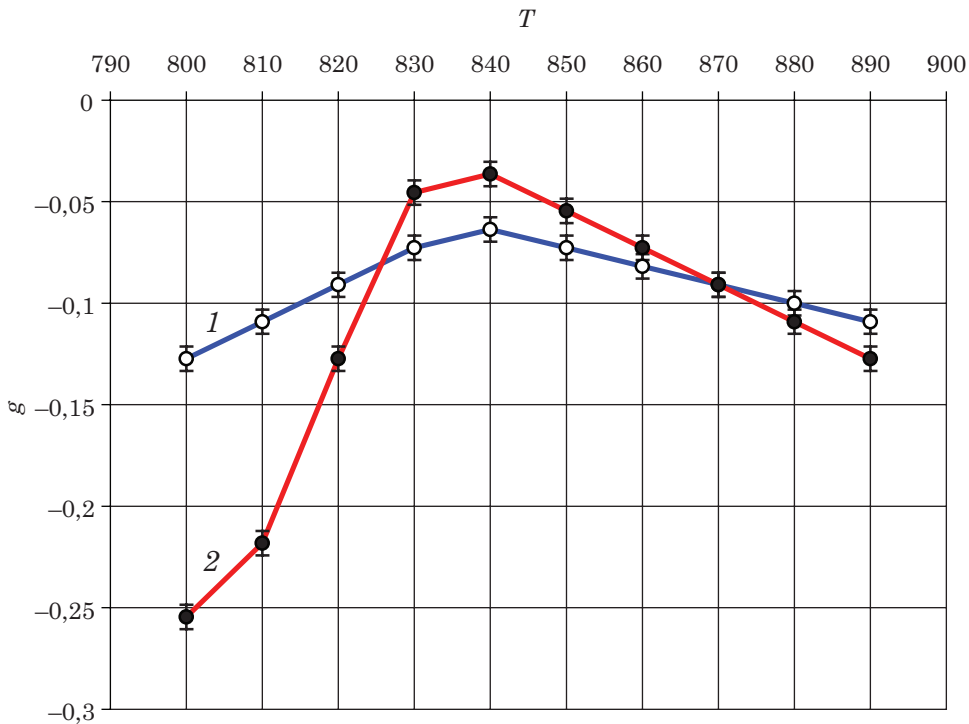


Рис. 3. Зависимость дифференциального коэффициента ослабления ультразвуковой волны g (дБ/мм) от температуры нагрева под закалку T (°C) экспериментальных образцов
1 – на частоте 5 МГц; 2 – на частоте 10 МГц

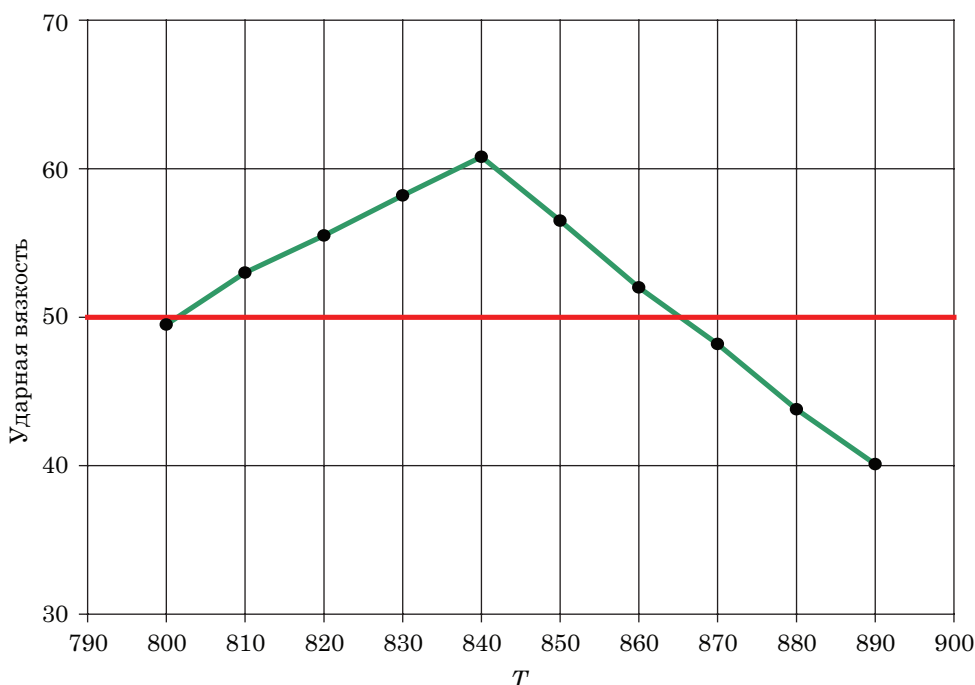


Рис. 4. Зависимость ударной вязкости (Дж/см²) экспериментальных образцов от температуры нагрева под закалку (°C)

параметру ударной вязкости являются: минимально допустимое значение – 801 °C, максимально допустимое значение – 865 °C.

Характерные участки экспериментальных кривых (рис. 3) были аппроксимированы. Ниже представлены функции прямых аппроксимации: для зависимости на частоте 5 МГц – система уравнений (1); для зависимости на частоте 10 МГц – система уравнений (2). Графики, построенные по функциям аппроксимации, представлены на рис. 5.

$$\left\{ \begin{aligned} g_5 [-0,12727; -0,07273] &\rightarrow T_{1,1} = \\ &= 550,055g_5 + 870,006; \\ g_5 [-0,07273; -0,06364] &\rightarrow T_{1,2} = \\ &= 1100,11g_5 + 910,011; \\ g_5 [-0,10909; -0,06364] &\rightarrow T_{1,3} = \\ &= -1100,11g_5 + 769,989. \end{aligned} \right. \quad (1)$$

$$\left\{ \begin{aligned} g_{10} [-0,25455; -0,21818] &\rightarrow T_{2,1} = \\ &= 274,252g_{10} + 869,989; \\ g_{10} [-0,21818; -0,04545] &\rightarrow T_{2,2} = \\ &= 115,788g_{10} + 835,263; \\ g_{10} [-0,04545; -0,03636] &\rightarrow T_{2,3} = \\ &= 1100,11g_{10} + 880; \\ g_{10} [-0,12727; -0,03636] &\rightarrow T_{2,4} = \\ &= -549,995g_{10} + 820,002, \end{aligned} \right. \quad (2)$$

где g_5 – дифференциальный коэффициент ослабления продольной ультразвуковой волны на частоте 5 МГц; g_{10} – дифференциальный коэффициент ослабления продольной ультразвуковой волны на частоте 10 МГц; T – температура нагрева под закалку катаных колесных центров.

На основании проведенных экспериментальных исследований разработан

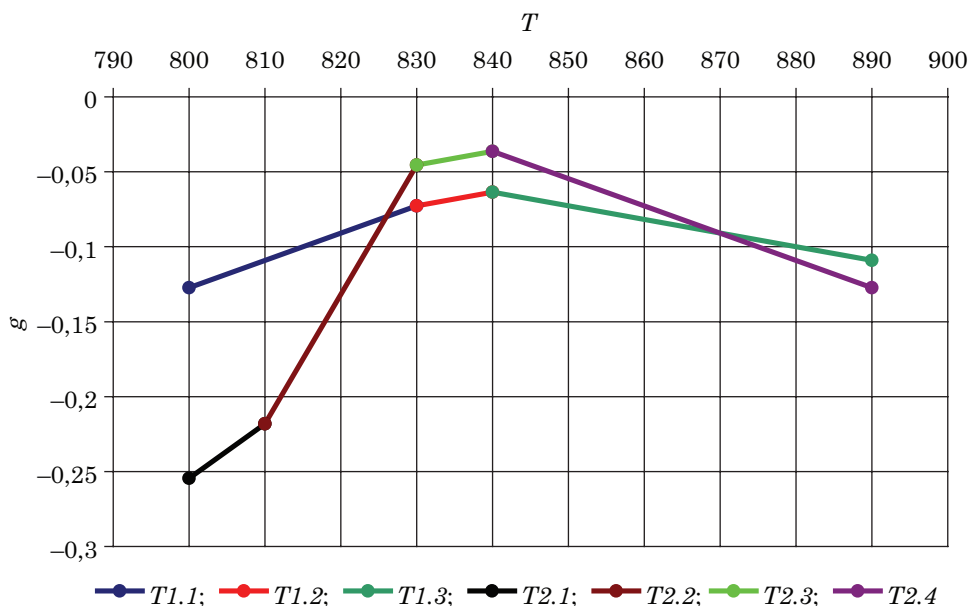


Рис. 5. График зависимости дифференциального коэффициента g (дБ/мм) от температуры нагрева под закалку T (°C), построенный по функциям аппроксимации (1) и (2)

способ оценки качества термической обработки катаных колесных центров методом ультразвуковой структуроскопии.

В качестве диагностического параметра выбран дифференциальный коэффициент ослабления продольной ультразвуковой волны при ее прохождении в ободе колесного центра в осевом направлении, в качестве структурного параметра, от которого зависит диагностический параметр, – механическая характеристика стали колесных центров (ударная вязкость).

Разработан алгоритм (рис. 6) и на его основе программный продукт NDTRT-24 для автоматизации расчетов при оценке качества термической обработки. Окно программного продукта NDTRT-24 представлено на рис. 7.

Способ оценки качества термической обработки катаных колесных центров тягового подвижного состава методом

ультразвуковой структуроскопии заключается в следующем:

в ободе контролируемого катаного колесного центра измеряется амплитуда донного сигнала в осевом направлении на частотах ультразвуковой волны 5,0 и 10,0 МГц;

высота обода колесного центра и измеренные данные вводятся в программный продукт NDTRT-24;

программный продукт реализует алгоритм (рис. 5) и выводит сообщение о качестве (удовлетворительное или неудовлетворительное) термического улучшения катаных колесных центров.

Разработанный способ оценки качества термической обработки катаных колесных центров тягового подвижного состава методом ультразвуковой структуроскопии позволяет проводить тотальный контроль качества и тем самым избежать недостатков выборочных методов контроля качества термической обработки. ■

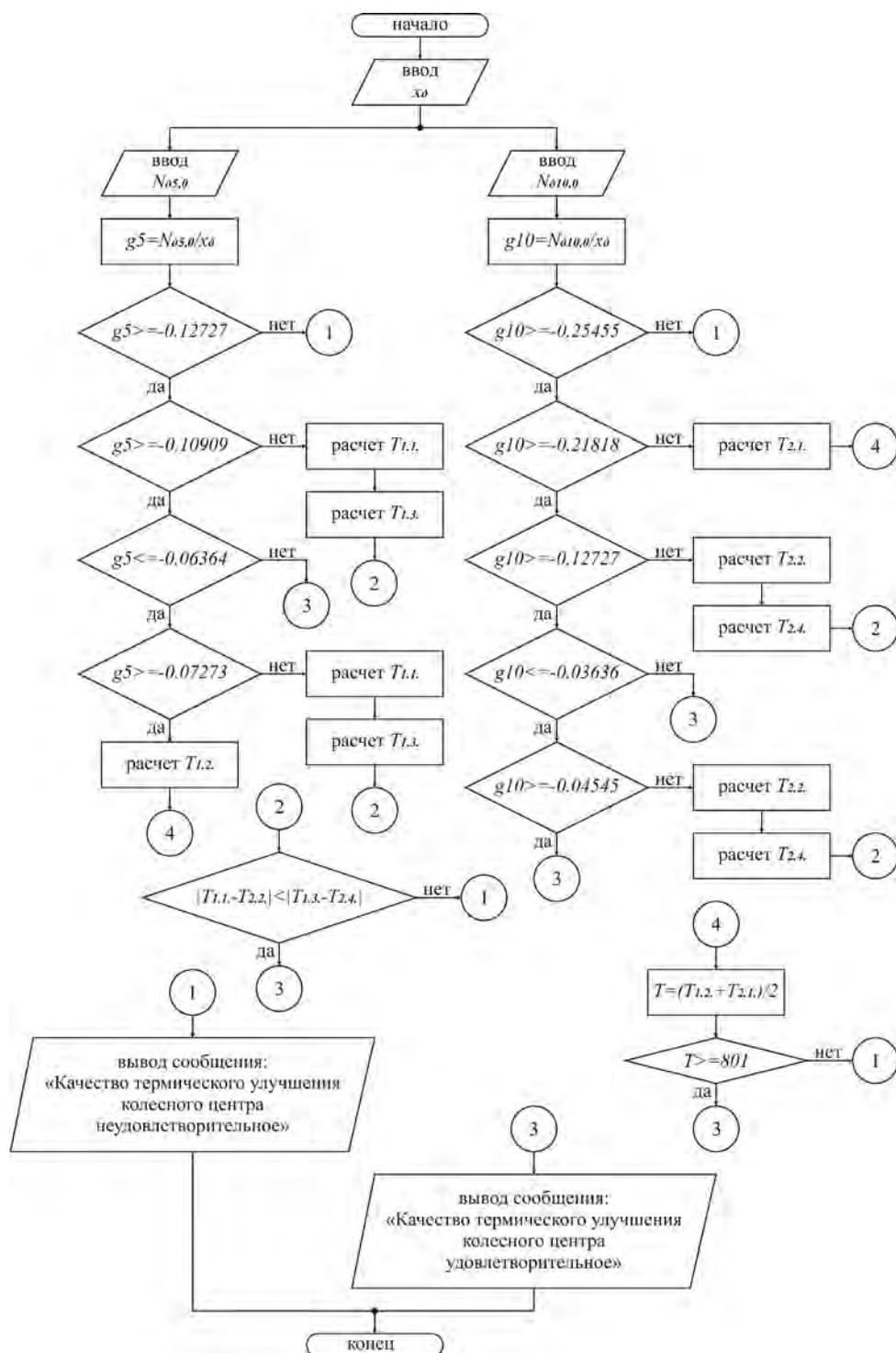


Рис. 6. Алгоритм оценки качества термического улучшения катаных колесных центров методом ультразвуковой структуроскопии



Рис. 7. Окно программного продукта NDTRT-24

Литература

1. ГОСТ Р 55498–2015. Центры колесные катаные для железнодорожного подвижного состава. Технические условия. М. : Стандартинформ, 2014. 16 с.
2. ГОСТ 4491–2016. Центры колесные литые железнодорожного подвижного состава. Общие технические условия. М. : Стандартинформ, 2016. 16 с.
3. Брюнчуков Г.И., Сухов А.В., Керенцев Д.Е., Разумов А.С. Катаные колесные центры для магистральных тепловозов 2ТЭ10, 2ТЭ116 // Вестник научно-исследовательского института железнодорожного транспорта. 2015. № 2. С. 45–52. ISSN 2223-9731.
4. Вязников Н.Ф. Термическая обработка стали. М. : Металлургиздат, 1961. – 349 с.
5. Термическая обработка в машиностроении : справочник / под ред. Ю.М. Лахтина, А.Г. Рахгштадта. – М. : Машиностроение, 1980. – 783 с.
6. Киреев А.Н. Применение ультразвукового метода для определения оптимальной температуры нагрева под закалку при термическом улучшении стали катаных колесных центров локомотивов // Вісник Східноукраїнського національного університету ім. В. Даля. 2005. № 8(90). Ч. 2. С. 162–166. ISSN 1998-7929.
7. ГОСТ 23829–85. Контроль неразрушающий акустический. Термины и определения. М. : Изд-во стандартов, 1985. 18 с.
8. ГОСТ Р 55724–2013. Контроль неразрушающий. Соединения сварные. Методы ультразвуковые. М. : Стандартинформ, 2014. 24 с.
9. ГОСТ 9454–78. Металлы. Метод испытания на ударный изгиб при пониженных, комнатной и повышенных температурах. М. : Изд-во стандартов, 1994. 26 с.

Literature

1. GOST P 55498-2015. Centres wheel rolled for railway rolling stock. Technical requirements [Centry kolesnye katanye dlya zheleznodorozhnogo podvizhnogo sostava. Tekhnicheskie usloviya]. M. : Standartinform, 2014. 16 p.

2. GOST 4491–2016. Centres wheel moulded of railway rolling stock. General technical requirements [Centry kolesnye litye zheleznodorozhnogo podvizhnogo sostava. Obshhie tekhnicheskie usloviya]. M. : Standartinform, 2016. 16 p.
3. Brunchukov G.I., Sukhov A.V., Kerentsev D.E., Razumov A.S. Rolled wheel centres for mainline diesel locomotives 2ТЭ10, 2ТЭ116 // Herald of research and scientific Institute of railway transport [Katanye kolesnye centry dlya magistral'nyh teplovozov 2TE10, 2TE116 // Vestnik nauchno-issledovatel'skogo instituta zheleznodorozhnogo transporta]. 2015. № 2. P. 45–52. ISSN 2223-9731.
4. Vyaznikov N.F. Heat treatment of steel [Termicheskaya obrabotka stali]. M. : Metallurgizdat, 1961. – 349 p.
5. Heat treatment in machine building industry: reference book [Termicheskaya obrabotka v mashinostroenii] / edited by Yu.M. Lakhtin, A.G. Rakhshadt. – M. : Machine building industry, 1980. – 783 p.
6. Kireyev A.N. Application of ultrasound method for evaluation of optimum heat temperature for heat treatment of locomotive rolled wheel centres steel refining // Herald of Ukrainian national university named after V.Dal [Primenenie ul'trazvukovogo metoda dlya opredeleniya optimal'noj temperatury nagreva pod zakalku pri termicheskom uluchshenii stali katanyh kolesnyh centrov lokomotivov // Vestnik Vostochnoukrainskogo nacional'nogo universiteta im. V. Dal'] 2005. № 8(90). P. 2. P. 162–166. ISSN 1998-7929.
7. GOST23829–85. Control nondestructive acoustic. Terms and definitions. [Kontrol' nerazrushayushhij akusticheskij. Terminy i opredeleniya] M. : Publisher of standards, 1985. 18 p.
8. GOST55724–2013. Control nondestructive. Junctions welded. Methods ultrasound. [Kontrol' nerazrushayushhij. Soedineniya svarnye. Metody ul'trazvukovye] M. : Standartinform, 2014. 24 p.
9. GOST 9454–78. Metals. Testing method for impact bending under reduced, room and elevated temperatures. [Metally. Metod ispytaniya na udarnyj izgib pri ponizhennyh, komnatnoj i povyshennyh temperaturah] M. : Publisher of standards, 1994. 26 p.

Статья сдана в редакцию 28 ноября 2018 года

УДК 621.891

*В. И. Кубич, О. Г. Чернета, Е. А. Задорожная, А. В. Гриценко,
К. В. Глемба, Л. А. Шефер*

Исследование процесса смазки турбокомпрессоров

UDC 621.891

*V. I. Cubich, O. G. Cherneta, E. A. Zadorozhnaya, A. V. Gritsenko,
K. V. Glemba, L. A. Shefer*

Investigation of lubrication of turbocompressors

Аннотация

Состояние потока моторного масла в гидродинамических сопряжениях определяется не только геометрическими или термомеханическими параметрами

взаимодействия поверхностей трения, но и режимом течения. Из-за тяжелых условий работы подшипников скольжения на некоторых режимах процессы самоорганизации на

поверхностях трения протекают неэффективно. Это негативно влияет на сплошность и устойчивость к повреждениям формирующихся смазочных образований, режим течения смазочного

Статья рекомендована к публикации И.С. Цихалевским, канд. техн. наук, доцентом Уральского государственного университета путей сообщения. E-mail: ITsikhalevsky@usurt.ru.

Вадим Иванович Кубич, канд. техн. наук, доцент; кафедра автомобилей Запорожского национального технического университета; г. Запорожье, Украина. E-mail: reibung1@mail.ru.

Олег Георгиевич Чернета, канд. техн. наук, доцент; кафедра автомобилей и автомобильного хозяйства Днепродзержинского государственного технического университета, г. Дзержинск, Украина; E-mail: science@dstu.dp.ua.

Елена Анатольевна Задорожная, д-р техн. наук, профессор; кафедра «Автомобильный транспорт» Южно-Уральского государственного университета; профессор кафедры «Эксплуатация машинно-тракторного парка» Южно-Уральского государственного аграрного университета; г. Челябинск, Россия. E-mail: elena-nea@rambler.ru.

Александр Владимирович Гриценко, д-р техн. наук, профессор; кафедра «Автомобильный транспорт» Южно-Уральского государственного университета; профессор кафедры «Эксплуатация машинно-тракторного парка» Южно-Уральского государственного аграрного университета; г. Челябинск, Россия. E-mail: alexgrits13@mail.ru.

Константин Вячеславович Глемба, канд. техн. наук, доцент; кафедра «Автомобильный транспорт» Южно-Уральского государственного университета; доцент кафедры «Эксплуатация машинно-тракторного парка» Южно-Уральского государственного аграрного университета; г. Челябинск, Россия. E-mail: glemba77@mail.ru.

Леопольд Анатольевич Шефер, д-р техн. наук, профессор; кафедра «Летательные аппараты» Южно-Уральского государственного университета; г. Челябинск, Россия. E-mail: sheferla@susu.ru.

The article is recommended for publishing by I.S. Tsikhalevsky, Candidate of technical science, Associate Professor, Ural state university of railway transport. E-mail: ITsikhalevsky@usurt.ru.

Vadim Ivanovich Cubich, Candidate of technical science, Associate Professor, Chair of Motor Vehicles, Zaporozhsky national technical university; Zaporozhie, Ukraine. E-mail: reibung1@mail.ru.

Oleg Georgievich Cherneta, Candidate of technical science, Associate Professor; Chair of Motor Vehicles and Vehicle Fleet, Dneprodzerzhinsk state technical university, Dzerzhinsk, Ukraine; E-mail: science@dstu.dp.ua.

Elena Anatol'evna Zadorozhnaya, Doctor of technical science, Professor; Motor Vehicle Transport Chair, South-Ural state university; Professor, Maintenance of Motor Vehicle and Tractor Park Chair, South-Ural state agricultural university, Chelyabinsk, Russia. E-mail: elena-nea@rambler.ru.

Alexander Vladimirovich Gritsenko, Doctor of technical science, Professor; Motor Vehicle Transport Chair, South-Ural state university; Professor, Maintenance of Motor Vehicle and Tractor Park Chair, South-Ural state agricultural university, Chelyabinsk, Russia. E-mail: alexgrits13@mail.ru.

Konstantin Vyacheslavovich Glemba, Candidate of technical science, Associate Professor; Motor Vehicle Transport Chair, South-Ural state university; Associate Professor, Maintenance of Motor Vehicle and Tractor Park Chair, South-Ural state agricultural university, Chelyabinsk, Russia. E-mail: glemba77@mail.ru.

Leopold Anatol'evich Shefer, Doctor of technical science, Air Vehicles Chair, South Ural state university; Chelyabinsk, Russia. E-mail: sheferla@susu.ru.

материала относительно поверхностей трения изменяется в процессе работы. Очень часто наблюдается переход потока моторного масла из ламинарного течения в турбулентное состояние. Приведены результаты расчетной оценки возможных эксплуатационных режимов и условий, при которых в подшипнике скольжения вала турбокомпрессора проявляется турбулизация течения потока моторного масла. Это позволяет определить толщину вероятных пограничных слоев относительно радиуса неровности поверхностей и сравнить с общей толщиной возможного смазочного слоя в сопряжении «шейка-втулка». Предложенный подход позволяет давать общую оценку состояния потока масла с точки зрения формирования его по слоям и характеру движения компонентов в нем, что необходимо для совершенствования способов обеспечения надежности смазывания подшипника

конкретного турбокомпрессора.

Ключевые слова: критерий Рейнольдса, турбулентный поток, турбокомпрессор, пограничный слой, смазочные образования, компонент масла.

DOI: 10.20291/2079-0392-2019-1-25-39

Annotation

Condition of motor oil stream in hydrodynamic links is evaluated not only by geometrical or thermomechanical parameters of interaction of friction surfaces, but by the flow mode as well. Due to hard operating conditions of sliding bearings at certain modes, self-organization processes on friction surfaces flow ineffectively. This influences uniformity and resistance to damages of lubricating formations, the lubricating material flow mode in relation to friction surfaces is changed during operation.

Very often one may observe motor oil stream change

from streamline flow into turbulent condition. The results of estimated assessment of possible operational modes and conditions are given, in which turbulization of motor oil stream flow is manifested in turbocompressor shaft sliding bearing. This makes it possible to evaluate the depth of probable boundary layers in relation to surface asperity radius and to compare with general depth of the possible lubricating layer at «neck – muft» link.

The proposed approach provides to give general assessment of oil stream condition from the viewpoint of its formation by layers and movement character of components in it, which is necessary for perfection of ways to ensure reliability of lubrication of a particular turbocompressor bearing.

Key words: Reynolds criterion, turbulent stream, turbocompressor, boundary layer, lubricating formations, oil component.

DOI: 10.20291/2079-0392-2019-1-25-39

Разработка мероприятий повышения надежности работы подшипниковых узлов, работающих в условиях высокоскоростного трения скольжения, предполагает наличие данных, определяющих не только характер нагружения поверхностей, но и особенности проявления реологических свойств смазочных материалов, протекающих через зазоры определенных размеров. Диапазон высоких частот вращения валов в узлах трения автотракторных двигателей достаточно широк, например, от 3 до 6 тыс. мин⁻¹ в трибосопряжениях коленчатых и распределительных валов и от 75 до 220 тыс. мин⁻¹ для валов турбокомпрессоров. Состояние потока моторного масла в таких сопряжениях определяется не только геометрическими или термомеханическими параметрами взаимодействия поверхностей

трения, но и режимом течения. Из-за высоких нагрузочных и тепловых режимов возможны нарушения сплошности потока масла в зазоре сопряжений. Это обусловлено механическим повреждением из-за недостаточного количества масла в зоне трения. Масло – жидкотекучее вещество, в котором могут происходить процессы изменения режима течения относительно поверхностей трения в общем и элементов их топографического контура в частности, т.е. переход потока моторного масла в турбулентное состояние. Характерная черта турбулентного состояния – вихревое движение смазочных слоев. Возникает вопрос о возможности формирования устойчивых структур смазочных образований на поверхностях трения: насколько они будут оставаться функциональными в экстремальных условиях эксплуатации?

Вопросам изучения процессов движения моторного масла через узлы трения скольжения автотракторных двигателей, в частности, через зазоры подшипников коленчатого вала, вала турбокомпрессоров посвящены работы [1–7]. Так, в работе [1] разработаны и представлены методы диагностирования коренных и шатунных подшипников для автомобильных и тракторных двигателей путем измерения пульсаций давления в главной масляной магистрали. Авторам удалось установить связь между величиной сигнала давления и техническим состоянием коренных подшипников. В работах [2–4, 6] проведены теоретические и натурные экспериментальные исследования по установке в систему смазывания дополнительного оборудования для повышения эксплуатационной надежности. Турбокомпрессор был оснащен гидроаккумулятором и тормозным устройством для снижения времени выбега ротора, охлаждения и смазывания вала во время остановки двигателя принудительной подачей моторного масла с помощью дополнительной трубы и полых болтов в зону трения. Результаты исследований показали, что сокращение времени выбега ротора до диапазона в 37–57 с в зависимости от режима работы исключает возникновение режимов полусухого или сухого трения, что продлевает срок службы турбокомпрессора.

В работе [5] представлена методика оценки и расшифровки диагностической информации, которая основывается на исследованиях, представленных в [1]. Предложенная методика дает возможность проводить безразборную диагностику и оценить степень износа подшипников скольжения в кривошипно-шатунном механизме по параметрам пульсации давления в центральной масляной магистрали. В работе [7] коллектив авторов установил взаимосвязь между частотой вращения турбокомпрессора и критерием смазывания λ при различных температурах моторного масла. В ней

установлена зависимость между радиальной силой, нагружающей подшипник, и частотой вращения вала. В целом, полученные результаты указывают, что смазочные образования не всегда смогут выдерживать воздействия со стороны контртела, обусловленные величиной радиальной силы вала турбины. А это обуславливает переход на режимы смазки, неблагоприятные для сопротивления материала подшипника изнашиванию.

В работах [8, 9] по критерию Рейнольдса дана оценка течения масляного потока, который подводится к узлам трения коленчатого, распределительного валов и агрегатов турбокомпрессоров при различных вязкостно-температурных параметрах моторного масла, геометрических параметрах подшипников скольжения и скоростных параметрах работы выборки двигателей. Установлено, что турбулизация течения потока моторного масла в зазорах подшипников скольжения при определенных режимах работы теоретически возможна. В работах [8, 9] рассматривалось течение потока через эксплуатационные зазоры. Однако случай прерывности потока масла, при котором есть смазка поверхностей из остатков материала в зазоре, не рассматривался, и оценка возможности турбулизации слоев остаточного масла не производилась. Такой режим взаимодействия поверхностей возможен в общем случае при запаздывании подачи масла в зону трения, в частности, при проявлении режима смешанной смазки.

Наличие смазочных образований в виде адсорбированных слоев на поверхностях трения учтено в математической модели смазочного материала [10]. Влияние полимолекулярной адсорбции на реологическое поведение смазочного масла в тонком слое описано в работах [11–13]. Однако в указанных работах не представлено экспериментальное исследование узлов трения машин, в которых реализуется рассмотренный режим течения смазочного материала.

Таким образом, результаты анализируемых работ указывают на актуальность оценки состояния потока моторного масла в рассматриваемых узлах трения двигателя, поскольку именно он определяет как возможность их диагностирования в целом, так и процессы формирования смазочных образований непосредственно на поверхностях деталей.

Поток моторного масла представляется структурной составляющей практически любого трибологического сопряжения, в котором по условиям рабочих режимов существуют гидродинамический, граничный или смешанный режимы смазки. Подшипники скольжения вала турбокомпрессоров автотракторных двигателей рассматриваются как трибологические сопряжения «шейка вала – вкладыш» с изменяющимся характером течения потока моторного масла. Однако проявление таких режимов смазки не всегда постоянно, поскольку толщина смазочного слоя изменяется в зависимости от ряда параметров, а именно, динамической вязкости η , нагрузки в контакте N , параметров шероховатости поверхностей $R_{a1,2}$.

В подшипниках скольжения, где зона возвратных течений более обширна, при большой длине подшипника, значительном статическом эксцентриситете $> 0,3-0,4$ и повышенных значениях числа Рейнольдса ($Re > 200$) в широкой части смазочного слоя следует ожидать образования замкнутых вихревых течений, возмущающих течение смазки в соседних частях смазочного слоя.

При Re более 2300 течение турбулентное. Так как в системах смазки автотракторных средств обычно применяются вязкие масла, а скорости в каналах невелики (0,5 л/с), то течение масла в бывае всегда ламинарное.

Согласно Куэзтту, течение в подшипниках скольжения ламинарное при $Re < 1900$ и турбулентное при $Re > 1900$. Радиальные подшипники с гидродинамической смазкой рассчитывают с помощью метода последовательного приближения или метода вариации путем

оптимизации конструктивных и эксплуатационных факторов для достижения малого износа в эксплуатации и благоприятных энергозатрат с учетом имеющихся масел и их вязкости.

На устойчивость ламинарного течения сильно влияют разрыв и кавитация жидкостной смазки. Эти явления нарушают спокойствие течения жидкости и граничные условия течения. Перемещающиеся каверны и брызги вызывают значительные возмущения в виде местных случайных вихревых течений. Такие вихри еще не образуют обычного беспорядочного турбулентного течения, отличаясь от него большей масштабностью, более низкими частотами и меньшей устойчивостью. Тем не менее они могут заметно повышать вязкое сопротивление и изменять действующие гидромеханические силы.

Критические значения чисел Рейнольдса зависят также от шероховатости поверхности подшипника, причем для шероховатой поверхности критические числа Рейнольдса меньше, чем для гладкой. При обтекании поверхности подшипника маслом с самого начала может иметься турбулентный пограничный слой (ламинарная и переходная зоны в этом случае отсутствуют).

Так, в соответствии с работой [14], минимальная толщина смазочного слоя, при которой сохраняются условия для гидродинамической смазки, определяется выражением:

$$h_{\min} = 0,57 \frac{\eta U d \cdot l}{N}, \quad (1)$$

где d – диаметр вала подшипника, м; l – длина подшипника.

С учетом установленного подхода в трибологии для оценки режимов смазки по критерию λ [14] параметры выражения (1) обуславливают его численные значения следующим образом:

$$\lambda = 0,57 \frac{\eta U d \cdot l}{N \sqrt{R_{a1}^2 + R_{a2}^2}}, \quad (2)$$

где $R_{a1,2}$ – среднее арифметическое отклонение профиля контактирующих поверхностей.

Из выражений (1), (2) следует, что основными параметрами, определяющими смену режимов смазки в условиях установившейся регулярной шероховатости взаимодействующих поверхностей, являются скорость скольжения и вязкость в прямой пропорциональности и нагрузка с параметром шероховатости в обратной пропорциональности. При этом скорость потока v_c смазочного материала будет определяться скоростью вращения подвижного элемента трибосопряжения; в данном случае скоростью скольжения в контакте $v_c = f(U)$. Однако перемещения отдельно выделенных слоев будут иметь разные градиенты скорости в зависимости от удаления от поверхностей тела и контртела сопряжения.

В зависимости от режима течения различают ламинарный и турбулентный пограничные слои. Последний отличается интенсивным перемешиванием, образованием мелких вихрей, пульсаций скорости, наличием значительной поперечной скорости, тепло- и массообменом с внешним потоком. В связи с плавным характером перехода пограничного слоя в ядро потока принято условно считать, что пограничный слой заканчивается при толщине δ , где скорость отличается от скорости внешнего потока на 1 % (рис. 1).

По мере обтекания стенки с маломедленной скоростью внешнего потока

толщина пограничного слоя δ увеличивается. Если вначале слой ламинарный (участок I), то при определенных условиях из-за образования и интенсификации пульсаций слой начинает турбулизироваться. Участок II, где происходит этот процесс, называется переходным, а на участке III слой можно считать турбулентным. Однако и здесь между стенкой и турбулентным слоем находится тонкий ламинарный подслой.

Толщина турбулентного слоя заметно больше, чем предшествующего ему ламинарного слоя. Турбулентный слой имеет более полную эпюру скоростей, чем ламинарный (см. эпюры скоростей на рис. 1), что объясняется интенсивным перемешиванием внутри слоя.

Экспериментальное определение характеристик неламинарного течения смазки затрудняется возможностью отличающихся режимов, начиная от упорядоченных вихревых течений Тэйлора и кончая беспорядочными турбулентными течениями.

Вихревая зона действует на остальной поток смазки подобно внесенному в ее слой твердому телу такой же конфигурации, тем самым уменьшается клиновидная часть смазочного слоя в наиболее широкой его части. Турбулизация смазки в этой области распространяется лишь на слабо нагруженную часть смазочного слоя и потому мало влияет на величину действующих на цапфу

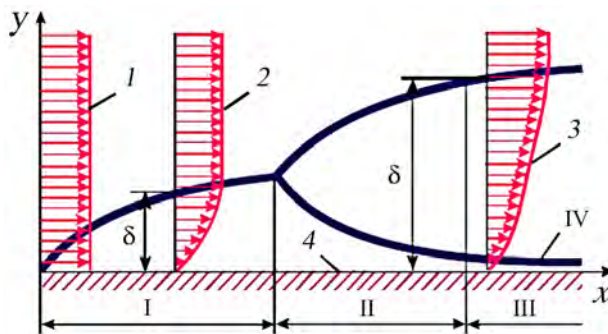


Рис. 1. Схема пограничного слоя при обтекании плоской стенки

I — ламинарный режим; II — переходная зона; III — турбулентный режим; IV — ламинарный подслей; 1 — эпюра скоростей движения потока масла в идеальном слое; 2 — эпюра скоростей в ламинарном слое; 3 — эпюра скоростей в турбулентном слое; 4 — обтекаемая стенка

гидромеханических сил. На практике расширяющаяся часть жидкостного смазочного слоя из-за понижения давления в основном потоке обычно оказывается охваченной кавитацией, и тогда разрушается та часть смазки, где могли бы возникать вихревые течения.

Большое влияние на устойчивость ламинарного течения оказывают разрыв и кавитация жидкостной смазки. Эти явления существенно нарушают спокойствие течения жидкости и граничные условия течения. Перемещающиеся каверны и брызги вызывают значительные возмущения в виде местных случайных вихревых течений. Такие вихри еще не образуют обычного беспорядочного турбулентного течения, отличаясь от него большей масштабностью, более низкими частотами и меньшей устойчивостью. Тем не менее они могут заметно повышать вязкое сопротивление и изменять действующие гидромеханические силы.

Такие градиенты скоростей могут быть следующими. Во-первых, увеличивающимися: $dv_c/dh > 0$, что предопределяется наличием предварительно сформировавшегося граничного слоя – смазочных образований из цепочек многоатомных углеводородосодержащих молекул. Для последних характерно наличие определенных когезионных связей внутри структуры и адгезионных связей непосредственно с совокупностью активных центров поверхностей. Это полимолекулярные слои с различными сдвиговыми сопротивлениями перемещению.

Во-вторых, постоянными: $dv_c/dh = 0$, когда $v_c = 0$ или $v_c = \text{const} > 0$, что предопределяется:

- отсутствием сформировавшихся граничных слоев на протяжении некоторого времени (когда они разрушены и не успели образоваться, что вызывается проявлением критических значений параметров нагружения контакта);

- ламинарностью состояния потока при формировании смазочных образований вновь, для которого характерно

постоянство скоростей движения условных точек по линиям тока. При этом под условными точками линий тока можно рассматривать движение компонентов смазочного материала в виде отдельных многоатомных молекул.

В-третьих, переменными: $dv_c/dh \geq 0$, $dv_c/dh \leq 0$, что предопределяется переходом от ламинарного состояния потока компонентов смазочного материала к его турбулентному состоянию.

При нарушении ламинарного режима течения смазки увеличивается момент трения, действующий на цапфу и на подшипник. Несколько повышается поддерживающая цапфу гидродинамическая сила, однако неизвестны надежные измерения этой силы для неламинарных режимов течения смазки. Практически отсутствуют сведения о компонентах гидромеханических сил при колебаниях смазки [17]. Профили давления при турбулентном течении смазки не намного отличаются от таковых при ламинарном ее течении и подчас укладываются в пределы погрешности измерений.

Следующий вопрос, имеющий значение для быстроходных валов, – это переход из ламинарного режима течения смазки в турбулентный. Последний повышает момент трения, усиливает образование тепла, следовательно, дает меньший поток смазки, чем ламинарный режим.

При этом вероятность формирования адгезионно-когезионных связей в формирующихся структурах смазочных образований определенных толщин будет определяться скоростями движения компонентов смазочной среды и временем, отводимым на энергетический обмен и взаимодействие силовых полей. Очевидно, что отсутствие упорядоченного движения компонентов смазочной среды с различными молярными массами будет предопределять хаос в формировании устойчивых связей. Особенно это важно для поверхностно-активных веществ, которые:

- отвечают за координацию положения многоатомных молекул, например,

$\text{CH}_3(\text{CH}_2)$ относительно активных центров на поверхностях металлов;

– участвуют в процессе своего агрегатирования во взвешенном состоянии и формировании жидкокристаллического слоя граничной пленки, залеживая поврежденные слои на поверхностях [15].

Однако смазочная среда в виде моторного масла представляет собой не только присадочные композиции с поверхностно-активными веществами, но и базовое масло со сложными молекулами, образующими его структуру в целом. Для такой композиции, безусловно, характерно наличие сил вязкого трения, которые вызывают прилипание жидкости к поверхности обтекаемого тела [16], т. е. удерживают компоненты масла в состоянии покоя. В соответствии с теорией пограничного слоя, созданной в основном Л. Прандтлем, компоненты моторного масла при определенных режимах течения формируют пограничный слой, в котором силы вязкого трения и силы давлений одного порядка, а скорость возрастает при удалении от поверхности тела [16]. То есть в любом случае, независимо от процессов разрушения и восстановления защитных смазочных образований, на обтекаемых маслом поверхностях есть пограничные слои. Но с какими присущими им свойствами по эффектности проявления и времени действия с учетом смены гидравлического состояния? Вопрос пока остается открытым. Также интересен вопрос оценки процента наличия компонентов поверхностно-активных веществ в пограничном слое при переходах с одного режима смазки на другой. Особенно это важно знать для управления процессами при восстановлении эффективных граничных слоев в трибологических системах материалов с разной поверхностной активностью.

Толщина пограничного слоя δ относится к числу не вполне четко определенных понятий, так как граница слоя со стороны жидкости не является резко

очерченной, однако ее можно определить следующим образом [16]:

$$\delta \approx \frac{l}{\sqrt{\text{Re}}}, \quad (3)$$

где l – характерный линейный размер обтекаемого тела; Re – число Рейнольдса.

Такой подход в оценки состояния потока моторного масла вблизи обтекаемых поверхностей теоретически обуславливает факт формирования экранирующего пограничного слоя, в котором создаются благоприятные условия формирования адгезионных связей компонентов масла с активными центрами металлов. Однако в пограничном слое скорость движения слоев быстро нарастает при удалении от поверхности. Это, с учетом переменных градиентов скоростей перемещения компонентов в сопредельной зоне, что свойственно эффекту турбулизации, обуславливает проявление фрагментального запираания их прохода непосредственно к поверхности. Значит, происходит формирование запирающего слоя разной плотности.

Эксцентриситет цапфы, пока он невелик ($< 0,3$), почти не влияет на устойчивость ламинарного течения. По одним данным такой эксцентриситет несколько (в пределах 10–15%) снижает критическую величину числа Тейлора, по другим данным он несколько повышает его. Более значительный эксцентриситет препятствует образованию вихрей Тейлора и тем самым стабилизирует ламинарное течение смазки. Турбулентность течения смазки проявляется в основном как кажущееся увеличение вязкости смазки и небольшое сокращение относительной длины подшипника.

Теоретически ламинарное течение в смазочном слое устойчиво при любых скоростях, если угловая скорость вращения втулки превосходит угловую скорость цапфы при вращении их в одинаковом направлении. Это можно объяснить тем, что при вращении втулки центробежные силы прижимают смазку к подвижной поверхности. Наоборот, потеря устойчивости течения при

вращении цапфы объясняется тем, что центробежные силы отбрасывают смазку от вращающейся поверхности. Такое упрощенное представление действия сил, конечно, не охватывает всех особенностей явления потери устойчивости ламинарного течения.

Это определяется тем, что компоненты масла с меньшими скоростями движения не могут преодолеть сопротивление движению компонентов с большими скоростями движения. При больших значениях критерия Рейнольдса проявляются меньшие толщины пограничных слоев и, соответственно, запаса концентрации поверхностно-активных веществ, обуславливающих эффект восстановления поврежденных граничных слоев, может быть недостаточно. Толщины пограничных слоев будут сопоставимы с высотами формирующихся полимолекулярных слоев смазочных образований исходя из длин одной среднестатистической молекулы, например, для молекулы жирной кислоты – 1,7–2,3 нм. Очерченный подход к оценке состояния потока моторного масла в подшипнике скольжения турбокомпрессоров предлагается положить в основу разработки мероприятий по повышению его надежности на экстремальных режимах эксплуатации.

Таким образом, с точки зрения оценки процессов, обуславливающих структурирование граничных слоев, экранирующих поверхности взаимодействия, значим учет скоростей движения компонентов смазочного материала, омывающего поверхности трения при их взаимодействии. Рассчитать скорости движения компонентов смазочной среды в линиях тока достаточно сложно, а вот оценить состояние потока с линиями тока по критерию Рейнольдса для подшипника скольжения не представляет особого труда.

Необходимо определить возможные эксплуатационные режимы и условия, при которых в подшипниках скольжения вала турбокомпрессора проявляется турбулизация течения потока моторного масла с сопутствующими при

этом толщинами вероятных пограничных слоев. Полученные результаты позволяют оценить состояние потока масла с точки зрения формирования его структурного состояния по слоям и характера движения компонентов в нем.

Для расчета критерия Рейнольдса для подшипника скольжения использовалось математическое выражение вида [8, 9]:

$$Re = \frac{\pi d n \rho S}{2 \mu_{эф}} \leq 41,3 \sqrt{\frac{d}{S}}, \quad (4)$$

где d – диаметр вала, м; n – частота вращения вала турбокомпрессора, c^{-1} ; ρ – плотность моторного масла, $кг/м^3$; $\mu_{эф}$ – динамическая вязкость моторного масла, $Па \cdot c$; S – диаметральный зазор, м.

Вычисления производились в программном продукте Excel. В качестве исходных данных для расчетов использовались следующие значения параметров влияния:

- диаметр вала (шейки), м:
 $d_{max} = 0,012$; $d_{min} = 0,006$;
- диаметральный зазор, мкм:
 $S_{ном} = 16$; $S_{пром} = 58$; $S_{гран} = 75$;
- частота вращения вала, c^{-1} :
 $n_{max} = 4100$ (246000 мин^{-1});
 $n_{min} = 20$ (1200 мин^{-1});
- динамическая вязкость, $Па \cdot c$:
 $\mu_{max} = 0,9$; $\mu_{min} = 0,0024$.

Значения динамической вязкости рассчитывались для минерального моторного масла Lukoil-Super 15W-40 (таблица 1).

Диаметральный зазор выбирался из расчета его увеличения с номинального до граничного значения по мере израсходования ресурса подшипника.

Диаметры валов выбирались из конструктивных особенностей турбокомпрессоров, определяемых геометрическими размерами основных деталей и максимальной частотой вращения вала турбины. Так, для проведения аналитических исследований выделены два среднестатистических диаметра валов:

- $d_{max} = 0,012$ м для турбокомпрессоров с максимальными частотами вращения вала от 100 до 125 тыс. мин^{-1} ,

Таблица 1

Исходные данные

Параметр	Численные значения							
Температура T , °C	0	20	40	60	80	100	120	140
Кинематическая вязкость γ , мм ² /с	1000	215	70	26	18	8	5	3
Плотность ρ^* , кг/м ³	908	893	878	863	848	833	818	803
Динамическая вязкость $\mu_{эф}$, Па·с	0,9	0,19	0,061	0,022	0,015	0,0066	0,0041	0,0024

* Плотность рассчитывалась в соответствии с выражением $\rho = 0,908 - 7,5 \cdot 10^{-4} T$, которое получено на основе экспериментальных данных [17].

например, ТКР-6 (01), ТКР7–00.1 (700–1118010), К-27–543–01 и др., с рабочим диапазоном 90–100 тыс. мин^{–1};

– $d_{\min} = 0,006$ м для турбокомпрессоров с максимальными частотами вращения вала от 150000 мин^{–1} и выше, например, ТКР-4, ТКР5, Garret G25–555, Garret 15445 и др., с рабочим диапазоном 160000–180000 мин^{–1}.

Моделирование характера изменения численного значения критерия Рейнольдса выполнялось в программном продукте Excel в соответствии с выражением (4). Для визуализации границы перехода масла в турбулентное состояние и определения режимов и условий нахождения сохранения такого состояния строились поверхности отклика.

Для определения толщин вероятного пограничного слоя использовано выражение (3). В качестве характерного линейного размера обтекаемого тела использовалось численное значение радиуса закругления неровности поверхности r . Численные значения параметра r определяются по результатам профилографирования рабочих поверхностей шейки вала и втулки. В данной работе для теоретических расчетов использованы значения $r_1 = 30$ мкм, например, для поверхности стального вала и $r_2 = 13$ мкм, например, для поверхности бронзовой втулки, соответствующие доводке цилиндрических поверхностей при $R_{z\max} = 1,2$ мкм и внутреннему шлифованию при $R_{z\max} = 4,72$ мкм.

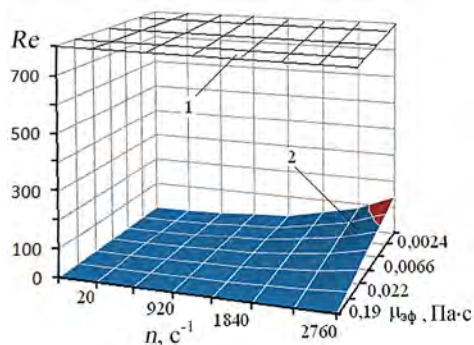
Поверхности отклика для критерия Рейнольдса с диапазоном частот вращения вала $n = 20$ –2760 с^{–1} (1200–165600 мин^{–1}) приведены на рис. 2. Режимы работы турбокомпрессора, при которых сохраняется турбулизация масла, приведены в таблицах 2, 3.

Численные значения толщины пограничного слоя приведены в табл. 4.

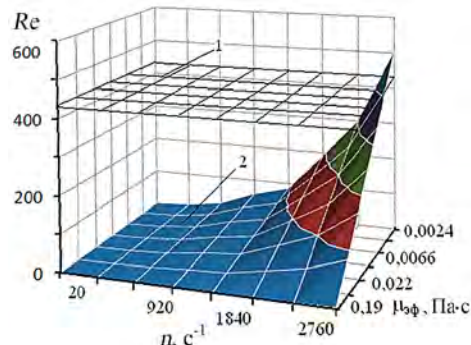
При эксплуатационном зазоре $S = 16$ мкм независимо от диаметров вала во всех диапазонах изменения вязкости и частоты вращения вала турбулизация масла не возникает. Толщина пограничного слоя изменяется на поверхности с большим радиусом неровностей от 1,8 до 9,5 мкм, с меньшим радиусом неровности от 0,78 до 4,1 мкм. Это предопределяет благоприятные условия для протекания процессов взаимодействия компонентов масла между собой и поверхностями, особенно при малых скоростях вращения вала.

При эксплуатационном зазоре $S = 58$ мкм в сопряжении с диаметром вала $d = 0,006$ м турбулизация масла проявляется на частотах его вращения с 138000 мин^{–1} и вязкости масла 0,0024 Па·с, что соответствует температуре 140 °C, по 193000 мин^{–1} и выше, с диапазоном вязкости от 0,0041 до 0,0024 Па·с, что соответствует диапазону температур от 130 до 140 °C. В этих диапазонах рабочих параметров масляного слоя подшипников ТКР резко уменьшается контактный слой смазки, что приводит к образованию эффекта

а)



б)



в)

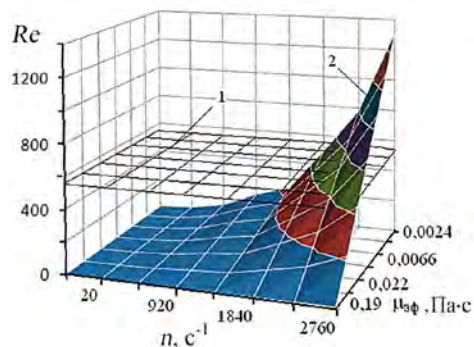


Рис. 2. Поверхности отклика для критерия Рейнольдса

1 – граница перехода в турбулентное состояние; 2 – поверхность отклика;

а – при $d = 0,006$ м; $S = 16$ мкм; б – при $d = 0,006$ м; $S = 58$ мкм; в – при $d = 0,012$ м; $S = 75$ мкм

Таблица 2

Численные значения параметров при диаметре вала $d = 0,006$ м

Зазор S , мкм	Динамическая вязкость μ , Па·с	Частота вращения вала n , мин ⁻¹	Критерий Re
16	0,0024–0,9	1200–246000	799*
	$Re_{\max} = 206$		$Re_i < 799$
58	0,0066–0,9	1200–246000	420*
	0,0041–0,9	1200–165000	$Re_i < 420$, $Re_{\max} = 749$
	0,0024–0,0041**	138000–246000**	$Re_i > 420$
75	0,0066–0,9	1200–246000	369*
	0,0041–0,9	1200–138000	$Re_i < 369$, $Re_{\max} = 969$
	0,0024–0,0041**	110400–246000**	$Re_i > 369$

* Граничное значение критерия Re перехода к турбулизации и ниже – максимальное при турбулизации.

** Значения при турбулизации.

Таблица 3

Численные значения параметров при диаметре вала $d = 0,012$ м

Зазор S , мкм	Динамическая вязкость $\mu_{\text{эф}}$, Па·с	Частота вращения вала n , с ⁻¹	Критерий Re
16	0,0024–0,9	20–4100	1131*
	$Re_{\text{max}} = 413$		$Re_i < 1131$
58	0,0066–0,9	1200–246000	594*
	0,0041–0,9	1200–138000	$Re_i < 594$, $Re_{\text{max}} = 1498$
75	0,0024–0,0041**	138000–246000**	$Re_i > 594$
	0,0015–0,9	1200–246000	522*
	0,0066–0,9	1200–138000	$Re_i < 522$, $Re_{\text{max}} = 1930$
	0,0024–0,0041**	138000–246000**	$Re_i > 522$

* Граничное значение критерия Re перехода к турбулизации и ниже – максимальное при турбулизации.

** Значения при турбулизации.

Таблица 4

Численные значения толщины граничного слоя δ , мкм

Зазор S , мкм	Диаметр $d = 0,006$ м		Диаметр $d = 0,012$ м	
	Радиус неровности $r_1 = 30$ мкм	Радиус неровности $r_2 = 13$ мкм	Радиус неровности $r_1 = 30$ мкм	Радиус неровности $r_2 = 13$ мкм
16	2,5–9,5*	1,1–4,1*	1,8–9,5*	0,78–4,1*
58	1,46–9,5	0,63–4,1	1,23–9,5	0,53–4,1
	1,33–1,46**	0,6–0,63**	0,94–1,23**	0,41–0,53**
75	1,56–9,5	1,41–4,1	1,31–9,5	0,57–4,1
	1,17–1,56**	0,44–0,5**	0,83–1,31**	0,36–0,57**

* Значения определены для диапазона критерия Re от 10 до $Re_{\text{гран}}$.

** Значения при турбулизации (для зазоров 58, 75 мкм в числителе значения при отсутствии турбулизации).

подгорания масла, образованию налета и шлама; ресурс снижается в от двух до десяти раз. Возможные варианты последствий: спекание рабочих поверхностей цапфы и подшипника, полное заклинивание вращающихся узлов ТКР. Толщины пограничных слоев в среднем составляют 1,4 мкм и 0,6 мкм, что в 1,7 и 1,8 раза меньше по сравнению с более благоприятными условиями. Значит, теоретический диапазон проявления турбулизации накладывается на возможный рабочий режим турбокомпрессоров, то есть возможны рассмотренные эффекты, заключающиеся в турбулизации потока масла, его разрывах,

кавитационных явлениях. В сопряжении с таким же зазором, с диаметром вала $d = 0,012$ м турбулизация проявляется при таких же вязкостях масла, начиная с частоты вращения вала 110400 мин⁻¹. Однако в таком диапазоне частот турбокомпрессоры с диаметром вала до 12 мм и более не работают. Поэтому рассматривать режим турбулизации нет необходимости.

При эксплуатационном зазоре $S = 75$ мкм в сопряжении с диаметром вала $d = 0,006$ м турбулизация проявляется: – на частотах вращения с 110400 мин⁻¹ и выше вязкость масла составляет 0,0024–0,0041 Па·с;

– на частоте 246000 мин^{-1} и вязкости масла $0,0066 \text{ Па} \cdot \text{с}$ температура составляет 100°C .

Толщины пограничных слоев уменьшаются в среднем на 6–13%. В данном случае теоретический диапазон проявления турбулизации не только накладывается на рабочий режим работы турбокомпрессора, но и расширяется в сторону уменьшения частоты вращения вала. Уменьшение пограничных слоев смазки, разрыв сплошности потока при эксплуатационном зазоре $S = 75 \text{ мкм}$ приводят к увеличению опасных диапазонов частот вращения ротора ТКР в рабочих диапазонах. По приблизительным расчетам это может привести к уменьшению ресурсных параметров в 1,1–1,6 раза по сравнению с функционированием ТКР с зазором $16,58 \text{ мкм}$.

В сопряжении с таким же зазором, но с диаметром вала $d = 0,012 \text{ м}$, турбулизация проявляется:

– с частоты 82800 мин^{-1} и вязкости масла $0,0024 \text{ Па} \cdot \text{с}$;

– с частоты 110400 и вязкости $0,0024$ – $0,0041 \text{ Па} \cdot \text{с}$.

Толщины пограничных слоев уменьшаются также в среднем на 6–13%. Для такой геометрии взаимодействия диапазон проявления турбулизации масла накладывается на рабочий режим работы турбокомпрессора.

Однако радиальные зазоры в подшипниках на эксплуатационных режимах работы турбокомпрессоров, обусловленные эффективностью течения

потоков масла, а также направлением и величиной радиальной нагружающей силы, неодинаковые и неравномерные по сечению.

Для оценки соотношений между толщинами пограничных слоев на поверхностях вала и втулки (подшипника) и толщиной смазочного слоя между ними на рабочих режимах турбокомпрессора в соответствии с выражением (1) произведены соответствующие расчеты (таблица 5). При этом использовано значение радиальной силы $N = 20 \text{ Н}$, нагружающей поверхности трения подшипника скольжения турбокомпрессора GT1544, рассчитанное в [7].

Анализ изменения полей толщины смазочного слоя в сопряжении и пограничных слоев на поверхностях трения вала и втулки (таблицы 3–5) указывает на следующее.

При эксплуатационных зазорах 58 и 75 мкм в сопряжении с диаметром вала $d = 0,006 \text{ м}$ возможность формирования устойчивых пограничных слоев на поверхности втулки и вала в зоне максимального сближения отсутствует. Это определяется тем, что среднестатистический диапазон толщины смазочного слоя при возможной турбулизации масла в четыре-пять раз меньше теоретического пограничного слоя на поверхности вала и в 1,5–2,5 раза на поверхности втулки. Более благоприятные условия для явно выражаемых толщин пограничных слоев, т.е. с «зазором», создаются при температуре масла менее 100°C . Зона работы с натягом создает

Таблица 5

Расчетная толщина смазочного слоя h_{\min}

Параметр	Условия: $d = 0,006$; $l = 0,015 \text{ м}$; $N = 20 \text{ Н}$							
	$n = 110400 \text{ мин}^{-1}$, $v_b = 34,66 \text{ м/с}$				$n = 165600 \text{ мин}^{-1}$, $v_b = 51,81 \text{ м/с}$			
$\mu_{\text{эф}}$, $\text{Па} \cdot \text{с}$	0,0024	0,0041	0,015	0,022	0,0024	0,0041	0,015	0,022
T , $^\circ \text{C}$	140	120	80	60	140	120	80	60
h_{\min} , мкм	0,21	0,36	1,33	1,95	0,3	0,54	1,99	2,9
	Условия: $d = 0,012$; $l = 0,025 \text{ м}$; $N = 20 \text{ Н}$							
	$n = 82800 \text{ мин}^{-1}$, $v_b = 51,99 \text{ м/с}$				$n = 110400 \text{ мин}^{-1}$, $v_b = 51,99 \text{ м/с}$			
h_{\min} , мкм	1,06	1,8	6,66	9,7	1,4	2,43	8,89	13,8

опасность в виде снижения ресурсных параметров узлов ТКР в 1,1–2 раза.

При эксплуатационных зазорах 58 и 75 мкм в сопряжении с диаметром вала $d = 0,012$ м формирование устойчивых пограничных слоев на поверхности втулки и вала в зоне максимального сближения возможно. Это определяется тем, что среднестатистический диапазон толщины смазочного слоя в зоне максимального сближения примерно равен суммам возможных толщин пограничных слоев на поверхности вала и втулки. Такое соотношение представляется «переходным», с явным «зазором» при температуре масла менее 110 °С. Зону работы выше 110 °С можно назвать переходной, а наступление турбулизации более вероятным.

В целом полученные результаты указывают, что гидравлическая напряженность формируемых слоев из компонентов моторного масла на поверхностях вала и втулки может изменяться в зависимости от степени его турбулизации и геометрических параметров контакта. Опасность для масла здесь заключается в выработке присадок, перегреве слоев масла или по отношению к втулке и валу – ускоренному формированию износа. Это обуславливает характер протекания процессов формирования устойчивых к разрушениям связей между элементарными многоатомными молекулами масла и активными центрами – ионами металлов материалов втулки и вала. Временная составляющая контактного взаимодействия является определяющей для характера

движения компонентов моторного масла при смене режимов силового и скоростного нагружения его слоев. Ее необходимо учитывать при прогнозировании поверхностных эффектов в случае применения, например, ремонтно-восстановительных препаратов с целью улучшения технического состояния восстанавливаемых объектов.

Рассмотренные подходы позволили выполнить расчетную оценку возможных эксплуатационных режимов и условий, при которых в подшипниках скольжения вала турбокомпрессора проявляется турбулизация течения потока моторного масла, что дало возможность определить толщины вероятных пограничных слоев на поверхностях вала и втулки и сравнить их с толщиной возможного смазочного слоя по условиям нагружения. Установлено, что пограничные слои в зависимости от рассмотренных параметров могут формироваться разной толщины и соотноситься с «натягом», «зазором» и быть «переходными».

Разработанная методика может быть применена для оценки состояния течения моторного масла в прогнозируемом диаметральном зазоре любого турбокомпрессора, а полученные при этом результаты определяют необходимость совершенствования способов обеспечения надежности смазывания подшипников конкретного турбокомпрессора. Также на основании полученных данных можно смоделировать эффекты ускорения износа, уменьшения надежности пар трения, наступления нежелательных режимов трения. ■

Литература

1. Глемба К. В., Гриценко А. В., Ларин О. Н. Диагностирование коренных и шатунных подшипников кривошипно-шатунного механизма // Вестник ЮУрГУ, 2014. Т. 14. № 1. С. 63–71. ISSN 1990-8504.
2. Плаксин А. М., Гриценко А. В., Бурцев А. Ю., Глемба К. В., Лукомский К. И. Повышение надежности турбокомпрессоров автотракторной техники применением гидроаккумулятора // Вестник КрасГАУ, 2014. № 8. С. 176–180. ISSN 1819-4036.
3. Бурцев А. Ю., Плаксин А. М., Гриценко А. В. Повышение эксплуатационной надежности турбокомпрессоров дизелей тракторов // АПК России, 2015. Т. 72 (1). С. 23–25. ISSN 2587-8824.
4. Плаксин А. М., Гриценко А. В., Бурцев А. Ю., Глемба К. В. Способ обеспечения работоспособности турбокомпрессора дизелей применением автономного смазочно-тормозного устройства // Вестник КрасГАУ, 2015. № 6. С. 89–94. ISSN 1819-4036.

5. Гриценко А. В., Куков С. С. Методика анализа диагностической информации при диагностировании подшипников кривошипно-шатунного механизма по параметрам давления в центральной масляной магистрали // Вестник ЧГАА, 2010. Т. 57. С. 57–62.
6. Плаксин А. М., Гриценко А. В., Бурцев А. Ю. Результаты экспериментальных исследований времени выбега ротора турбокомпрессора ТКР-11 // Вестник ЧГАА, 2014. Т. 70. С. 130–135.
7. Мануйлов Э. В., Кубич В. И. Газодинамическая оценка нагружения и режимов смазки подшипника агрегата турбонаддува ДВС : Междун. науч.-практ. конф. «Научные перспективы XXI века. Достижения и перспективы нового столетия». Новосибирск : МНИ «Education», 2015. № 8 (15). С. 77–80.
8. Курликов Д. А., Кубич В. И. Вплив явища турбулізації моторного масла на ресурс роботи ДВЗ (Влияние турбулизации моторного масла на ресурс работы ДВС) : наук.-практ. конф. «Проблеми енергоресурсозбереження в промисловому регіоні. Наука і практика». Маріуполь : ДВНЗ «ПДТУ», 2017. С. 37–38.
9. Курликов Д. А., Кубич В. И. Уравнение регрессии критерия Рейнольдса для сопряжений скольжения ДВС : Міжн. наук.-практ. конф. «Сучасні енергетичні установки на транспорті, технології та обладнання для їх обслуговування». Херсон : ХДМА, 2017. С. 236–240.
10. Zadorozhnaya E. A., Cherneyko S. V., Kurochkin M. I., Lukovich N. A. A Study the Axial and Radial Rotor Stability of the Turbo Machinery with Allowance the Geometry of the Surface and Properties of the Lubricating Fluid // Tribology in Industry, 2015. Vol. 37. № 4. P. 455–463. URL: <http://www.tribology.rs/journals/2015/2015-4/9.pdf> (дата обращения: 30.12.2018).
11. Mukhortov I., Zadorojnaya E. and Levanov I. Multimolecular adsorption lubricants and its integration in the theory fluid friction // Proceedings of the STLE Annual Meeting and Exhibition, 2013. P. 147–149.
12. Mukhortov I., Zadorojnaya E., Levanov I. and Pochkaylo K. The influence of poly-molecular adsorption on the rheological behaviour of lubricating oil in a thin layer // FME Transactions, 2015. Vol. 43. № 3. P. 218–222.
13. Zhang C. TEHD Behavior of Non-Newtonian Dynamically Loaded Journal Bearings in Mixed Lubrication for Direct Problem // Journal of Tribology, 2002. Vol. 124, № 1. P. 178–185. URL: https://mafiadoc.com/tribo-lyon-2013_59affca91723dddbdc5605b01.html (дата обращения: 18.12.2018).
14. Дмитриченко М. Ф., Мнацаканов Р. Г., Микосянчик О. О. Триботехніка та основи надійності машин / Навчальний посібник (Триботехника и основы надежности машин / Учебное пособие). Київ : Інформавтодор, 2006. 216 с.
15. Воронін С. В. Вплив фазового стану присадки на товщину рідкокристалічних шарів граничної плівки : збірник наукових праць (Влияние фазового состояния присадки на толщину жидкокристаллических слоев предельной пленки : сборник научных трудов) УкрДАЗТ. Харків : УкрДАЗТ, 2015. Вип. 151. Т. 2. С. 56–62.
16. Сивухин Д. В. Механика. М. : Наука, 1979. Т. 1. С. 500–506.
17. Процессы и аппараты химических технологий : новый справочник химика и технолога. СПб : АНО НПО «Профессионал», 2004. Ч. 1. 848 с. ISBN 5-98371-021-4.

Literature

1. Glemba K. V., Gritsenko A. V., Larin O. N. Diagnostics of main and crank bearings of the crank and connecting-rod assembly // Herald of SUrSU [Diagnostirovanie korennyh i shatunnyh podshipnikov krivoshipno-shatunnogo mekhanizma // Vestnik YuUrGU], 2014. V. 14. № 1. P. 63–71. ISSN 1990-8504.
2. Plaksin A. M., Gritsenko A. V., Burtsev A. Yu., Glemba K. V., Lukomsky K. I. Increase of reliability of turbocompressors of motor vehicle and tractor machinery by using hydroaccumulator // Herald of KrasSAU [Povyshenie nadezhnosti turbokompressorov avtotraktornoj tekhniki primeneniem gidroakkumulyatora // Vestnik KrasGAU], 2014. № 8. P. 176–180. ISSN 1819-4036.
3. Burtsev A. Yu., Plaksin A. M., Gricenko A. V. Increase of operational reliability of turbocompressors of tractor diesels // Russia's APC, 2015 [Povyshenie ekspluatacionnoj nadezhnosti turbokompressorov dizelej traktorov // APK Rossii, 2015]. V. 72 (1). P. 23–25. ISSN 2587-8824.

4. Plaksin A. M., Gritsenko A. V., Burtsev A. Yu., Glemba K. V. Means to provide working capacity of turbocompressor diesels by application of autonomous lubricating braking unit // Herald of KrasSAU, 2015 [Sposob obespecheniya rabotosposobnosti turbokompressora dizelej primeneniem avtonomnogo smazочно-tормозного ustrojstva // Vestnik KrasGAU, 2015]. № 6. P. 89–94. ISSN 1819-4036.
5. Gritsenko A. V., Kukov S. S. Methods of diagnostical information analysis in diagnosis of bearings of the crank and connecting-rod assembly by pressure parameters in the central oil mainline // Herald of ChSAA, 2010 [Metodika analiza diagnosticheskoy informacii pri diagnostirovanii podshipnikov krivoshipno-shatunnogo mekhanizma po parametram davleniya v central'noj maslyanoj magistrali // Vestnik ChGAA, 2010]. V. 57. P. 57–62.
6. Plaksin A. M., Gritsenko A. V., Burtsev A. Yu. Results of experimental studies of TKR-11 turbocompressor rotor rundown time // Herald of ChSAA, 2014 [Rezultaty eksperimental'nyh issledovanij vremeni vybega rotora turbokompressora TKR-11 // Vestnik ChGAA, 2014]. V. 70. P. 130–135.
7. Manuilov E. V., Cubich V. I. Gas-dynamic assessment of loading and lubricating modes of boost-pressure charge assembly bearing: internat. Scient.and pract.conf. «Scientific prospects of XXI century. Achievements and challenges of the new century» [Gazodinamicheskaya ocenka nagruzheniya i rezhimov smazki podshipnika agregata turbonadduva DVS: mezhdun. nauch.-prakt. konf. «Nauchnye perspektivy XXI veka. Dostizheniya i perspektivy novogo stoletiya»]. Novosibirsk : MNI «Education», 2015. № 8 (15). P. 77–80.
8. Kurlikov D. A., Cubich V. I. Влияние турбулизации моторного масла на ресурс работы ДВС Influence of turbulization of engine oil on operational life of an ICE [Vliyanie turbulizacii motornogo masla na resurs raboty DVS]: scient. and pract. conf. «Problems of resource energy conservation in industrial region. Science and practice». Mariupol : DVNZ PDTU, 2017. P. 37–38.
9. Kurlikov D. A., Cubich V. I. Regression equation of Reynolds criterion for ICE sliding links [Uravnenie regressii kriteriya Rejnol'dsa dlya sopryazhenij skol'zheniya DVS]: Intern. Scient. and pract. conf. «Modern power units on transport, technology for their maintenance». Kherson : KhDMA, 2017. P. 236–240
10. Zadorozhnaya E. A., Cherneyko S. V., Kurochkin M. I., Lukovich N. A. A Study the Axial and Radial Rotor Stability of the Turbo Machinery with Allowance the Geometry of the Surface and Properties of the Lubricating Fluid // Tribology in Industry, 2015. Vol. 37. № 4. P. 455–463. URL: <http://www.tribology.rs/journals/2015/2015-4/9.pdf> (reference date: 30.12.2018).
11. Mukhortov I., Zadorozhnaya E. and Levanov I. Multimolecular adsorption lubricants and its integration in the theory fluid friction // Proceedings of the STLE Annual Meeting and Exhibition, 2013. P. 147–149.
12. Mukhortov I., Zadorozhnaya E., Levanov I. and Pochkaylo K. The influence of poly-molecular adsorption on the rheological behaviour of lubricating oil in a thin layer // FME Transactions, 2015. Vol. 43. № 3. P. 218–222.
13. Zhang C. TEHD Behavior of Non-Newtonian Dynamically Loaded Journal Bearings in Mixed Lubrication for Direct Problem // Journal of Tribology, 2002. Vol. 124, № 1. P. 178–185. URL: https://mafiadoc.com/tribo-lyon-2013_59affca91723ddbdc5605b01.html (reference date: 18.12.2018).
14. Dmitrichesko M. F., Mnatsakanov R. G., Mikosyanchick O. O. Triboengineering and fundamentals of operational reliability of machines / Elementary guide [Tribotekhnika i osnovy nadezhnosti mashin / Uchebnoe posobie]. Kiev: Informavtodor, 2006. 2016 p.
15. Voronin S. V. Influence of phase state of the additive on the thickness of liquid crystal layers of limiting film: collection of scientific papers // [Vliyanie fazovogo sostoyaniya prisadki na tolshchinu zhidkokristallicheskih sloev predel'noj plenki: sbornik nauchnyh trudov] UkrDAZT, Kharkiv: UkrDAZT, 2015. Issue 151. V. 2. Pp. 56–62.
16. Sivukhin D.V. Mechanics [Mekhanika]. M.: Science, 1979. V. 1. P. 500–506.
17. Processes and apparatuses of chemical technology: a chemist and technologist's new reference book [Processy i apparaty himicheskikh tekhnologij : novyj spravochnik himika i tekhnolog]. SPb : ANO NPO «Professional», 2004. 848 p. ISBN 5-98371-021-4.

Статья сдана в редакцию 10 января 2019 года

УДК 629.4.027; 620.199

А. В. Якушев, Д. В. Расщепкина, А. А. Петров

Определение циклической вязкости разрушения стали 20ГФЛ на надрессорной балке тележки грузового вагона при стационарном нагружении

UDC 629.4.027; 620.199

A. V. Yakushev, D. V. Raschepkina, A. A. Petrov

Evaluation of 20ГФЛ steel destruction damping capacity on freight wagon bogie truck bolster in steady-state loading

Аннотация

В статье описана методика проведения опытов по определению коэффициента вязкости разрушения литой надрессорной балки тележки грузового вагона с усталостной трещиной при статическом нагружении. В ходе эксперимента пророщена начальная усталостная трещина от инициирующего надреза, выполненного в наиболее нагруженной зоне балки – нижнем поясе. Пророщена трещина с установленным шагом роста под действием циклической нагрузки от исходной до предельной длины. Произведена наклейка тензорезисторов на установленном расстоянии от концов трещины, зарегистрированы сигналы от датчиков при статическом нагружении. По откликам, с учетом полученного значения модуля упругости по испытаниям образцов из исследуемой балки, определены напряжения в окрестности концов трещины для каждой итерации. Рассчитаны коэффициенты интенсивности напряжений (КИН) для каждого шага приращения длины трещины. По критерию перехода балки в предельное состояние определено значение коэффициента вязкости разрушения для литой надрессорной балки из стали 20ГЛ. Построена зависимость коэффициента вязкости разрушения от срока службы надрессорной балки. Выполнен прогноз срока службы литых несущих деталей тележки грузового вагона с усталостной трещиной, учитывающий деградационные свойства стали 20ГЛ.

Ключевые слова: излом, трещина, коэффициент интенсивности напряжений, коэффициент вязкости разрушений, надежность, надрессорная балка, тележка грузового вагона.

DOI: 10.20291/2079-0392-2019-1-40-46

Annotation

The article describes methods of conducting experiments to evaluate destruction damping capacity of a freight wagon bogie moulded truck bolster with a fatigue crack in static loading.

An initial fatigue crack from a triggering cut in the most heavily loaded bolster zone – the lower flange – was grown during the experiment. The crack is grown with a fixed growth step under the force of cyclic load from original to maximum permissible length. Mounting of resistive strain sensors is performed at a fixed distance from the crack edges, signals from sensors are registered at static loading.

According to feedback, with consideration of the received value of resilience by testing of the samples from the studied bolster, tension in outskirts of crack edges was defined for each iteration. Coefficients of tension intensity (CTI) for each step of crack length growth are calculated.

According to the criterion of transition of a bolster into maximum permissible condition, destruction damping capacity coefficient for moulded truck bolster made of 20ГЛ steel is found. Dependency of destruction damping capacity coefficient on the truck bolster service life is constructed. The service life prognosis for freight wagon bogie moulded load-carrying parts with a fatigue crack is performed which takes into account 20ГЛ steel degradation features.

Key words: rupture, crack, tension intensity coefficient, destruction damping capacity coefficient, reliability, truck bolster, freight wagon bogie.

DOI: 10.20291/2079-0392-2019-1-40-46

Статья рекомендована к публикации К.М. Колясовым, канд. техн. наук, доцентом Уральского государственного университета путей сообщения. E-mail: Kkolyasov@usurt.ru.

Алексей Вячеславович Якушев, канд. тех. наук, доцент; кафедра «Вагоны и вагонное хозяйство» Петербургского государственного университета путей сообщения императора Александра I (ПГУПС), Санкт-Петербург, Россия. E-mail: av-yakushev@ya.ru.

Дарья Владимировна Расщепкина, аспирант; кафедра «Вагоны и вагонное хозяйство» Петербургского государственного университета путей сообщения императора Александра I (ПГУПС); Санкт-Петербург, Россия. E-mail: Rasschepkinadaria7742@mail.ru.

Антон Анатольевич Петров, аспирант; кафедра «Вагоны и вагонное хозяйство» Петербургского государственного университета путей сообщения императора Александра I (ПГУПС); Санкт-Петербург, Россия. E-mail: gn.petrov.anton@yandex.ru.

The article is recommended for publishing by K.M. Kolyasov, Candidate of technical science, Associate Professor, Ural state university of railway transport; E-mail: Kkolyasov@usurt.ru.

Aleksey Vyacheslavovich Yakushev, Candidate of technical science, Associate Professor; Railway Cars and Rolling Stock Chair, Emperor Alexander 1 Petersburg state university of railway transport (PSURT), St Petersburg, Russia. E-mail: avyakushev@ya.ru.

Daria Vladimirovna Rasschepkina, post graduate student; Railway Cars and Rolling Stock Chair, Emperor Alexander 1 Petersburg state university of railway transport (PSURT), St Petersburg, Russia. E-mail: Rasschepkinadaria7742@mail.ru.

Anton Anatol'evich Petrov, post graduate student, Railway Cars and Rolling Stock Chair, Emperor Alexander 1 Petersburg state university of railway transport (PSURT), St Petersburg, Russia. E-mail: gn.petrov.anton@yandex.ru.

ГОСТ 32400–2013 «Требования по обеспечению эксплуатации рамы боковой и балки наддрессорной после возникновения усталостной трещины без перехода в предельное состояние (излом) до очередного планового ремонта вагона» поставил перед разработчиками задачу по прогнозированию стадии развития усталостной трещины в данных деталях. В расчетах длительности развития усталостной трещины ограничением ее роста служит коэффициент вязкости разрушения стали K_{fc} . В [1] имеются опытные значения коэффициента интенсивности напряжений (КИН) $K_I = 90 \text{ МПа}\sqrt{\text{м}}$, установленное по результатам одноосных испытаний наддрессорной балки с усталостной трещиной длиной 90 мм после пяти лет эксплуатации, а также значения $K_{fc} = 78 \text{ МПа}\sqrt{\text{м}}$ и $K_{fc} = 57 \text{ МПа}\sqrt{\text{м}}$, полученные после испытаний образцов на внецентренное растяжение, вырезанных из нижнего пояса наддрессорных балок после 13 и 25 лет эксплуатации соответственно [2]. Однако в стендовых испытаниях наддрессорных балок от действия вертикальных нагрузок установлено, что потеря несущей способности может наступить после достижения усталостной трещиной длины 200 мм и более. Поэтому значение коэффициента вязкости разрушения [K_{fc}] стали подлежит определению на натурных наддрессорных балках с предельными длинами усталостных трещин.

В настоящей работе определяется коэффициент вязкости разрушения K_{fc} стали на натурной наддрессорной балке с предельной длиной усталостной трещины.

Для этого необходимо сделать сквозной поперечный пропил в наиболее нагруженной зоне нижнего пояса наддрессорной балки, установить наддрессорную балку в динамическую испытательную машину МДИ-2000 и прорастить исходную усталостную трещину от пропила при стационарном нагружении, с установленным шагом роста усталостной трещины от исходного значения до предельного определить поперечные

деформации вблизи вершины усталостной трещины тензометрическим методом, вычислить текущие значения коэффициентов интенсивности напряжений (КИН), определить коэффициент вязкости разрушения K_{fc} стали на натурной наддрессорной балке с предельной длиной усталостной трещины, сравнить полученные результаты с имеющимися и верифицировать критериальную кривую циклической вязкости разрушения литых сталей класса 20Л [3] для использования в расчетах пробега грузового вагона после возникновения усталостной трещины в наддрессорной балке или боковой раме тележки до перехода в предельное состояние (излом).

Опыты проводились на литой наддрессорной балке литейный номер 64032 тележки модели 18-100 грузового вагона (ПАО «Кременчугский сталелитейный завод»). Марка литой стали – 20 ГФЛ по ГОСТ 32400–2013, определена химическим анализом фрагмента образца, отделенного от балки. Год выпуска, срок эксплуатации, историю нагружения установить не удалось (нет маркировки, отсутствует необходимая информация). Средние значения механических свойств стали 20ГФЛ рассчитаны по результатам испытаний четырех образцов по ГОСТ 1497, вырезанных из малонагруженных зон наддрессорной балки после испытаний, и составили: $\sigma_B = 536 \text{ МПа}$, $\sigma_{0,2} = 360 \text{ МПа}$, модуль упругости $E = 1,9 \cdot 10^5 \text{ МПа}$, коэффициент поперечной деформации $\mu_0 = 0,3$.

До начала опытов в центре нижнего пояса наддрессорной балки электромеханическим лобзиком с ножовочным полотном толщиной 1,2 мм выполнялись симметричные радиальные пропилы от предварительно просверленного сквозного отверстия диаметром 8,5 мм. Пропилы располагались по диаметру отверстия, в поперечном сечении балки и моделировали сквозную трещину длиной 27 мм. Исходная усталостная трещина длиной $l_0 = 41 \text{ мм}$ от пропилов получена циклическим нагружением балки по схеме трехточечного изгиба при

стационарном нагружении с параметрами: средняя нагрузка – $\bar{F} = 47$ тс, амплитуда – $F_a = 35$ тс, частота – $f = 5,5$ Гц, $n_0 = 1,21 \cdot 10^5$ циклов. Вырачивание исходной усталостной трещины проводилось на сервогидравлической динамической испытательной машине МДИ-2000 (рис. 1) в ФГБОУ ВО ПГУПС. Одна из опор балки имела две степени свободы, другая – три. Вертикальная нагрузка прикладывалась через шарнир с тремя степенями свободы. Контур усталостной трещины выявлялся методом керосиновой пробы.

Балка с выращенной исходной усталостной трещиной длиной l_0 снималась с испытательной машины МДИ-2000, переворачивалась в обратное положение. Концы трещины зачищались

шлифовальным кругом до шероховатости не хуже $R_a = 1,25$ мкм. Перпендикулярно трещине наклеивался фольговый тензорезистор с базой 1 мм на расстоянии $r_0 = 3,5$ мм от конца трещины до центра измерительной решетки тензорезистора так, чтобы он измерял деформации перпендикулярно трещине. Второй тензорезистор наклеивался параллельно первому на центровочном расстоянии $r_0^{\text{mid}} = 5$ мм. Ширина измерительной решетки тензорезистора – 2,5 мм. Датчики наклеивались с двух концов трещины (рис. 2), место наклейки датчиков обезжиривалось растворителем и высушивалось. Использовался клей на основе цианоакрилата марки «Henkel Момент-супергель».



Рис. 1. Схема нагружения надрессорной балки в испытательной машине МДИ-2000



Рис. 2. Схема наклейки датчиков в окрестности концов исходной усталостной трещины по нижнему поясу надрессорной балки

Балка с наклеенными датчиками устанавливалась в испытательную машину МДИ-2000, припаивались провода с разъемами (рис. 2), с помощью которых датчики подключались к тензометрической станции МПС 200; выполнялся прогрев проводов в течение 30 мин при включенной станции.

После прогрева всей измерительной системы и снижения электромагнитных шумов до минимума проводилось пробное статическое нагружение балки вертикальной нагрузкой $F_{\max} = 82$ тс с регистрацией на мониторе компьютера станции МПС 200 сигналов от датчиков. Устойчивость показаний сигналов от датчиков проверялась повторением цикла «нагрузка-разгрузка» три-пять раз. Полученные электрические сигналы с датчиков переводились в относительную деформацию ϵ_0^y в программном комплексе МПС-200.

Выращивание усталостной трещины длиной

$$l_i = l_0 + \sum_{i=1}^m \Delta l_i, \quad (1)$$

где i – номер шага; m – общее количество шагов на величину Δl_i , выполнялось при Δn_i циклах без снятия балки с машины МДИ-2000 после статических испытаний при тех же параметрах стационарного нагружения, что и для нанесения исходной усталостной трещины длиной l_0 . Общее число циклов нагружений балки определяли по формуле:

$$n_i = n_0 + \sum_{i=1}^m \Delta n_i. \quad (2)$$

Величины Δl_i и Δn_i фиксировались после разрыва трещиной всех наклеенных датчиков с одной из сторон, остановки циклического нагружения, снятия балки с испытательной машины и ее переворота.

С ростом числа итераций и l_i контролировался размер пластической зоны у концов трещины в статическом нагружении балки по показаниям большего количества датчиков, наклеенных параллельно трещине на расстоянии l_0^{mid} :

$$r_i = r_0 + \Delta r_i, \quad (3)$$

где Δr_i – приращение пластической зоны вблизи конца трещины на i -м шаге.

Процедуры повторялись до потери несущей способности балки, что означало переход в предельное состояние (излом). Фиксировались конечные значения: $l_m, n_m, r_m, \sigma_m^y$.

После испытаний балка разрезалась на две части, изучалось наличие литейных дефектов в изломе, наличие разнотолщинности стенок в одном поперечном сечении, уровень механических свойств стали балки.

По закону Гука, с учетом полученного значения модуля упругости на образцах из исследуемой балки, рассчитывались напряжения σ_i^y ($i = 0, m$) для каждой итерации в местах установки датчиков, осредненные по площади измерительной решетки датчиков. Наибольшее из полученных значений σ_i^y использовалось в расчетах КИН.

С использованием критерия Ирвина [4] для расчета КИН

$$K_I^i = \sigma_i^y \sqrt{2\pi l_i}, \quad i = 0, m \quad (4)$$

и критерия перехода балки в предельное состояние

$$K_I^m = K_{fc} \geq [K_{fc}]_{\text{лет}} \quad (5)$$

рассчитывалось значение циклической вязкости разрушения стали для предельной длины усталостной трещины l_m .

Далее строилась критериальная кривая циклической вязкости разрушения сталей класса 20Л в зависимости от срока службы в годах.

В таблице 1 приведены результаты опытов и рассчитанные с помощью формул (1)–(4) опытные значения. Анализ результатов в таблице 1 показывает, что потеря несущей способности балки наступила после достижения усталостной трещиной предельной длины $l_m = l_{i=10} = 220$ мм, $K_I^{i=10} = 79$ МПа $\sqrt{\text{м}}$ за $n_{i=10} = 3,6 \cdot 10^5$ циклов.

По критериальной кривой (сплошная линия, рис. 3) можно определить

срок службы T исследованной наддрессорной балки в годах.

Сплошная линия (рис. 3) построена по значениям коэффициентов вязкости разрушения сталей класса 20Л [1, 2] и продлена до срока службы наддрессорной балки (32 года) пунктирной линией. Таким образом, значения КИН, лежащие выше кривой (сплошная линия), соответствуют критерию (5) перехода балки в предельное состояние

(излом). Если КИН находятся ниже кривой (сплошная линия), то наблюдается устойчивый рост усталостной трещины. Штрихпунктирная линия построена по данным таблицы 1. Пересечение сплошной и штрихпунктирной линий означает срок службы исследованной балки (12,5 лет), эквивалентный по повреждаемости сумме накопленных повреждений в ходе вероятной ее эксплуатации до начала опытов и повреждений

Таблица 1

Коэффициенты интенсивности напряжений в зависимости от длины усталостной трещины по нижнему поясу наддрессорной балки

i	Δl_i , мм	l_i , мм	$\Delta n_i \cdot 10^5$, циклов	$n_i \cdot 10^5$, циклов	Δr_i , мм	r_i , мм	σ_i^y , МПа	K_i^i , МПа $\sqrt{м}$
1	0	41	0	2,21	0	3,5	155	23
2	5,5	46,5	0,14	2,35	0,5	4	162	26
3	12,5	59	0,13	2,48	3,5	7,5	148	32
4	17	76	0,28	2,76	0	7,5	180	39
5	25	101	0,23	2,99	0	7,5	213	46
6	21	122	0,19	3,18	1,0	8,5	242	56
7	23	145	0,15	3,33	0	8,5	260	60
8	24	169	0,1	3,43	0	8,5	266	61
9	26	195	0,09	3,52	1	9,5	255	62
10	25	220	0,08	3,60	0	9,5	324	79

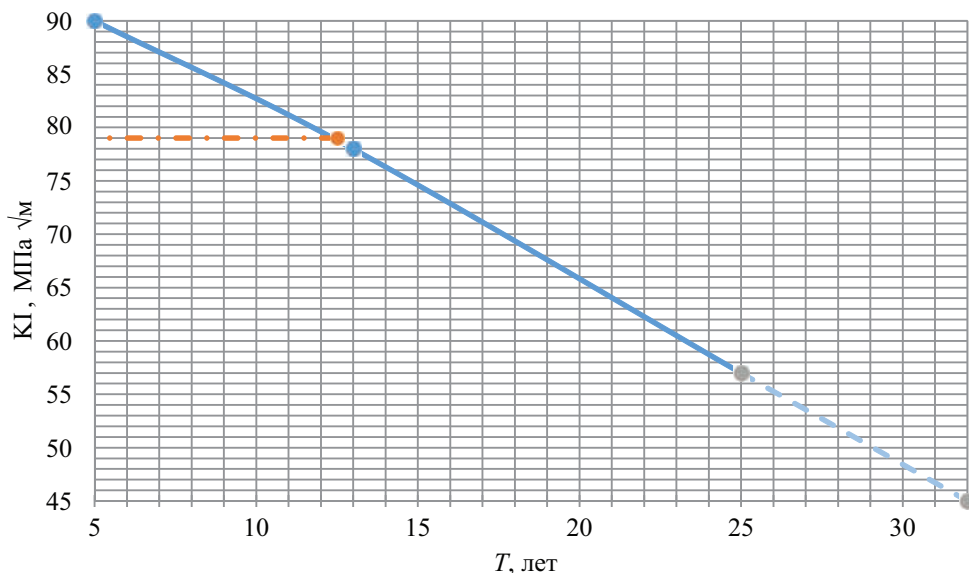


Рис. 3. Зависимость коэффициента вязкости разрушения от срока службы наддрессорной балки (сплошная и пунктирная линии — критериальная кривая, штрихпунктирная линия — опытное значение при $l_m = l_{i=10} = 220$ мм для исследуемой балки)

после $n_{i=10} = 3,6 \cdot 10^5$ циклов нагружений во время опытов на динамической испытательной машине, что вполне вероятно. В общем случае (рис. 3) увеличение срока службы балки приведет к потере несущей способности при меньших значениях КИН и наоборот.

Полученные опытные результаты имеют большое практическое значение, поскольку верифицируют ранее установленные в [1, 2] коэффициенты вязкости разрушения для прогнозирования срока службы надрессорной балки с учетом стадии развития усталостной трещины, позволяют установить предельную длину усталостной трещины [5, 6], вести пошаговый расчет КИН с ростом усталостной трещины, установить совместимость фактической потери несущей способности надрессорной балки с критерием (5).

Полученные результаты позволяют сформулировать следующие выводы:

1) определенный опытным путем коэффициент вязкости разрушения

$K_I^{i=10} = 79 \text{ МПа}\sqrt{\text{м}}$ надрессорной балки с изменением длины усталостной трещины от 41 мм до 220 мм сходится с результатами других исследователей [1, 2],

2) построенная зависимость коэффициента вязкости разрушения от срока службы несущих литых деталей тележек позволила прогнозировать эквивалентный срок службы исследуемой надрессорной балки с усталостной трещиной предельной длины 220 мм,

3) верифицированная зависимость коэффициента вязкости разрушения от срока службы несущих деталей тележек из сталей класса 20Л позволяет вести расчеты для оценки работоспособности надрессорных балок и боковых рам тележек грузовых вагонов в эксплуатации на стадии «возникновение усталостной трещины – предельное состояние (излом)», разрабатывать технические решения для ее повышения с целью обеспечения эксплуатации до очередного планового ремонта вагона. ■

Литература

- Северина Т. П. Определение коэффициента интенсивности напряжений при наличии трещины в нижнем поясе надрессорной балки грузового вагона // Вестник ВНИИЖТ. 1990. № 1. С. 32–34. ISSN 2223-9731.
- Северина Т. П. Исследование трещиностойкости сталей литых деталей тележек грузовых вагонов после длительного периода эксплуатации // Т. П. Северина // Вестник ВНИИЖТ. 1999. № 5. С. 35–40. ISSN 2223-9731.
- Змеева В. Н., Лебединский С. Г. Статистические закономерности развития усталостных трещин в литых сталях деталей грузовых вагонов // Вестник ВНИИЖТ. 1999. № 3. С. 26–31. ISSN 2223-9731.
- Хеллан К. Введение в механику разрушения / Пер. с англ. – М.: Мир, 1988. 364 с.
- Якушев А. В., Расщепкина Д. В., Баранов А. Н. Определение предельной длины усталостной трещины в углу буксового проема боковой рамы тележки грузового вагона // Известия Петербургского университета путей сообщения. 2017. № 4. С. 137–146. ISSN 1815-588X.
- Расщепкина Д. В., Якушев А. В. Работоспособность боковых рам тележек грузовых вагонов после возникновения опасного отказа // Транспорт Урала. 2018. № 3 (58). С. 30–35. ISSN 1815-9400.

Literature

- Severina T. P. Evaluation of tension intensity in case of availability of a crack in a freight wagon truck bolster lower flange // Herald of VNIIZhT [Opredelenie koefficienta intensivnosti napryazhenij pri nalichii treshhiny v nizhnem poyase nadressornoj balki gruzovogo vagona // Vestnik VNIIZhT]. 1990. № 1. P. 32–34. ISSN 2223-9731.
- Severina T. P. Investigation of crack resistance of steels of freight wagon bogie moulded parts after a long period of service // T. P. Severina // Herald of VNIIZhT [Issledovanie treshhinostojkosti stalej lityh detalej telezhhek gruzovykh vagonov posle dlitel'nogo perioda ekspluatatsii // T. P. Severina // Vestnik VNIIZhT]. 1999. № 5. P. 35–40. ISSN 2223-9731.

3. Zmeyerova V. N., Lebedinsky S. G. Statistical regularities of development of fatigue cracks in freight wagon moulded still parts // Herald of VNIIZT [Statisticheskie zakonomernosti razvitiya ustalostnyh treshhin v lityh stalyah detalej gruzovyh vagonov // Vestnik VNIIZhT]. 1999. № 3. P. 26–31. ISSN 2223-9731.
4. Hellan K. Introduction to mechanics of destruction [Vvedenie v mekhaniku razrusheniya] / Transl. from Engl. – M. : Mir, 1988. 364 p.
5. Yakushev A. V., Rasshepkina D. V., Baranov A. N. Evaluation of maximum permissible length of a fatigue crack in the corner of an axle box opening of the freight wagon bogie solebar // Bulletin of Petersburg university of railway transport [predelenie predel'noj dliny ustalostnoj treshhiny v uglu buksovogo proema bokovoj ramy telezhki gruzovogo vagona // Izvestiya Peterburgskogo universiteta putej soobshheniya]. 2017. № 4. P. 137–146. ISSN 1815-588X.
6. Rasshepkina D. V., Yakushev A. V. Performance capacity of freight wagon bogie solebars after development of dangerous failure // Transport of the Urals [Rabotosposobnost' bokovyh ram telezhok gruzovyh vagonov posle vozniknoveniya opasnogo otkaza // Transport Urala]. 2018. № 3 (58). P. 30–35. ISSN 1815-9400.

Статья сдана в редакцию 13 декабря 2018 года

Управление в технических системах

УДК 625.03

В. А. Николаев, Е. П. Капустина, Е. Г. Леоненко

Причины схода порожнего подвижного состава на Красноярской и Восточно-Сибирской железных дорогах

UDC 625.03

V. A. Nikolayev, E. P. Kapustina, E. G. Leonenko

Causes of empty rolling stock coming-off on Krasnoyarsk and Eastern-Siberian railways

Аннотация

Рассматриваются особенности характеристик параметров порожнего подвижного состава и пути, имеющих при сходах вагонов и цистерн на Красноярской и Восточно-Сибирской железных дорогах в 1996–2017 гг. Выполнен статистический анализ полученных данных, позволивший количественно и качественно оценить причины, приводящие к сходам не только наружу, но и в большинстве случаев внутрь кривой при достаточно невысоких скоростях движения,

чего ранее практически не наблюдалось.

Статистическая обработка данных позволяет выявить ряд несоответствий нормативных параметров рельсовой колеи и подвижного состава, являющихся весьма важными в проблеме безопасности движения поездов.

Рассмотрены конструкционные особенности порожнего вагона, влияющие на вписывание подвижных единиц в кривые участки пути, из-за которых происходит сход. На основании

анализа разработаны механизмы влияния отдельных характеристик подвижного состава и пути, позволяющие установить опасные факторы, совокупность которых приводит к всползанию гребня колеса на головку рельса.

В ряде случаев сход внутрь кривой происходит при отсутствии видимых нарушений режимов ведения поезда и нормативных параметров содержания пути и подвижного состава. Это может означать, что в базе нормативных документов есть упущения, которые можно

Статья рекомендована к публикации А.А. Раубой, д-ром техн. наук, профессором Омского государственного университета путей сообщения. E-mail: aleksandr_rauba@mail.ru.

Виктор Александрович Николаев, д-р техн. наук, профессор; заведующий кафедрой «Теоретическая механика» Омского государственного университета путей сообщения; г. Омск, Россия. E-mail: NikolaevVA@omgups.ru.

Елена Петровна Капустина, канд. техн. наук, доцент; кафедра «Тяговый подвижной состав» Российского университета транспорта (МИИТ); г. Москва, Россия. E-mail: kapustinaep@mail.ru.

Елена Геннадьевна Леоненко, преподаватель отделения «Электромеханическое» Красноярского института железнодорожного транспорта – филиала Иркутского государственного университета путей сообщения; г. Красноярск, Россия. E-mail: leonenko-eg@mail.ru.
The article is recommended for publishing by A.A. Rauba, Doctor of technical science, Professor, Omsk state university of railway transport. E-mail: aleksandr_rauba@mail.ru.

Victor Alexandrovich Nikolayev, Doctor of technical science, Professor; Head of the chair «Theoretical mechanics», Omsk state university of railway transport; Omsk, Russia. E-mail: NikolaevVA@omgups.ru.

Elena Petrovna Kapustina, Candidate of technical science, Associate Professor; Traction Rolling Stock Chair, Russian transport university (MIIT); Moscow, Russia. E-mail: kapustinaep@mail.ru.

Elena Gennadievna Leonenko, Teacher, Electromechanical Department, Krasnoyarsk Railway Institute – Irkutsk state railway university branch; Krasnoyarsk, Russia. E-mail: leonenko-eg@mail.ru.

выявить только после качественного анализа реальных случаев сходов.

Ключевые слова: сход, рельсовая колея, подвижной состав.

DOI: 10.20291/2079-0392-2019-1-47-53

Annotation

Special features of parameters of empty rolling stock and track in coming-off of cars and tank-wagons on Krasnoyarsk and Eastern-Siberian railways within the period of 1996–2017 are over-viewed. The statistical analysis of the received data has been carried out, making it possible to evaluate quantitatively and qualitatively causes

bringing comings-off not only outside but in most cases inside the curve at relatively low movement speeds which had not been practically observed before.

Statistical treatment of the data enables to reveal a number of irregularities of normative parameters of the rail gauge and rolling stock which are rather important in the problem of train movement safety.

Construction features of an empty car are studied affecting passing of rolling units around track section curves, they resulting in coming-off. On the basis of analysis the mechanisms of influence of certain rolling stock and track

features were worked out enabling to identify dangerous factors which result in mounting of a wheel flange on a rail-head.

In some cases the coming-off inside a curve occurs without visible malpractice of train driving modes and normative parameters in keeping up the track and rolling stock. This may mean that there are certain neglected points in the normative documents base which may be found out only after qualitative analysis of real cases of coming-off.

Key words: coming-off, rail gauge, rolling stock.

DOI: 10.20291/2079-0392-2019-1-47-53

Анализ эксплуатации подвижного состава на Восточно-Сибирской и Красноярской железных дорогах показал, что до 1996 г. установленные скорости движения груженых и порожних грузовых поездов (80–90 км/ч) – это, скорее, правило, чем исключение. Случаи сходов вагонов наблюдались достаточно редко и, как правило, только наружу кривой. Современная ситуация по организации движения грузовых поездов имеет целый ряд характерных отличий, например, сходы внутрь кривой в 60–70 % случаев. Анализ проведенных исследований [1–5] по данной проблеме показывает, что четкого ответа на вопрос о причинах схода вагонов внутрь кривой пока нет.

Случаи схода обязательно анализируются на заседаниях различных экспертных комиссий, ведутся также различные экспериментальные и теоретические исследования в этой области.

Скорость движения поездов, в составе которых имеются порожние вагоны, по кривым участкам пути радиусом менее 600 м должна быть не более 60 км/ч, что снижает пропускную способность таких участков железнодорожного пути. Но ограничение скорости прохождения

кривых не дает гарантий благополучного прохождения участка, а только позволяет уменьшить вероятность схода подвижного состава. Угловые смещения колесных пар вагона при движении в рельсовой колее ограничены конструкцией верхнего строения пути и образуют динамически устойчивую систему [8]. Эта система складывается из параметров движения, габаритов рельсо-шпальной решетки и характеристик ходовых частей вагонов и определяет положение колесных пар в кривой, а также направление сил трения и реакций в точках контакта подвижного состава и элементов пути [9–11].

Большинство теоретических работ по поиску причин схода подвижного состава с рельсов основано на математических моделях движения подвижного состава по железнодорожному пути с различными параметрами рельсовой колеи и перемещаемых вагонов [4–6]. Эти модели могут помочь только в качественном анализе, для количественного анализа сил, влияющих на процесс схода колес с рельсов, полнота статистических данных пока недостаточна.

Статистическая выборка данных по результатам эксплуатационной работы

Красноярской и Восточно-Сибирской железных дорог 1996–2018 гг. позволила провести анализ технических параметров как подвижного состава, так и рельсового пути. За эти годы произошло 70 сходов, причем большая часть из них – сходы внутрь кривой.

Анализ технических заключений по случаям сходов показывает, что большая часть сходов происходила из-за нарушений технологии производства путевых работ и ненадлежащего содержания подвижного состава. Только в 5 % случаев схода вагонов виновниками были признаны машинисты электровозов. Исследование режимов ведения поезда во всех случаях схода показало, что основная часть сходов приходится на режимы выбега и тяги, при которых все параметры движения соответствуют режимным картам, а сход происходит при отсутствии очевидных нарушений.

Для движения цистерн в переходных кривых характерен сход внутрь кривой, происходящий в спокойном режиме, без резких толчков и даже без обрыва тормозной магистрали. При этом сошедшая тележка в течение некоторого времени движется одной стороной в междупутье, нарушая структуру рельсошпальной решетки, которая разделяется на отдельные узлы. Как правило, в 61 % случаев сход вызван вкатыванием на головку рельса гребня наружного или внутреннего колеса первой по ходу колесной пары.

Распределение сходов подвижного состава в зависимости от режима ведения поезда и положения в кривой представлено на рис. 1.

Сход колесных пар подвижного состава наружу кривой (33 % случаев) в большей части происходит в результате нарушения режима ведения поезда. Основную роль играет эффект «выдавливания» вагонов. Как показал анализ, сход в этих случаях чаще всего происходит в средней части поезда в режиме выбега на уклоне, в кривых малого радиуса.

Согласно проведенному анализу сходов порожних вагонов на Красноярской и Восточно-Сибирской железных дорогах, установлено, что в 55 % случаев сход вызван нарушением нормативных параметров содержания пути (неудовлетворительное состояние или уширение пути, просадки, перекосы). В 37 % случаев сходы наружу кривой произошли из-за неисправности узлов вагонов – несоответствующих зазоров между скользунами кузова и тележек и в челюстных проемах букс; это приводит к поперечной качке и увеличивает угол набегания колеса на рельс, что служит основным фактором, который влияет на устойчивость против вкатывания гребня колеса на головку рельса.

Полная характеристика случайной величины – закон ее распределения, то есть соотношение между случайной величиной и соответствующими ей вероятностями.

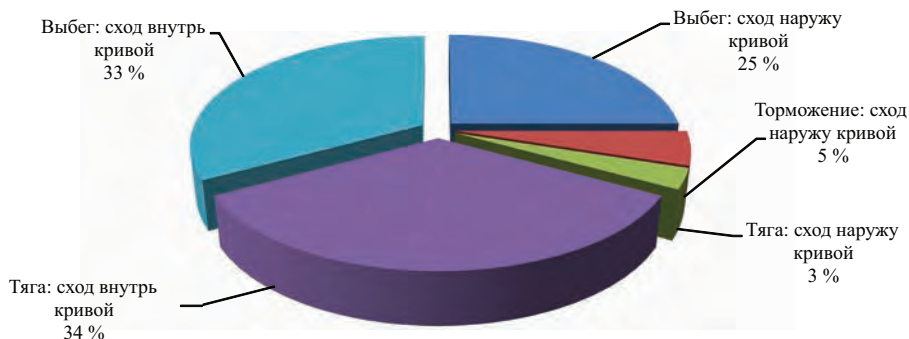


Рис. 1. Распределение сходов порожнего подвижного состава при различных режимах ведения поезда и положения вагона в кривой

Для определения наиболее вероятных параметров, влияющих на сход вагонов, построены законы распределения: зависимости сходов от скорости движения, длины поезда, радиуса кривых, а также от зазора между колесом и рельсом [1].

По итогам проверки подтверждено полное соответствие нормальному закону распределения анализируемых параметров, в соответствии с которым сход внутрь колеи наиболее вероятен при скорости 70 км/ч, количестве вагонов в поезде более 85, радиусе кривой более 750 м, зазоре между рабочей гранью рельса и гребнем колеса до 29 мм.

Выявлена четкая зависимость числа сходов от величины зазора рабочей грани гребня колеса и внутренними гранями головки рельса. Установлено, что максимальное число сходов соответствует величине зазора от 29 до 34 мм. Количество сходов снижается при возрастании зазоров от установленной до максимально допустимой величины 48 мм, то есть количество сходов в зависимости от ширины колеи и толщины гребней колес.

Существующие рекомендации по уменьшению количества сходов, точнее, по их исключению пока не привели к решению проблемы.

Один из решающих факторов, влияющих на сход порожнего подвижного состава, – условия их контакта с рельсом, которые определяются разнообразием вариантов организации эксплуатационной работы.

Нарушения безопасности движения поездов в большинстве случаев происходят из-за несоответствия действий работников железнодорожного транспорта нормативным документам. Так, нарушения выполнения рекомендаций режимной карты по управлению поездом приводит к возникновению больших продольных сжимающих усилий, результатом которых становится выдавливание порожнего вагона и его последующий сход наружу кривой. Неисправности элементов железнодорожного пути и вагонов приводят к разгрузке набегавшего колеса, что также способствует

вкатыванию колеса на головку рельса и сходу внутрь кривой. Действие большой поперечной боковой силы от колеса может привести к отжатию рельса, что может быть вызвано недостаточной поперечной жесткостью рельса, наличием ослабленных промежуточных рельсовых креплений (стыков рельсов), которое, в свою очередь, не обеспечивает необходимую вертикальную и горизонтальную жесткость пути [7, 12].

В вертикальной плоскости очень важна нагрузка от колесной пары на путь. Изменение векторов приложения нагрузок в точках контакта ходовых частей подвижного состава и рельса определяет углы поворота колеса при вписывании в кривую, что приводит к возникновению избыточного горизонтального усилия, содействующего вкатыванию колеса на головку рельса.

Все эти нарушения приводят к сходу вагона наружу кривой. Механизм нарушения безопасности движения поездов при сходах порожних вагонов наружу кривой представлен на рис. 2.

Опасность схода возникает уже тогда, когда колесо опирается на рабочую кромку головки рельса не краем гребня колеса, а любой частью поверхности катания. При этом возникает большое распирающее усилие, которое может отжать рельс наружу. Этому способствуют локальные отступления от норм содержания пути (уширение колеи, просадка и перекося, изолированная неровность на головке рельса). Опасность увеличивается при отступлениях от норм содержания ходовых частей подвижного состава.

Взаимодействие элементов верхнего строения пути и ходовой части подвижного состава на участках кривых большого и малого радиусов значительно различается. При движении по прямой контакт «колесо-рельс» происходит по кругу катания диска колеса, при смещении вагона в кривой поворота аналогично смещается и пятно контакта. Поэтому одинаково важны и профиль поверхности катания колеса, и состояние поверхности головки рельса.

Разница допустимых размеров износа упругого рессорного подвешивания изменяет линейные параметры и динамические характеристики нагрузок колес в ходе движения. Большая разница в угловых зазорах в скользунах,

особенно по диагонали вагона, может привести к обезгруживанию колесных пар и перекосу кузова вагона, что, в свою очередь, служит одним из факторов увеличения риска схода подвижного состава внутрь кривой (рис. 3).

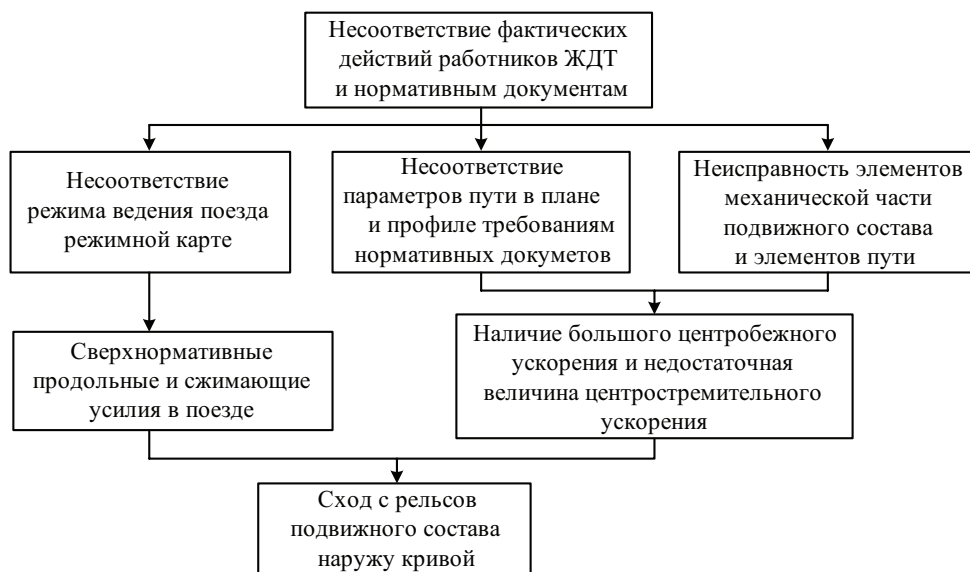


Рис. 2. Схема влияния параметров на нарушение безопасности движения поездов при сходах вагонов наружу кривой



Рис. 3. Механизм влияния параметров на нарушение безопасности движения поездов при сходах вагонов внутрь кривой

Изменение параметров рельсовой колеи и уменьшение зазора между гребнями колес и внутренними гранями головок рельсов приводят к существенному изменению условий взаимодействия, как следствие, к сходу порожних вагонов внутрь кривой.

В рассматриваемых случаях схода порожних вагонов на Красноярской и Восточно-Сибирской железных дорогах внутрь в кривых большого радиуса имелось возвышение наружного рельса (от 0,02 до 0,06 м), превышающее в отдельных случаях расчетное, то есть так называемое комфортное для максимально допустимой скорости движения пассажирских поездов, что вызывает заклинивание тележки в колее, неравномерную загрузку нитей рельсовой колеи и интенсивное расстройство кривых груженными вагонами, а затем раскачку по крену порожних вагонов с высоким расположением центра тяжести. В кривых малого радиуса в ряде случаев сложилась противоположная ситуация и возвышение, которое в реальных случаях схода недостаточно для обеспечения нормального вписывания вагонов (цистерн) в кривую.

В результате избытка возвышения наружного рельса (25 % случаев) разность между гравитационной состав-

ляющей и центробежной силой приводит к увеличению поперечного бокового усилия, действующего на наружные гребни колеса первой по ходу колесной пары, что приводит к наклону вагона не наружу, а внутрь кривой.

По результатам выполненных исследований по сходам порожнего подвижного состава на Красноярской и Восточно-Сибирской железных дорогах выявлено:

сходы порожних вагонов внутрь колеи на рассмотренных железных дорогах участились с 1996 года после полного перехода на ширину колеи 1520 мм;

большая часть сходов порожних вагонов происходит внутрь рельсовой колеи и только в 33 % случаев наружу кривой;

выявлено, что основные причины схода внутрь кривой – одновременное сочетание разгрузки колеса первой по ходу колесной пары и увеличение бокового усилия;

сходы наружу кривой, как правило, происходят из-за выдавливания порожних вагонов и вкатывания колеса на головку рельса;

установлены факторы, определяющие характер взаимодействия колес и рельсов, влияющие на безопасность движения поездов при сходах вагонов наружу и внутрь кривых. ■

Литература

1. Буйнова Н. П., Капустина Е. П., Леоненко Е. Г., Чуринова О. В. Влияние параметров подвижного состава и пути на устойчивость движения // Вестник транспорта Поволжья, 2011. № 1 (25). С. 24–30. ISSN 2079-5920.
2. Вагоны / под ред. Л. Д. Кузьмича. М. : Трансжелдориздат, 1956. 336 с.
3. Вериги М. Ф., Коган А. Я. Взаимодействие пути и подвижного состава / под ред. М. Ф. Вериги. – М.: Транспорт, 1986. 559 с.
4. Данилов В. Н. Железнодорожный путь и его взаимодействие с подвижным составом. М. : Трансжелдориздат, 1961. 111 с.
5. Коган А. Я. Оценка достаточного условия устойчивости колеса на рельсе с учетом вероятностного характера влияющего на нее некоторых факторов / А. Я. Коган, Е. А. Черняков // Вестник ВНИИЖТ. 2008. № 2. С. 36–41. ISSN 0869-8163.
6. Лазарян В. А., Длугач Л. А., Коротенко М. Л. Устойчивость движения рельсовых экипажей. Киев : Наук. думка, 1972. 198 с.
7. Леоненко Е. Г., Модели схода грузовых вагонов (цистерн) наружу и внутрь кривой // М-лы Всероссийской молодежной науч. практ. конф. – Иркутск : ИрГУПС, 2018. С. 111–114. ISBN 978-5-98710-348-7.
8. Михальченко Г. С., Погорелов Д. Ю., Симонов В. А. Совершенствование динамических качеств подвижного состава железных дорог средствами компьютерного моделирования // Тяжелое машиностроение. 2003. № 12. С. 2–6. ISSN 1024-7106.

9. Медель В. Б. Подвижной состав электрических железных дорог. М. : Транспорт, 1965. 280 с.
10. Погорелов Д. Ю., Симонов В. А. Показатель для оценки опасности схода подвижного состава путем вкатывания колеса на головку рельса / Вестник СНУ им. В. Даля. – Луганск. 2010. № 6 (147). – Ч. 1. – С. 64–70. ISSN 1998-7927.
11. Петров Г. И. Оценка безопасности движения вагонов при отклонениях от норм содержания ходовых частей и пути : дисс. ... на соиск. уч. ст. д-р техн. наук. – М. : МИИТ, 2000. 348 с.
12. Сокол Э. Н. Сходы с рельсов и столкновения подвижного состава (Судебная экспертиза. Элементы теории и практики). Киев : Транспорт Украины, 2004, 368 с. ISBN 978-966-651-483-0.

Literature

1. Bujnova N. P., Kapustina E. P., Leonenko E. G., Churinova O. V. Influence of rolling stock and track parameters on movement stability // Herald of the Volga area transport [Vliyaniye parametrov podvizhnogo sostava i puti na ustojchivost' dvizheniya // Vestnik transporta Povolzh'ya], 2011. № 1 (25). P. 24–30. ISSN 2079-5920.
2. Railway cars [Vagony] / edited by L. D. Kuzmich. M.: Transzheldorizdat, 1956. 336 p
3. Verigo M. F., Kogan A. Ya. Interraction between the track and rolling stock [Vzaimodejstvie puti i podvizhnogo sostava]. Edited by M. F. Verigo. – M. : Transport, 1986. 559 p.
4. Danilov V. N. Railway track and its interaction with rolling stock [Zheleznodorozhnyj put' i ego vzaimodejstvie s podvizhnym sostavom]. M. : Transzheldorizdat, 1961. 111 p.
5. Kogan A. Ya. Assessment of adequate condition of wheel stability on a rail with consideration of probable character of some factors influencing it [Ocenka dostatochnogo usloviya ustojchivosti kolesa na rel'se s uchetoм veroyatnostnogo haraktera vliyayushchego na nee nekotoryh faktorov] / A. Ya. Kogan, E. A. Chernyakov // Herald of VNIITZ. 2008. № 2. P. 36–41. ISSN 0869-8163.
6. Lazaryan V. A., Dlugach L. A., Korotenko M. L. Stability of rail vehicles movement [Ustojchivost' dvizheniya rel'sovyh ekipazhej]. Kiev : Nauk.dumka, 1972. 198 p.
7. Leonenko E. G. Models of coming-off of freight cars (tank wagons) outside and inside a curve // Mat-s of All-Russia youth scien. pract. conf. [Modeli skhoda gruzovyh vagonov (cistern) naruzhu i vnutr' krivoj // M-ly Vserossijskoj molodezhnoj nauch. prakt. konf.] – Irkutsk : IrGUPS, 2018. P. 111–114. ISBN 978-5-98710-348-7.
8. Mikhachenko G. S., Pogorelov D. Yu., Simonov V. A. Improvement of dynamic features of the railway rolling stock by means of computer simulation // Heavy engineering [Sovershenstvovanie dinamicheskikh kachestv podvizhnogo sostava zheleznih dorog sredstvami komp'yuternogo modelirovaniya // Tyazheloe mashinostroenie]. 2003. № 12. P. 2–6. ISSN 1024-7106.
9. Medel V. B. Rolling Stock of electric railways [Podvizhnoj sostav elektricheskikh zheleznih dorog]. M.: Transport, 1965. 280 p.
10. Pogorelov D. Yu., Simonov V. A. Indicator for assessment of rolling stock coming-off danger by mounting of a wheel on a railhead / Herald of SNU named after V. Dal [Pokazatel' dlya ocenki opasnosti skhoda podvizhnogo sostava putem vkatyvaniya kolesa na golovku rel'sa / Vestnik SNU im. V. Dalya]. – Lugansk. 2010. № 6 (147). – P. 1. – P. 64–70. ISSN 1998-7927.
11. Petrov G. I. Evaluation of car movement safety under deviations from norms of running parts and track [Ocenka bezopasnosti dvizheniya vagonov pri otkloneniyah ot norm soderzhaniya hodovyh chastej i puti]: a thesis for a Doctor's of technology degree. – M. : MIIT, 2000. 348 p.
12. Sokol E. N. Comings off rails and rolling stock collisions (Forensics. Elements of theory and practice) [Skhody s rel'sov i stolknoveniya podvizhnogo sostava (Sudebnaya ekspertiza. Elementy teorii i praktiki)]. Kiev : Transport of the Ukraine, 2004, 368 p. ISBN 978-966-651-483-0.

Статья сдана в редакцию 27 сентября 2018 года

УДК 621.332(076.5)

А.А. Пышкин, Д.В. Лесников

Методика определения надежности рекуперативного торможения на участке постоянного тока

UDC 621.332(076.5)

A.A. Pyshkin, D.V. Lesnikov

Methods of definition of recuperative braking reliability on DC section

Аннотация

Предлагается методика расчета надежности рекуперативного торможения на участках, электрифицированных по системе постоянного тока. Исходя из расчета мгновенных схем расположения нагрузок, сформулированных на основе метода статистических испытаний, определяется вероятность того, что фактический ток рекуперации будет больше или равен току рекуперации из тяговых расчетов. Если такая вероятность близка к единице, то в большинстве случаев реализуется ток рекуперации из тяговых расчетов.

При расчете приняты допущения, которых в действительности в процессе движения поездов нет и которые несколько снижают достоверность расчетов. Метод половинного деления отрезка (итерационный метод) позволяет за несколько циклов приближения определить действительный ток рекуперации, реализованный в определенной мгновенной схеме. Особенно важен такой расчет там, где рекуперация применяется как дополнительный тормоз, обеспечивающий безопасность движения поезда. Зная надежность рекуперативного торможения, можно сравнить участки электроснабжения по надежности обеспечения рекуперации и разработать нормы надежности.

Ключевые слова: рекуперативное торможение, надежность рекуперации, ток рекуперации, межпостанционная зона.

DOI: 10.20291/2079-0392-2019-1-54-59

Annotation

Methods of calculation of recuperative braking reliability on DC electrified sections are proposed. Based on calculation of instantaneous circuits of arrangement of loads formulated on the method of statistical trials, probability of the fact that actual recuperation current will be equal to or more than recuperation current from traction calculations. If such probability is close to one, recuperation current from traction calculations is realized.

In calculation, assumptions were taken which are not available in reality in train movement and which reduce validity of calculations to some extent. The method of half division of a section (iteration method) makes it possible to evaluate the actual current of recuperation realized in a certain instantaneous circuit within several steps. Such calculation is especially important where recuperation is applied as an additional brake which ensures train movement safety. Knowing recuperation braking reliability, one may compare power supply sections according to reliability of recuperation ensurance and develop reliability norms.

Key words: recuperative braking, recuperation reliability, recuperation current, inter-substational zone.

DOI: 10.20291/2079-0392-2019-1-54-59

Статья рекомендована к печати Б.А. Аржанниковым, д-ром техн. наук, профессором Уральского государственного университета путей сообщения; Екатеринбург, Россия. E-mail: BArzhannikov@usurt.ru.

Анатолий Александрович Пышкин, канд. техн. наук, профессор; кафедра «Электроснабжение транспорта» Уральского государственного университета путей сообщения; Екатеринбург, Россия, E-mail: APyshkin@usurt.ru.

Дмитрий Валентинович Лесников, ассистент; кафедра «Электроснабжение транспорта» Уральского государственного университета путей сообщения; Екатеринбург, Россия, E-mail: dmlesnikov@yandex.ru.

The article is recommended for publishing by B.A. Arzhannikov, Doctor of technical science, Professor, Ural state university of railway transport. E-mail: BArzhannikov@usurt.ru.

Dmitry Valentinovich Lesnikov, Assistant, Transport Power Supply Chair, Ural state university of railway transport; Ekaterinburg, Russia, E-mail: dmlesnikov@yandex.ru.

Anatoly Aleksandrovich Pyshkin, Candidate of technical science, Professor; Transport Power Supply Chair, Ural state university of railway transport; Ekaterinburg; Russia, E-mail: APyshkin@usurt.ru.

Электрическое торможение имеет ряд существенных технико-экономических преимуществ по сравнению с механическим торможением [1, 2]. В системе электроснабжения железных дорог должны быть технические средства, предусматривающие прием энергии рекуперации для обеспечения необходимого тормозного усилия.

И здесь возникает требование к системе электроснабжения: необходимы приемники избыточной энергии рекуперации. В настоящее время – это инверторные агрегаты и поглощающие установки. В поглощающих установках (балластных сопротивлениях) избыточная энергия рекуперации превращается в тепловую и рассеивается. Инверторные агрегаты преобразуют энергию рекуперации постоянного тока в энергию переменного тока и возвращают ее в первичную систему электроснабжения. Экономически целесообразно устанавливать инверторные агрегаты на одно- или двухпутных малодействительных участках железных дорог, а поглощающие установки – на двухпутных участках с интенсивным движением поездов, когда, в основном, энергия рекуперации потребляется поездами, следующими в тяговом режиме [1, 2].

Даже в том случае, когда участок железной дороги оборудован приемниками избыточной энергии, нельзя говорить о 100%-ном обеспечении рекуперативного торможения. Для доказательства этого рассмотрим межподстанционную зону с односторонним питанием и одним рекуперирующим электровозом.

Предположим, что возможности подстанции в приеме избыточной энергии

рекуперации неограниченны. Действительно, если напряжение на рекуперирующем электровозе максимально допустимо и равно $U_{\text{доп}} = 4000$ В и при этом на подстанции $U_{\text{шт}} = 3700$ В, то перепад напряжения, который обуславливает протекаемый ток рекуперации, равен 300 В. Допустим, что электровоз может обеспечить исходя из необходимого тормозного усилия ток $I_{\text{рек}} = 1000$ А. Тогда при километровом сопротивлении тяговой сети $r = 0,05$ Ом/км такой ток может быть реализован на расстоянии не более

$$l = \frac{U_{\text{доп}} - U_{\text{шт}}}{I_{\text{рек}} \cdot r} = \frac{300}{1000 \cdot 0,05} = 6 \text{ км.} \quad (1)$$

Если расстояние между тяговой подстанцией и рекуперирующим электровозом более 6 км, то машинисту электровоза не удастся получить необходимый ток рекуперации, значит, и необходимое тормозное усилие. Следовательно, кроме приемников избыточной энергии должен быть достаточный перепад напряжения между рекуперирующим электровозом и приемником энергии рекуперации.

Пусть на i -м элементе профиля пути по тяговым расчетам требуется ток рекуперации $I_{\text{PT}i}$ (рис. 1).

В зависимости от конкретной ситуации, ток $I_{\text{PT}i}$ потребляется или нет. Обозначим $I_{\text{рфи}}$ – фактический ток рекуперации, реализуемый на элементе i , который будет поглощаться на участке питания. Если $I_{\text{рфи}} \geq I_{\text{PT}i}$, то рекуперация на данном участке обеспечивается полностью. Вероятность этого неравенства $P_i\{I_{\text{рфи}} \geq I_{\text{PT}i}\}$ характеризует вероятность обеспечения рекуперации,

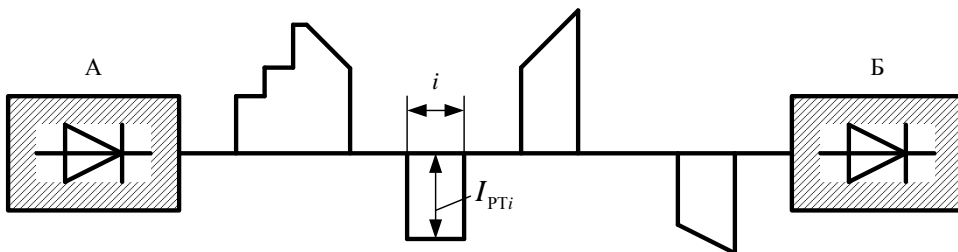


Рис. 1. Результаты тяговых расчетов

или надежность рекуперативного торможения [3, 4]. Если P_i близка к единице, то в подавляющем большинстве случаев будет реализоваться ток рекуперации по тяговым расчетам. В случае, когда на участке питания есть несколько элементов профиля пути, на которых осуществляется рекуперативное торможение, в качестве меры надежности рекуперации берется минимальная величина P_i из всех рассчитанных значений для каждого элемента. Зная P_i , можно сравнивать участки электрооборудования по надежности обеспечения рекуперации и разработать нормы надежности. При этом следует различать участки, где рекуперация применяется как дополнительный тормоз, обеспечивающий безопасность движения поезда, и где рекуперация осуществляется для экономии электрической энергии. В первом случае, в отличие от второго, надежность рекуперативного торможения должна быть обеспечена близкой к единице.

Рассмотрим методику расчета надежности рекуперативного торможения на участке постоянного тока.

1. Определяется число мгновенных схем, расчет которых необходим для получения достоверного результата. Для этого пользуются приемами с ошибками I и II рода [5].

2. Формируется мгновенная схема расположения нагрузок.

3. Численными методами рассчитывается фактический ток рекуперации, реализуемый в данной мгновенной схеме.

4. Частное от деления числа мгновенных схем, для которых выполняется условие $I_{рфi} \geq I_{ртi}$, к общему числу рассчитанных мгновенных схем принимается в качестве меры надежности рекуперативного торможения.

Мгновенная схема расположения нагрузок формируется на основе метода статистических испытаний (Монте-Карло) исходя из закона распределения межпоездного интервала [5]. При формировании мгновенной схемы приняты следующие допущения.

1. По участку следуют поезда установленной весовой нормы, для которых есть тяговые расчеты.

2. Скорость движения поездов постоянна, поэтому, зная межпоездной интервал, можно установить расположение поездов на участке питания.

3. Интервал попутного следования между поездами кратен θ – минимальному межпоездному интервалу.

Исчерпывающая характеристика межпоездного интервала, которая является случайной величиной, – функция распределения, имеющая, согласно исследованиям, следующий вид [6]:

$$F(\tau) = 1 - \frac{N}{N_0} \frac{\tau}{\theta}, \quad (2)$$

где θ – минимальный межпоездной интервал, мин; τ – любой другой интервал, кратный θ , мин; N – суточные размеры движения; N_0 – пропускная способность участка.

Мгновенная схема расположения нагрузок на участке питания формируется следующим образом.

На i -м элементе профиля пути устанавливается электровоз, находящийся в режиме рекуперативного торможения, ток рекуперации которого не известен. Используя таблицы равномерно распределенной случайной величины от 0 до 1, по очереди выбираем числа. Например, первое число 0,7 – ему по интегральной функции распределения межпоездного интервала соответствует $\tau = 3\theta$ (рис. 2).

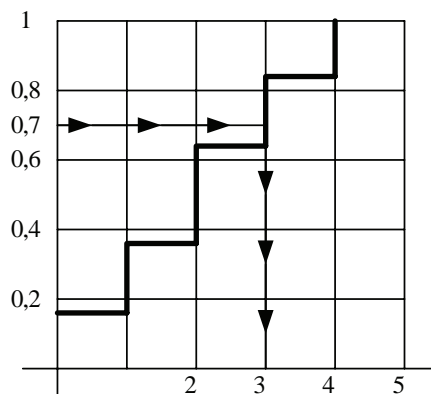


Рис. 2. График равномерно распределенной случайной величины

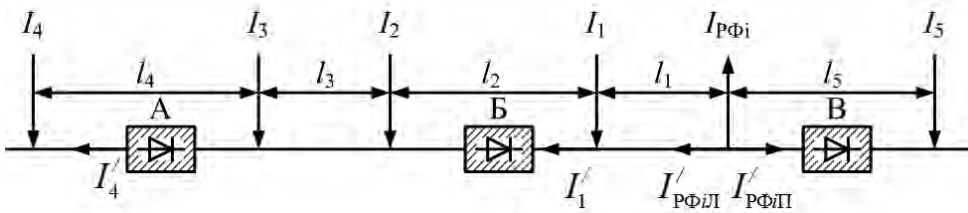


Рис. 3. Расчетная схема расположения нагрузок

При принятой скорости V расстояние между рекуперирующим электро-возом и первым сопутствующим поездом, расположенным слева или справа, определяется

$$l_1 = V \cdot 3 \cdot \theta. \quad (3)$$

Для данной координаты исходя из тяговых расчетов устанавливается ток I_1 (рис. 3).

Аналогично определяются координаты и токи других сопутствующих поездов (до тех пор, пока рассматриваемый участок железной дороги не будет заполнен поездами слева и справа от рекуперирующего электровоза).

Вычислим фактический ток рекуперации $I_{\text{рфил}}$ для определенной мгновенной схемы расположения нагрузок. Будем считать, что напряжение на рекуперирующем электровозе максимально допустимо и равно 4000 В. Расчет ведется численными методами, без помощи аналитических формул. При ручном счете задаются каким-то значением фактического тока рекуперации $I_{\text{рфил}}$, протекающего влево от рекуперирующего электровоза. Зная $I_{\text{рфил}}$ и километровое сопротивление тяговой сети, определяют падение напряжения от тока $I_{\text{рфил}}$ до нагрузки I_1 :

$$\Delta U_1 = I_{\text{рфил}} \cdot r \cdot l_1. \quad (4)$$

По закону Кирхгофа устанавливают ток I_1 , протекающий от нагрузки I_1 влево к подстанции Б, аналогично оценивают падение напряжения от нагрузки I_1 до подстанции Б ΔU_2 и определяют уровень напряжения на этой подстанции:

$$U_B = 4000 - \Delta U_1 - \Delta U_2. \quad (5)$$

По внешней характеристике подстанции при известном значении U_B устанавливают ток подстанции Б влево, протекающий от подстанции Б влево. Расчет ведется аналогичным образом до крайней левой нагрузки I_4 , в результате которого определяется ток I_4' (см. рис. 3).

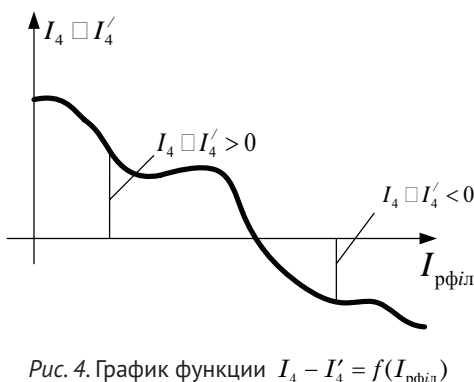
Если $I_4 = I_4'$, то заданное значение $I_{\text{рфил}}$ оказалось верным, т. е. для участка питания сумма вырабатываемых токов (токи подстанций и токи рекуперирующих электровозов) равна сумме потребляемых токов (токи электровозов в режиме тяги и токи приемников избыточной энергии рекуперации):

$$\sum_{i=1}^{n_1} I_i + \sum_{i=1}^{n_2} I_{\text{изб}i} - \sum_{i=1}^{n_3} I_{\text{р}i} - \sum_{i=1}^{n_4} I_{\text{пт}i} = 0, \quad (6)$$

где n_1 – число нагрузок в режиме тяги; I_i – ток i -й нагрузки в режиме тяги, А; n_2 – число приемников избыточной энергии рекуперации; $I_{\text{изб}i}$ – ток i -го приемника избыточной энергии рекуперации, А; n_3 – число рекуперирующих электровозов; $I_{\text{р}i}$ – ток i -го рекуперирующего электровоза, А; n_4 – число подстанций; $I_{\text{пт}i}$ – ток i -й подстанции.

В большинстве случаев в результате расчетов $I_4 - I_4' > 0$ или $I_4 - I_4' < 0$, т. е. принятое значение $I_{\text{рфил}}$ не отвечает условиям уравнения (6). Для определения истинного значения $I_{\text{рфил}}$ применяют метод половинного деления отрезка [5, 6] (рис. 4).

Задаются значения $I_{\text{рфил}}$, при которых $I_4 - I_4' > 0$ и $I_4 - I_4' < 0$. Если бы $I_4 - I_4' = f(I_{\text{рфил}})$ была найдена, то установить значение $I_{\text{рфил}}$ при условии

Рис. 4. График функции $I_4 - I'_4 = f(I_{\text{рфил}})$

$I_4 - I'_4 = 0$ несложно. Поэтому в качестве следующего приближения принимают среднее значение $I_{\text{рфиЛ}}$, при которых $I_4 - I'_4 > 0$ и $I_4 - I'_4 < 0$. Расчет ведут до тех пор, пока I_4 не будет равно I'_4 . Эту задачу можно решить итерационным методом. Задаются значением $I_{\text{рфиЛ}} = 0$ и аналогичным образом определяют $I_4 - I'_4$. В качестве следующего приближения принимают $I_{\text{рфиЛ}} = I_4 - I'_4$ и так далее, пока $I_4 - I'_4$ не будет равно 0. В принципе, итерация при решении данной задачи сходящаяся, и за несколько циклов можно определить истинное значение $I_{\text{рфиЛ}}$.

Аналогичным образом определяют ток рекуперации $I_{\text{рфиП}}$, протекающий вправо от рекуперирующего электровоза, и устанавливают

$$I_{\text{рфи}} = I_{\text{рфиЛ}} + I_{\text{рфиП}}. \quad (7)$$

Тогда

$$P\{I_{\text{рфи}} \geq I_{\text{рфи}}\} = \frac{m_1}{m}, \quad (8)$$

где m — число рассчитанных мгновенных схем; m_1 — число мгновенных схем, для которых выполняется условие $I_{\text{рфи}} \geq I_{\text{рфи}}$.

Для повышения надежности рекуперативного торможения можно рекомендовать следующие технические мероприятия [7–10].

1. Характеристики приемников избыточной энергии рекуперации должны быть пологими. При прочих равных условиях при пологой характеристике можно реализовать большие токи рекуперации.

2. Желательно так расположить тяговые подстанции, чтобы рекуперация осуществлялась вблизи от них.

3. Устанавливать поглощающие устройства на перегонах.

4. Применить на тяговых подстанциях схемы принудительного «среза» пика напряжения холостого хода для «проталкивания» избыточного тока рекуперации на смежные межподстанционные зоны поездов, находящимся в режиме тяги.

5. Переходить с отдельной схемы питания контактной сети на узловую или параллельную.

6. При повышении напряжения в контактной сети, что связано с применением рекуперативного торможения, принудительно «запирать» тяговые подстанции для создания необходимого перепада напряжения между рекуперирующим электровозом и приемником энергии рекуперации. ■

Литература

1. Марквардт К. Г. Электроснабжение электрифицированных железных дорог. М. : Транспорт. 1982. 528 с.
2. Тер-Оганов Э. В., Пышкин А. А. Электроснабжение железных дорог. Екатеринбург : Изд-во УрГУПС. 2014. 431 с. ISBN 978-94614-299-7.
3. Пышкин А. А. Надежность систем электроснабжения электрических железных дорог. Екатеринбург : УЭМИИТ. 1993. 120 с.
4. Галкин А. Г., Ефимов А. В. Надежность и диагностика систем электроснабжения железных дорог. УМК МПС России. М., 2000. 510 с.
5. Вентцель Е. С. Теория вероятности. М. : Высшая школа. 2002. 575 с. ISBN 5-06-003650-2.
6. Надежность и эффективность систем и устройств электроснабжения железных дорог : Труды регион. науч.-практ. конф. представителей пр-ва, ученых трансп. вузов и инженеров. работников. — Хабаровск, 2005. 310 с.

7. Спиридонов Е. А., Порсев Е. Г. Оценка эффективности рекуперативного торможения на электрическом транспорте / Сб. м-лов 18 Всерос. науч.-практ. конф. «Инфраструктурные отрасли экономики: проблемы и перспективы развития». – Новосибирск : НГТУ, 2017. С. 309–311. ISBN 978-5-00068-872-4.
8. Басаргина Г. С. Исследование влияния длины перегона на вероятность рекуперативного торможения / Сб. науч. тр. : «Наука. Технологии. Инновации». – Новосибирск : НГТУ, 2015. С. 119–121.
9. Ивченко В. А. Повышение эффективности тяговой сети с помощью накопительных устройств / Сб. науч. тр. : «Наука. Технологии. Инновации». – Новосибирск : НГТУ, 2015. С. 137–139.
10. Кузнецов В. Г. Учет надежности систем тягового электроснабжения при регулировании их режимов // Восточно-Европейский журнал передовых технологий. 2012. Т. 3. № 8 (57). С. 20–24. ISSN 1729-3774.

Literature

1. Markwardt K. G. Power supply of electrified railways [Elektrosnabzhenie elektrificirovannyh zheleznih dorog]. M. : Transport. 1982. 528 p.
2. Ter-Oganov E. V., Pyshkin A. A. Power supply of railways [Elektrosnabzhenie zheleznih dorog]. Ekaterinburg: USURT Publisher. 2014. 431 p. ISBN 978-94614-299-7.
3. Pyshkin A. A. Reliability of electric railway power systems [Nadezhnost' sistem elektrosnabzheniya elektricheskikh zheleznih dorog]. Ekaterinburg : UEMIT. 1993. 120 p.
4. Galkin A. G., Efimov A. V. Reliability and diagnostics of railway power supply systems [Nadezhnost' i diagnostika sistem elektrosnabzheniya zheleznih dorog]. Russia's MT UMK. M., 2000. 510 p.
5. Venzel E. S. Probability theory [Teoriya veroyatnosti]. M. : Higher school. 2002. 575 p. ISBN 5-06-003650-2.
6. Reliability and efficiency of railway power supply systems and equipment: Works of regional scientific and practical conference of government representatives, transport higher schools researchers and engineers [Nadezhnost' i effektivnost' sistem i ustrojstv elektrosnabzheniya zheleznih dorog : Trudy region. nauch.-prakt. konf. predstavitelej pr-va, uchenyh transp. vuzov i inzhener. Rabotnikov]. – Khabarovsk, 2005. 310 p.
7. Spiridonov E. A., Porsev E. G. Evaluation of recuperative braking efficiency on electric transport / Collection of materials of 18 All-Russia scientific and practical conference «Infrastructural economy industries: problems and development prospects» [Ocenka effektivnosti rekuperativnogo tormozheniya na elektricheskom transporte / Sb. m-lov 18 Vseros. nauch.-prakt. konf. «Infrastrukturnye otrasli ekonomiki: problemy i perspektivy razvitiya»]. – Novosibirsk : NSTU, 2017. P. 309–311. ISBN 978-5-00068-872-4.
8. Basargina G. S. Investigation of influence of station-to-station length on probability of recuperative braking / Col. of scien.works: «Science. Technology. Innovations». [Issledovanie vliyaniya dliny pereгона na veroyatnost' rekuperativnogo tormozheniya / Sb. nauch. tr. : «Nauka. Tekhnologii. Innovacii»]– Novosibirsk: NSTU, 2015. P. 119–121
9. Ivanchenko V. A. Increase of traction efficiency with the help of storage devices / Col. of scien. works: «Science. Technology. Innovations» [Povyshenie effektivnosti tyagovoj seti s pomoshh'yu nakopitel'nyh ustrojstv / Sb. nauch. tr. : «Nauka. Tekhnologii. Innovacii»]. – Novosibirsk: NSTU, 2015. P. 137–139.
10. Kuznetsov V.. Consideration of reliability of traction power supply systems in regulation of their modes // Eastern-European journal of advanced technology [Uchet nadezhnosti sistem tyagovogo elektrosnabzheniya pri regulirovanii ih rezhimov // Vostochno-Evropejskij zhurnal peredovyh tekhnologij]. 2012. V. 3. № 8 (57). P. 20–24. ISSN 1729-3774.

Статья сдана в редакцию 15 января 2019 года

Организация и логистика

УДК 656.2

П. А. Козлов, В. С. Колокольников, Н. А. Тушин, О. В. Осокин

Об использовании моделей оптимального управления транспортными потоками

UDC 656.2

P. A. Kozlov, V. S. Kolokol'nikov, N. A. Tushin, O. V. Osokin

On using effective management models for transport flows

Аннотация

На железнодорожном транспорте решается задача перехода от информационных автоматизированных систем к управляющим. Такие системы должны опираться на модели оптимального управления. В статье рассматривается проблема корректного расчета параметров оптимизационных потоковых моделей. Показано, что модели могут быть только динамическими. В рыночных условиях такие параметры, как время хода по дуге, стоимость пропуска потока и простоя вагонов у потребителя, необходимо задавать изменяющимися во времени. Для перехода от нормативных значений параметров к динамическим рекомендуется провести имитационную экспертизу. Использование имитационных моделей станций и полигонов для определения параметров оптимизационных потоковых моделей может существенно повысить корректность расчетов.

Ключевые слова: оптимизационная потоковая модель, динамическая транспортная задача, имитационная модель.

DOI: 10.20291/2079-0392-2019-1-60-69

Annotation

The challenge of switching from automated information systems to management information systems is being met. Such systems should be based on effective management models. This article tackles the problem of correct calculation of the parameters of optimization flow models. It is clearly illustrated that the models can be dynamic only. It is necessary that such parameters as the travel time along the arc, cost of transport flow passing and demurrage of a rolling stock are to be set as time-dependent in a market environment. In order to move from standard parameter values to dynamic ones it is recommended to conduct simulation tests. Using the simulation model stations and testing grounds for calculating parameters of optimization flow models can significantly improve accuracy of calculations.

Key words: optimization flow model, dynamic transport task, simulation model.

DOI: 10.20291/2079-0392-2019-1-60-69

Статья рекомендована к публикации А.Я. Калиниченко, д-ром техн. наук, профессором Российского университета транспорта. Тел.: 8(985) 429-24-12.

Петр Алексеевич Козлов, д-р техн. наук, профессор, президент Научно-производственного холдинга «Стратег»; Москва, Россия. E-mail: laureat_k@mail.ru.

Виталий Сергеевич Колокольников, канд. техн. наук, доцент; кафедра «Управление эксплуатационной работой» Уральского государственного университета путей сообщения; Екатеринбург, Россия. E-mail: kolokvital@gmail.com.

Николай Андреевич Тушин, д-р техн. наук, профессор; кафедра «Управление эксплуатационной работой» Уральского государственного университета путей сообщения; Екатеринбург, Россия. E-mail: NTushin@zde.ru.

Олег Викторович Осокин, д-р техн. наук, вице-президент Научно-производственного холдинга «Стратег»; Москва, Россия. E-mail: oov_@mail.ru.

The article is recommended for publication by A.Y. Kalinichenko, Doctor of Technical Science, Professor of Russian University of Transport. Phone: 8(985) 429-24-12.

Pyotr Alekseevich Kozlov, Doctor of Technical Science, Professor, president of Scientifically Industrial Holding «Strateg»; Moscow, Russia. E-mail: laureat_k@mail.ru.

Vitalij Sergeevich Kolokol'nikov, Candidate of Technical Science, Associate professor of «Operations management» Department of Ural State University of Railway Transport; Yekaterinburg, Russia. E-mail: kolokvital@gmail.com.

Nikolaj Andreevich Tushin, Doctor of Technical Science, Professor of «Operations management» Department of Ural State University of Railway Transport; Yekaterinburg, Russia. E-mail: NTushin@zde.ru.

Oleg Viktorovich Osokin, Doctor of Technical Science, vice-president of Scientifically Industrial Holding «2Strateg»; Moscow, Russia. E-mail: oov_@mail.ru.

На железнодорожном транспорте уже несколько десятилетий обсуждается на разных уровнях проблема перехода от информационных к управляющим системам. Но «управляющие» системы должны опираться на модели оптимального управления – диспетчерам трудно принять эффективные решения там, где возникает многовариантность. И такие задачи реально существуют: управление потоками поездняка, согласованный подвод грузов

к портам от многих отправителей, организация согласованного взаимодействия поставщиков и потребителей массовых грузов (например, руды и угля к металлургическим заводам). Проблема согласованной работы производства и транспорта в последнем случае действительно стоит остро.

Типичная неравномерность прибытия составов с рудой и углем на металлургические заводы представлена на рис. 1, 2 (по данным АСУ станции).



Рис. 1. Прибытие грузов на Новолипецкий металлургический комбинат



Рис. 2. Прибытие грузов на Череповецкий металлургический комбинат

Такая ситуация характерна практически для любого крупного грузополучателя.

Многовариантность при оптимизации взаимодействия поставщиков и потребителей действительно большая, потому что в качестве отправителей и получателей задействованы десятки станций (таблицы 1, 2) (по данным АСУ станции).

Но задать корректно время хода и пропускные способности дуг в модели весьма не просто, потому что полигоном движения составов служит чуть ли не вся сеть железных дорог (рис. 3).

На практике модели оптимального управления потоками на транспорте практически не применялись, а в теории (большой частью в диссертациях)

Таблица 1

Станции отправления металлургических грузов

Станция	Код станции в соответствии с ЕСП	Станция	Код станции в соответствии с ЕСП
Бардино	863100	Мереть	862201
Беленихино	435408	Минусинск	888305
Белово	862305	Михайлов руд	205307
Бирюлинская	871906	Мульда	289406
Бочаты	862606	Мундыбаш	865407
Воркута	289503	Нерюнгри-Гр.	911605
Воронцовка	775200	Новокузнецк-Вост.	864207
Гурьевск	862502	Новокузнецк-Сев.	864207
Данков	594206	Обнорская	864103
Ерунаково	863007	Оленегорск	016308
Забойщик	871802	Осинники	865002
Заринская	841402	Полосухино	863204
Зеньково	864002	Прокопьевск	863907
Качканар	773008	Разрез	862409
Кийзак	864809	Смычка	770005
Ковдор	015400	Спиченково	863702
Коршуниха-Анг.	925701	Стойленская	438406
Костомук-Тов.	027802	Таштагол	866403
Курбакинская	205400	Томусинская	864601
Курегеш	863308	Флюсовая	805800
Малиновка	865208	Черкасов-Кам.	863806

Таблица 2

Станции назначения и груз

Станция	Код станции в соответствии с ЕСП	Груз
Магнитогорск-Гр.	817600	Каменный уголь Руда железная Руда марганцевая Флюсы Кокс
Новолипецк	592204	
Череповец II	302507	
Смычка	770005	
Куйбас	817507	
Новокузнецк-Сев.	864207	
Чугун II	592308	
Кошта	302600	
Новокузнецк-Сорт.	860009	

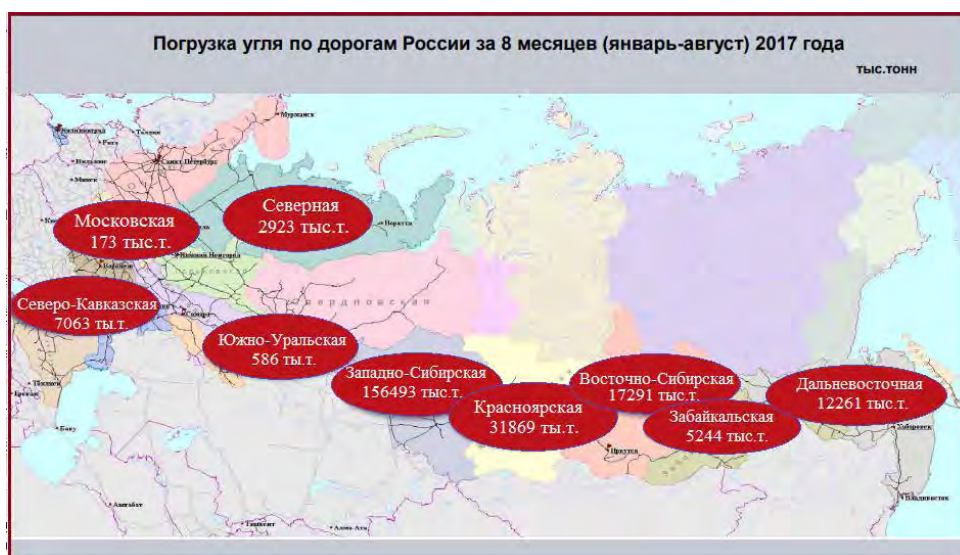


Рис. 3. Погрузка угля по дорогам России (по данным ИЭРТ)

обсуждалась в основном транспортная задача линейного программирования:

$$Z(X) = \sum_{i=1}^m \sum_{j=1}^n c_{ij} x_{ij} \rightarrow \min,$$

$$\sum_{j=1}^n x_{ij} = a_i, \quad i = 1, 2, \dots, m,$$

$$\sum_{i=1}^m x_{ij} = b_j, \quad j = 1, 2, \dots, n,$$

$$x_{ij} \geq 0, \quad i = 1, 2, \dots, m, \quad j = 1, 2, \dots, n,$$

$$\sum_{i=1}^m a_i = \sum_{j=1}^n b_j,$$

где $Z(X)$ – целевая функция; c_{ij} – стоимость доставки; x_{ij} – транспортный поток; a_i – объем производства; b_j – объем потребления; j – поставщики; i – потребители.

Совершенно очевидно, что использовать эту модель для оптимального управления потоками нельзя – управление является функцией состояния. Изменение состояния предполагает динамику. А здесь ее нет.

Для решения этой задачи предложены модели оптимального управления

и сформулирована их программная реализация [1–3]. Теперь на их основе нужно создать подсистемы оптимального управления в существующих АСУ.

Сначала рассмотрим некоторые возникающие здесь опасности, которые могут скомпрометировать это назревшее начинание.

Предположим, что транспортная сеть состоит из $P = \{p_1, p_2, \dots, p_N\}$ пунктов, которые связаны путями (p_i, p_j) , $i \neq j$, $p_i, p_j \in P$ (рис. 4). Зададим интервал оптимизации системы $[0, T]$. Тогда для каждого момента времени $(t = 0, T)$ на множестве пунктов сети функция производства и потребления выглядит, как $q_i^k(t)$ (k – тип порожнего вагона). В случае, когда $q_i^k(t) > 0$, это пункт производства (источник). Когда $q_i^k(t) < 0$, это пункт потребления (сток). И если $q_i^k(t) = 0$, то пункт перевалочный. Каждый из путей (p_i, p_j) между пунктами производства, потребления и перевалки характеризуется пропускной способностью $v_{ij}(t) \geq 0$ и временем перевозки $t_{ij} \in [0, T]$.

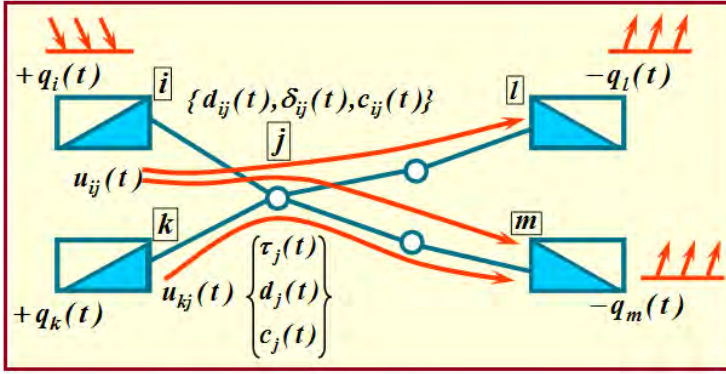


Рис. 4. Схема динамической потоковой модели

Обозначим объем перевозки, выходящий в момент из пункта i и приходящий в момент $t + t_{ij}$ в пункт p_j , как $u_{ij}(t)$, $t = \overline{0, T}$. Зададим $c_{ij}(t)$ – затраты на перевозку единицы продукции из p_i в p_j , а $c_{ii}(t)$ – затраты на хранение. В таком случае критерием оптимизации будет минимум суммарных расходов на транспортировку и хранение продукции:

$$J = \sum_{t=0}^T \sum_{p_i, p_j \in P} c_{ij}(t) \cdot u_{ij}(t).$$

Ограничения:

– пропускная способность каждого канала

$$0 \leq u_{ij}(t) \leq v_{ij}(t); \quad p_i, p_j \in P, \quad t = \overline{0, T};$$

– моменты времени, находящиеся в пределах периода расчета

$$0 \leq t + t_{ij} \leq T, \quad 0 \leq t - t_{ij} \leq T;$$

– объем производства в период оптимизации

$$u_{ii}(0) = u_{ii}^0, \quad u_{ii}(T) = 0, \quad p_i \in P.$$

Эта задача является динамической транспортной задачей с задержками в сетевой постановке. В ней ограничения в виде балансного соотношения имеют вид:

а) для отправителя –

$$u_{ii}(t+1) = u_{ii}(t) + q_i(t) - \sum_{p_j \in P} u_{ij}(t),$$

б) для получателя –

$$u_{jj}(t+1) = u_{jj}(t) + q_j(t) + \sum_{p_i \in P} u_{ij}(t - t_{ij}),$$

в) для транзитного пункта –

$$u_{jj}(t+1) = u_{jj}(t) + q_j(t) + \sum_{p_i \in P} u_{ij}(t - t_{ij}),$$

для этого пункта $q_i(t) = 0$.

Задача сводится к статической разложению во времени (рис. 5) с использованием известных методов решения [4].

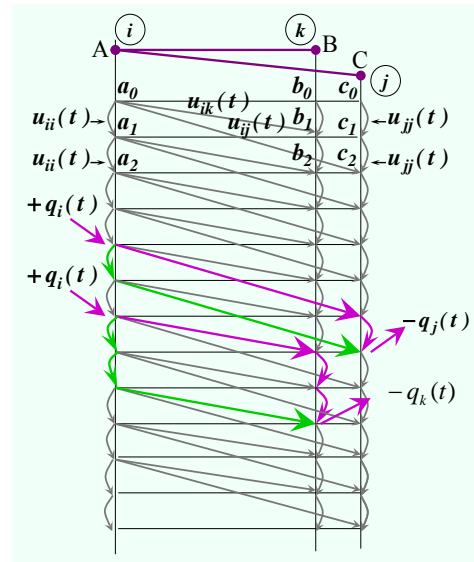


Рис. 5. Схема сведения динамической транспортной задачи к статической

Дальнейшим развитием является динамическая транспортная задача с учетом ущербов у потребителя.

Функция оптимизации $J = (J_1 + J_2 + J_3 + J_4)$ выглядит как сумма расходов на транспортировку J_1 , затрат на хранение у поставщиков J_2 и потребителей J_3 и ущербов от недопоставок продукции J_4 .

$$J_1 = \sum_{t=0}^T \sum_{p: \in P} c_{ij}(t) u_{ij}(t);$$

$$J_2 = \sum_{t=0}^T \sum_{p_i \in P} c_{ii}(t) u_{ii}(t);$$

$$J_3 = \sum_{t=0}^T \sum_{n \in P} c_{jj}(t) u_{jj}(t);$$

$$J_4 = \sum_{t=0}^T \sum_{p \in P} c_j(t) \omega_j(t).$$

Переменная $\omega_j(t)$ здесь показывает величину недопоставки у j -го потребителя в момент t . Полная недопоставка получается суммированием по периоду оптимизации.

Позднее прибытие продукции к потребителю приводит к задержке потребления (рис. 6). Переменная $\omega_j(t)$, которая показывает величину недопоставки у j -го потребителя в момент t , направлена в обратном направлении времени. Она связывает между собой

моменты задержанного и планового потребления поставки. Сумма недопоставок, умноженная на удельный ущерб от недопоставки $c_j(t)$, показывает полный ущерб у j -го потребителя.

Модель позволяет отображать не только динамику потоков. Другие параметры модели также могут изменяться в течение одного расчета. Но при моделировании реальных объектов важно корректно задавать отображающие их параметры.

Технологическое наполнение параметров модели

Время хода потока по дуге – от одних до нескольких суток. Его можно задавать различным в разное время, ведь одна дуга в динамической постановке превращается в множество дуг в размноженной сети, а $at_{ij} - \text{в } b\{t_{ij}\}$ (см. рис. 5).

Рассчитать корректно время хода можно только на имитационной модели полигона. Наиболее развитой в качестве аппарата для этого является имитационная система ИМЕТРА [5]. Модель позволяет полностью отобразить процесс движения поездов с выделением «окон», с задержками из-за локомотивов, участков и станций (рис. 7) и выдает скорости продвижения потока по участкам и дорогам (рис. 8, 9).

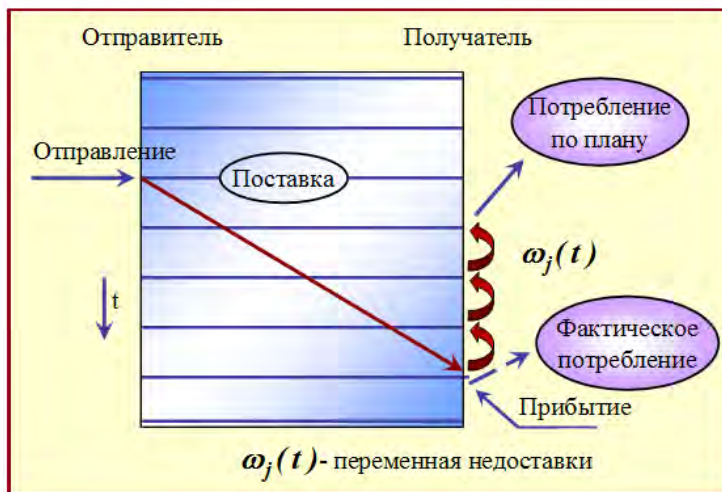


Рис. 6. Эффект недопоставки

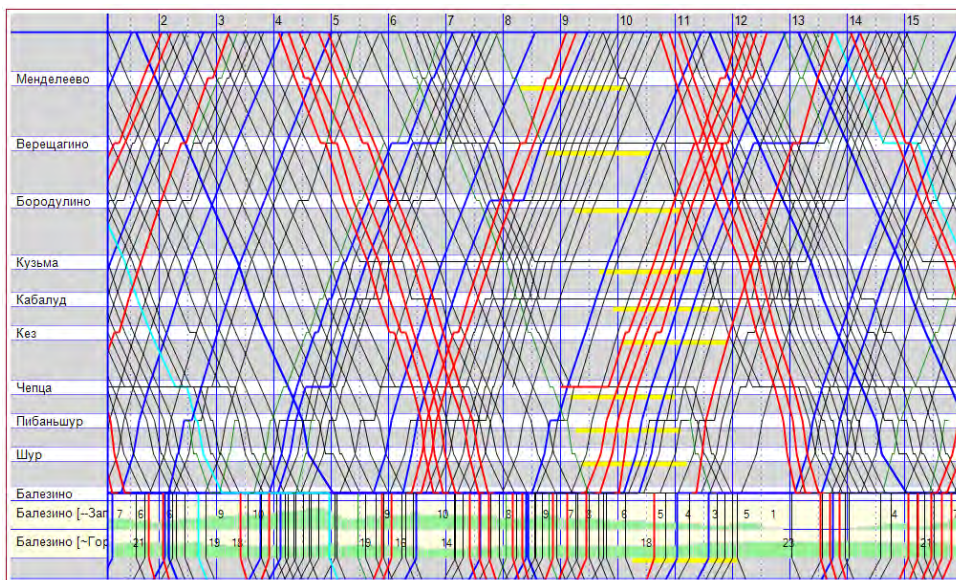


Рис. 7. Исполненный график движения поездов (вырезка)

Скорость хода, км/ч				
Участок	Техническая (неч.)	Техническая (чет.)	Участковая (неч.)	Участковая (чет.)
Алтайская - Карасук	67,81	73,96	65,58	70,15
Карасук - Иртышское	73,17	71,68	68,09	70,71
Иртышское - Входная	74,55	67,56	60,87	64,85
Входная - Ишим	64,56	68,08	53,25	55,72
Ишим - Войновка	64,25	66,01	54,50	52,53
Войновка - Камышлов	55,04	58,39	44,56	45,20
Камышлов - Седельник	43,58	46,07	29,21	38,66
Седельниково - Шаля	54,90	55,73	45,87	48,38
Шаля - Пермь-сорт	50,56	52,80	37,72	45,75
Пермь-сорт - Балезино	47,03	56,51	41,80	48,72
Балезино - Лянгасово	55,66	56,12	47,66	47,94

Рис. 8. Скорость движения поездов на участке

Скорость хода, км/ч			
Участок	Маршрутная (неч.)	Маршрутная (чет.)	Маршрутная
ЗСЖД маршрутная (все)	52,22	49,87	51,05
ЗСЖД маршрутная (ТД)	55,62	49,57	51,02
СВЖД маршрутная (все)	35,57	39,05	37,14
СВЖД маршрутная (ТД)	41,96	43,91	43,33
ГЖД маршрутная (все)	29,37	29,18	29,28
ГЖД маршрутная (ТД)	29,27	33,53	31,97
СЕВЖД маршрутная (все)	27,05	37,89	31,32
СЕВЖД маршрутная (ТД)	35,35	40,83	38,27
ОКТЖД маршрутная (все)	31,91	33,24	32,52
ОКТЖД маршрутная (ТД)	46,62	49,38	47,98

Рис. 9. Маршрутная скорость движения поездов по дорогам

Изменение пропускной способности дуг в динамике:

$$0 \leq u_{ij}(t) \leq v_{ij}(t); p_i, p_j \in P, t = \overline{0, T}.$$

Возможность изменения пропускной способности дуг в определенные периоды времени – в большинстве случаев это технологические «окна».

Во время «окна» существенно уменьшается пропускная способность участка. Модель должна учитывать этот фактор при корректировке ритмов отправления.

Динамически изменяемые стоимости пропуска потоков:

$$J_1 = \sum_{t=0}^T \sum_{p_i, p_j \in P, i \neq j} c_{ij}(t) u_{ij}(t) - \text{транспортные расходы.}$$

В основном используются частные вагоны, владельцы которых могут менять стоимость в зависимости от складывающейся ситуации. Время хода в модели при перевозке металлургических грузов будет в диапазоне 1–7 суток. Так что расчетный период необходимо выбирать не менее 15 суток. У владельца

может быть такая ситуация: в течение 10 суток нет хороших заказов, а потом есть. И цена использования вагонов потом может резко увеличиться.

Динамически изменяемая стоимость простоя вагонов у получателя:

$$J_3 = \sum_{t=0}^T \sum_{p_i \in P} c_{ij}(t) u_{ij}(t) - \text{затраты на хранение у потребителей.}$$

Для определения реальных затрат у потребителей при сгущенном прибытии необходимо строить имитационные модели входных станций. Больше всего в качестве аппарата подходит имитационная система ИСТРА [6]. Имитационная модель выдает исчерпывающий набор показателей, необходимый для расчета параметров. Избыточное прибытие поездов снижает маневренность станции и тем самым увеличивает общий простой вагонов (рис. 10).

Но при сгущенном прибытии часть поездов не сможет быть принята, а стоимость простоя вагонов в «брошенных» поездах может быть совсем другой (рис. 11).



Рис. 10. Увеличение простоя вагонов на станции при сгущенном прибытии

параметр	кол-во
Прибыло поездов	72
Отправлено поездов	72
Прибыло вагонов	3614
Отправлено вагонов	3551
Количество непринятых поездов	6
Количество непринятых вагонов	350

Рис. 11. Непринятые поезда при сгущенном подводе

Таким образом, использование имитационных моделей для определения параметров оптимизационных потоковых моделей может существенно повысить корректность расчетов. Результат работы оптимизационной модели

покажет, когда каждый из поездов должен оказаться на той или иной станции. Это дает основу для принятия управляющих решений и может использоваться для создания автоматизированных систем. ■

Литература

1. Козлов П. А., Миловидов С. П. Оптимизация структуры транспортных потоков в динамике при приоритете потребителей // Экономика и математические методы. – Т. XVIII. – Вып. 3. – М., 1982. – С. 521–531.
2. Козлов П. А., Миловидов С. П. Распределительная динамическая транспортная задача с управляемыми задержками в сетевой постановке // Известия АН СССР. Техническая кибернетика, 1983.
3. Козлов П. А., Миловидов С. П., Попов А. Т. Организация работы технологического транспорта в промышленных системах // Экономика и математические методы, т. XVIII. – Вып. 3. – М., 1982. – С. 521–531. ISSN 0424-7388.
4. Козлов П. А., Мишарин А. С. Двухуровневая модель управления грузопотоками на железнодорожном транспорте // Изв. РАН. Теория и системы управления. – № 5. – 2002. – С. 136–145. ISSN 0002-3388.
5. Козлов П. А., Набойченко И. О. Расчет инфраструктурного развития полигона для тяжеловесного движения // Транспорт Урала, 2015, № 2 (45). С. 3–6. ISSN 1815-9400.
6. Козлов П. А., Тушин Н. А., Пермикин В. Ю., Слободянюк И. Г. Технология макро моделирования транспортных узлов / Транспорт Урала, 2014. № 3. С. 3–6. ISSN 1815-9400.

Literature

1. Kozlov P. A., Milovidov S. P. Consumer-focused optimization of the structure of transport flows in dynamics // Economics and mathematical methods [Optimizaciya struktury transportnyh potokov v dinamike pri prioritete potrebitel'ej // Ekonomika i matematicheskie metody] Vol. XVIII. Issue 3. M., 1982. 521–531 pp.
2. Kozlov P. A., Milovidov S. P. Distributive dynamic transport task with controlled delays in network setting // News bulletin of the USSR Academy of Sciences. Engineering cybernetics, 1983 [Raspreditel'naya dinamicheskaya transportnaya zadacha s upravlyaemymi zaderzhkami v setевой postanovke // Izvestiya AN SSSR. Tekhnicheskaya kibernetika, 1983].
3. Kozlov P. A., Milovidov S. P., Popov A. T. Organization of technological transport operation in industrial systems // Economics and mathematical methods [Organizaciya raboty tekhnologicheskogo transporta v promyshlennyh sistemah // Ekonomika i matematicheskie metody] Vol. XVIII. Issue 3. M., 1982. 521–531 pp. ISSN 0424-7388.
4. Kozlov P. A., Misharin A. S. A two-level model of freight traffic management in railway transport // News bulletin of the Russian Academy of sciences. Theory and management systems [Dvuhurovnevaya model' upravleniya gruzopotokami na zheleznodorozhnom transporte // Izv. RAN. Teoriya i sistemy upravleniya]. № 5. 2002. 136–145 pp. ISSN 0002-3388.
5. Kozlov P. A., Nabojchenko I. O. Calculation of infrastructure development of a testing ground for heavy haul traffic // Transport of the Urals [Raschet infrastruktornogo razvitiya poligona dlya tyazhelovesnogo dvizheniya // Transport Urala], 2015, № 2 (45). 3–6 pp. ISSN 1815-9400.
6. Kozlov P. A., Tushin N. A., Permikin V. Y., Slobodyanyuk I. G. Macro modelling technology of transport hubs // Transport of the Urals [Tekhnologiya makromodelirovaniya transportnyh uzlov // Transport Urala], 2014. № 3. 3–6 pp. ISSN 1815-9400.

Статья сдана в редакцию 7 февраля 2019 года

УДК 656.025.2

М.А. Журавская, Я.А. Бучельникова, М.Н. Дивакова

Устойчивое развитие как основа для формирования транспортного каркаса города нового тысячелетия

UDC 656.025.2

М.А. Zhuravskaya, Y.A. Buchelnikova, M.N. Divakova

Sustainable development as the basis for forming the transport framework of a city of the new millennium

Аннотация

В Повестке дня ООН в области устойчивого развития на период до 2030 года транспорт определен как основной компонент устойчивого развития. Устойчивый транспорт включен в несколько целей устойчивого развития общества, среди которых продовольственная безопасность, здравоохранение, энергетика, инфраструктура, а также города и населенные пункты. Настоящая статья посвящена вопросам формирования устойчивой транспортной инфраструктуры города нового тысячелетия, когда на смену теории экономического роста приходит теория устойчивого

развития. В работе на основе литературного обзора проведен анализ эволюционного развития транспортных и экологических каркасов населенных пунктов и установлено отсутствие целостного подхода при организации транспортно-логистических систем современных городов. Выявлены противоречия при формировании экологических и транспортных каркасов городов.

Сделан акцент на создание сети транспортно-пересадочных узлов (ТПУ) федерального значения как узлов, где образуются устойчивые связи между транспортной, социальной и экологической системами и происходит их

интеграция в единый каркас. Проведен анализ значимости транспортно-пересадочных узлов для разных категорий потребителей транспортно-логистической услуги в городе на основе разработанного авторами опросного листа, который включает две группы потребностей граждан: базовые и индивидуальные. Предложено формировать экологический каркас города с учетом индивидуальных потребностей жителей и гостей города, т.к. именно они включают спектр предпочтений граждан к безопасной транспортно-логистической среде населенного пункта.

Пространственные решения организации ТПУ,

Статья рекомендована к публикации Е.Ю. Кузнецовой, д-ром экон. наук, профессором Уральского федерального университета. E-mail: e.y.kuznetsova@urfu.ru.

Марина Аркадьевна Журавская, канд. техн. наук, доцент; кафедра «Мировая экономика и логистика», Уральский государственный университет путей сообщения, Екатеринбург, Россия. E-mail: Mzhuravskaya@usurt.ru.

Яна Алексеевна Бучельникова, магистрант; кафедра «Градостроительство и ландшафтная архитектура» Уральского государственного архитектурно-художественного университета, Екатеринбург, Россия. E-mail: buchelnikova.yana@mail.ru.

Марина Николаевна Дивакова, канд. архитектуры, профессор; кафедра «Градостроительство и ландшафтная архитектура» Уральского государственного архитектурно-художественного университета, Екатеринбург, Россия. E-mail: fpk-d@yandex.ru.

Работа проведена при частичной финансовой поддержке РФФИ, проект № 18-07-00604.

The article is recommended for publication by E.Y. Kuznetsova, Doctor of Economics, Professor of Ural Federal University. E-mail: e.y.kuznetsova@urfu.ru.

Marina Arkadievna Zhuravskaya, Candidate of Technical Science, Associate Professor; «World economy and logistics» Department of Ural State University of Railway Transport; Yekaterinburg, Russia. E-mail: Mzhuravskaya@usurt.ru.

Yana Alekseevna Buchelnikova, candidate for a master's degree; «Urban planning and landscape architecture» Department of Ural State University of Architecture and Art; Yekaterinburg, Russia. E-mail: buchelnikova.yana@mail.ru.

Marina Nikolaevna Divakova, Candidate of Architecture, «Urban planning and landscape architecture» Department of Ural State University of Architecture and Art; Yekaterinburg, Russia. E-mail: fpk-d@yandex.ru.

The work has been done with the partial financial support of RFBR (Russian Foundation for Basic Research), project № 18-07-00604.

или транспортно-социальный каркас, разработаны на примере Екатеринбурга, определены места размещения таких узлов на территории города.

Ключевые слова: транспортно-пересадочные узлы (ТПУ), теория устойчивого развития, транспортный каркас, экологический каркас, социальный каркас города.

DOI: 10.20291/2079-0392-2019-1-70-78

Annotation

Transport is identified as a major component for sustainable development in the United Nation's Agenda on sustainable development for the period until 2030. Sustainable transport is included into several targets of a society's steadfast development among which are food supply security, public healthcare, power-supply industry, infrastructure as well as cities and populated localities. This article addresses the issues of

forming sustainable transport infrastructure of a city of the new millennium when the economic growth theory is giving way to the sustainable development theory. Based on a review of literature the analysis of evolutionary development of transport and ecologic frameworks of populated localities is performed. It is found that arrangement of transport and logistics systems of modern cities lacks integrated approach. Some contradictions in forming ecologic and transport frameworks of a city are brought to light.

An emphasis is placed on creation of the network of transport-interchange hubs (TIH) of federal significance as the hubs where stable bonds are formed between transport, social and ecological systems, thus, they become integrated into a unified framework. The importance of transport-interchange hubs of transport and logistics services for different classes

of customers is analyzed based on the survey form which includes two groups of needs of a person: basic and individual. It is suggested that we should form the ecological framework of a city taking into consideration the individual needs of city's residents and visitors since it is they who determine an individual's range of preferences for a safe transport and logistics environment of a populated locality.

Some spatial solutions of organization of transport interchange hubs or transport and social framework are developed using Yekaterinburg as an example, the sites for such hubs are specified within the city limits.

Key words: transport-interchange hubs (TIH), sustainable development theory, transport framework, ecological framework, social framework of a city.

DOI: 10.20291/2079-0392-2019-1-70-78

Городская среда рассматривается учеными-урбанистами как сложная система с множеством входов, выходов и внутренних процессов. Транспортные потоки в городской среде часто не взаимосвязаны и не цикличны, и роль транспорта тут особая. Стремление общества к устойчивому развитию базируется на экономической, социальной и экологической сферах. Роль транспорта в устойчивом развитии была впервые признана на Саммите Организации Объединенных Наций в 1992 году. В последние годы глобальное внимание к транспорту продолжилось. На Конференции ООН по устойчивому развитию в 2012 году лидеры стран единодушно признали, что транспорт и мобильность имеют решающее значение для устойчивого развития. А устойчивый транспорт обеспечивает лучшую интеграцию экономики при сохранении

окружающей среды, улучшает социальную справедливость и устойчивость городов (рис. 1) [1].

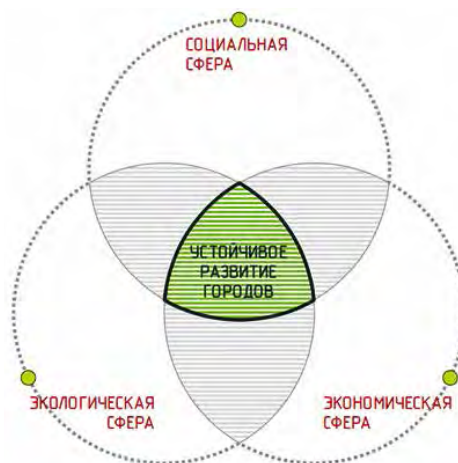


Рис. 1. Концепция устойчивого развития ООН

Первое десятилетие XXI в. дает начало так называемым экогородам, или «зеленым городам» [2], в которых скорость и экологическая безопасность являются основой жизни. Потенциал устойчивого развития современного города обеспечивается его каркасной инфраструктурой, прежде всего, транспортной [3]. В последние годы эксперты стали активно обсуждать тему транспортного каркаса различных территорий, по их мнению, развитие любой территории начинается с определения ее баланса и разработки транспортного каркаса. Транспортный каркас способен обеспечить сбалансированное развитие любой территории, включая современный город, создавая основу ее экономического развития. Транспортный каркас города должен строиться на основе теории устойчивого развития и принципах «зеленой» логистики [4], которая обеспечит взаимодействие различных видов транспорта на основе снижения негативного воздействия транспортных систем на окружающую среду.

Идеология транспортного каркаса города не нова. В первой половине XX в. немецкие ученые В. Кристаллер (1933) и А. Лёш (1940), работавшие в рамках немецкой школы пространственного анализа, создали общую концепцию центральных мест. Под центральным местом понимался крупный город, вокруг которого находилось зависимое от него одинаковое количество поселений k , занимающих более низкую иерархическую ступень. В качестве примера предложен случай с иерархическим рядом $k = 7$. Вокруг каждого города расположено шесть поселков (седьмой – сам город), а вокруг каждого поселка – шесть деревень. То есть вокруг высшей в данном случае степени иерархии – города – находится шесть поселков и 36 деревень. Вывод ученых: система иерархии от ступени к ступени отвечает правильной геометрической прогрессии. Например, при $k = 8$ в сфере влияния каждой деревни должно быть семь поселений, в сфере влияния каждого поселка – 49 поселений, в сфере влияния

каждого города – 343 поселения. В. Кристаллер выявил, что оптимальная форма группы тождественных центральных мест имеет форму шестиугольника [5].

Концепция транспортных каркасов расширена географами и градостроителями. Каркас города связан с сетью транспортных магистралей и является очень консервативной структурой, в отличие от так называемой ткани города – его застройки, которая может быть более подвижной и изменчивой [6].

Пространственный отпечаток транспорта на геометрию города перешёл в руки архитекторов-урбанистов и транспортников [7]. Эволюция научного представления о формировании транспортного каркаса города представлена на рис. 2.

В настоящее время классическое представление о транспортном каркасе, как о концепции «каркас-ткань», не претерпело больших изменений. Для формирования нового транспортного каркаса современному городу необходимо учитывать потребность в новой типологии публичного пространства. Городская транспортная модель XX в. достаточно проста, т. к. общество было индустриальным, и в рамках трудовой миграции человек использовал традиционные виды городского общественного транспорта. В XXI веке, в постиндустриальном или информационном обществе маршруты перемещений горожан меняются кардинально; так, по исследованиям ученых, уже в 2010 г. 26 % передвижений жителей крупного города не вписываются в старые схемы [8]. Требуются новые системы и виды транспорта, новые схемы управления, новые транспортные узлы.

Проблема усугубляется негативным воздействием транспорта на окружающую среду в буферных зонах дорожной сети, огромными временными затратами на передвижение, несоответствием трафика пропускной способности улично-дорожной сети, многокилометровыми дорожными заторами, сложностью внедрения инновационных видов транспорта и др.



Рис. 2. Эволюция формирования представлений о транспортном каркасе (составлено авторами)

Для формирования транспортного пространства города необходимо учитывать различные аспекты: географические, исторические и социально-экономические [9].

Транспортный, социальный и экологический каркасы являются ведущими и должны создавать основу развития городской структуры [3]. Однако в начале своего развития экологический каркас города формировался за счет парков и других озелененных территорий большой площади, т.е. это был точечный метод, который не давал экологической целостности. Концепция «каркас-ткань» тоже имеет ряд недостатков, среди них раздробленность и неоднородность (рис. 3).

Экологический каркас предлагается формировать на основе «диких»

и природных ландшафтов, соединенных коридорами [10], но и это не позволит комплексно решить проблему современного города, т.к. полноценность функционирования экокаркаса обеспечивается трёхуровневой системой его организации. Таким образом, решение перечисленных проблем видится во взаимной интеграции транспортного, социального и экологического каркасов. За счёт активного проникновения экологического каркаса в транспортный можно значительно сократить площадь буферных зон от транспортных коммуникаций и снизить негативное воздействие транспорта на городскую среду. Экологический каркас обретёт единую структурную связь в виде транспортных «зелёных коридоров», обеспечивающих целостность системы.

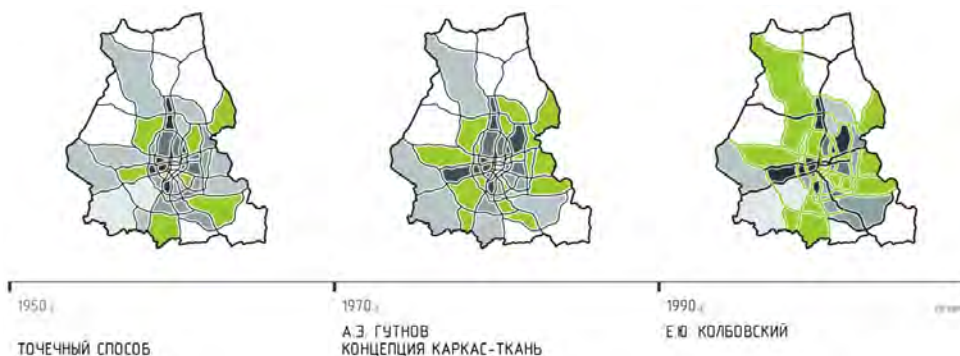


Рис. 3. Эволюция формирования представлений об экологическом каркасе (составлено авторами)

Если представить социальный каркас в виде точек наибольшей социальной активности, то можно предположить, что именно в этих узлах образуются устойчивые связи трёх систем. А эти точки, соответственно, будут находиться в коммуникативных узлах транспортного каркаса (рис. 4).

Проблему отсутствия интеграции между транспортным, социальным и экологическим каркасами современного города способны решить транспортно-пересадочные узлы (ТПУ). Транспортно-пересадочные узлы становятся основными коммуникационными элементами, обеспечивающими взаимодействие различных частей транспортной инфраструктуры с «тканью» города. В ТПУ обеспечивается взаимодействие различных видов транспорта с целью

создания максимально комфортных условий пересадки пассажиров с одновременным соблюдением всех технологических требований к функционированию систем пассажирского транспорта. Помимо выполнения транспортной функции ТПУ решает задачу торгово-бытового и досугового обслуживания населения. Перехватывающие парковки в ТПУ способствуют улучшению экологии города, уменьшая количество загрязняющих атмосферу выбросов от перехватываемого транспорта [11]. Таким образом, транспортно-пересадочные узлы станут местом сшивки трёх каркасов (транспортного, экологического и социального) и обеспечат устойчивое развитие города нового тысячелетия.

С целью изучения потребности горожан в ТПУ была разработана анкета,

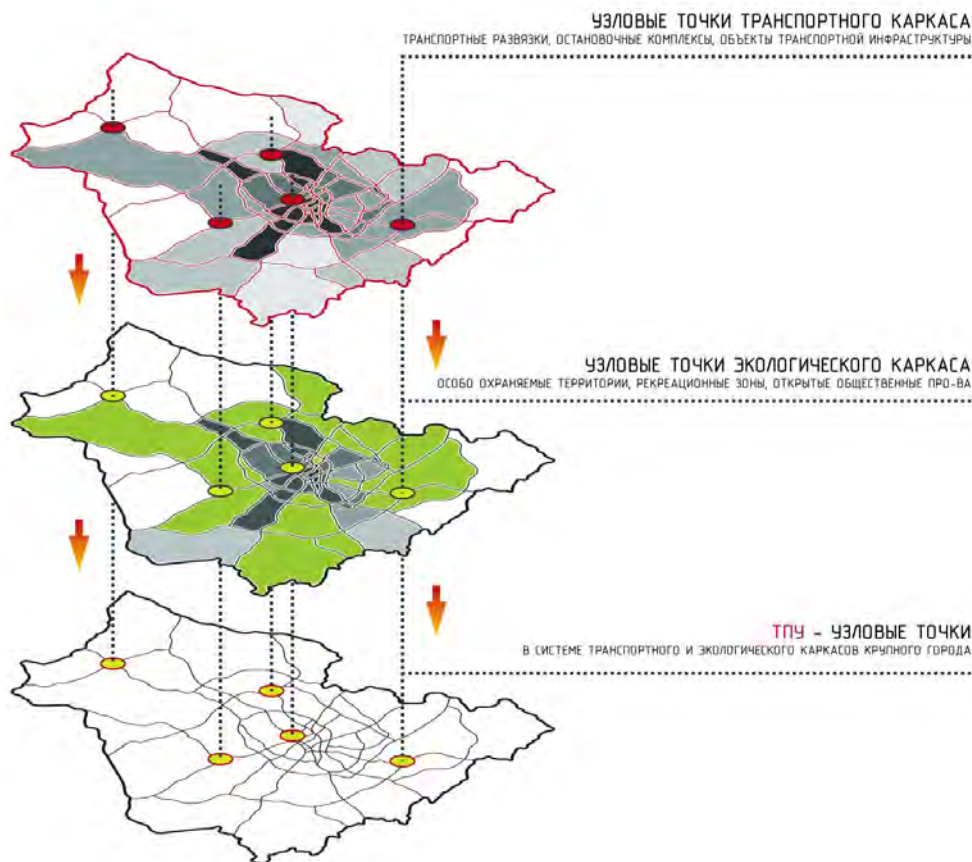


Рис. 4. Соответствие каркасной инфраструктуры и концепции устойчивого развития

состоящая из двух блоков предпочтений: базовых и индивидуальных. Потребности, связанные с экологической сферой, вошли в блок индивидуальных предпочтений. Осенью 2018 года в Екатеринбурге было опрошено более 450 человек, среди них: пассажиры городского общественного транспорта, водители общественного и личного транспорта, жители и гости города. Анализ выявил степень значимости ТПУ для разных групп потребителей (рис. 5).

Стоит отметить, что экологическая устойчивость, обеспечиваемая ТПУ, важна и для пассажиров, и для горожан, живущих поблизости от пересадочных узлов.

У каждого ТПУ (городского, регионального, федерального) должно быть свое место и роль в транспортно-экологическом каркасе города. Однако главенствовать в городском каркасе должны многоуровневые транспортно-пересадочные узлы федерального значения.

Опираясь на свои предыдущие исследования [12–15], авторы настоящего исследования совместили социальный и транспортный каркасы для Екатеринбурга, где ТПУ федерального значения служат его узловыми точками (рис. 6).

ВЫВОДЫ

1. В рамках проведенного исследования установлено, что научные направления развития транспортного и экологического каркаса городов развивались независимо и часто противоречат друг другу. Формировать транспортный каркас города нового тысячелетия требуется комплексно, с учетом экологического каркаса, согласно теории устойчивого развития.

2. Определено, что точками сшивки различных городских каркасов могут служить транспортно-пересадочные узлы федерального значения.

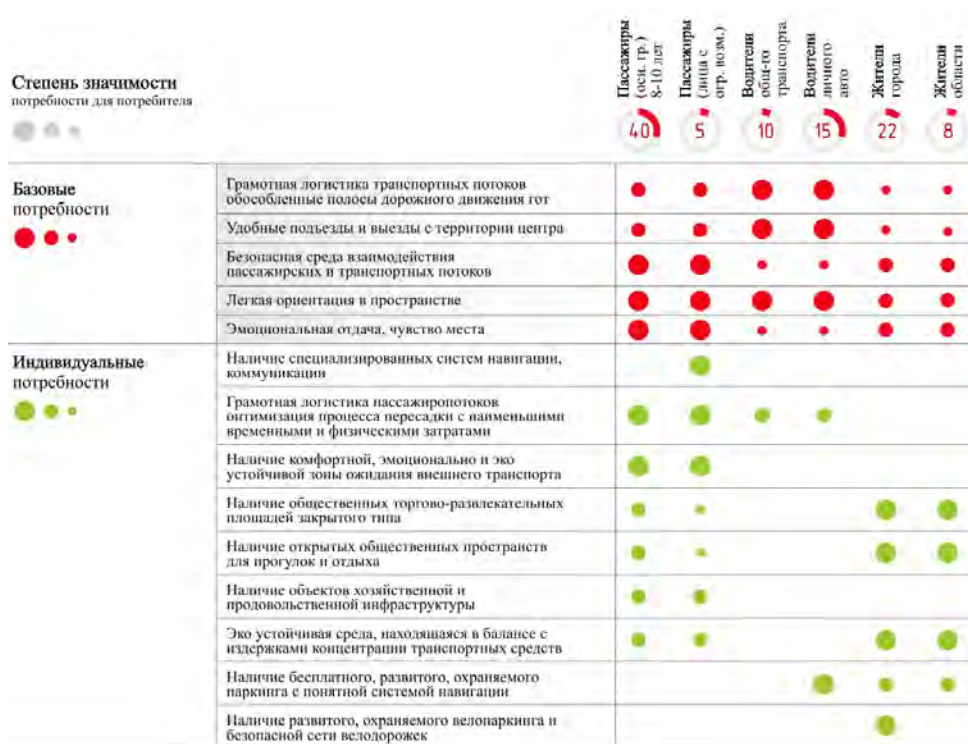


Рис. 5. Оценка значимости потребности в ТПУ для потребителя



Рис. 6. Транспортно-социальный каркас Екатеринбурга

Предложен вариант размещения таких ТПУ в Екатеринбурге.

3. По результатам анализа анкетирования значимости ТПУ установлено, что экологически благоприятная транспортная среда в большей степени волнует жителей городских агломераций.

Полученные результаты являются исходными данными для дальнейшей работы по моделированию экологического каркаса и его интеграции в транспортно-социальный каркас Уральской столицы. ■

Литература

1. Устойчивый транспорт. URL: <https://sustainabledevelopment.un.org/topics/sustainabletransport> (дата обращения: 15.01.2019).
2. Matthew E. Kahn. Green Cities: Urban Growth and the Environment // Washington, DC: Brookings Institution Press, 2006. 160 pp. ISBN 39780815748151.
3. Ильина И.Н. Экономика городского хозяйства. Кнорус, 2013. ISBN: 978-5-406-02140-8.
4. Журавская М. А. «Зеленая» логистика – стратегия успеха в развитии современного транспорта // Вестник УрГУПС. 2015. № 1 (25). С. 38–48. ISSN 2079-0392.
5. Christaller W. Central Places in Southern Germany. Translated by Carlisle W. Baskin. Pp. 230. Englewood Cliffs, N. J.: Prentice-Hall, 1966. ISSN 0002-7162.
6. Гутнов А. Э. Будущее города / А. Э. Гутнов, И. Г. Лежава. – М.: Стройиздат, 1977. – 126 с.
7. Кострикин Н. Д. «Жизнеспособные города». URL: <http://www.ecolife.ru/blogs/?p=741> (дата обращения: 15.01.2019).
8. Хосе Асебилло. Последствие плохого метаболизма города – низкое качество жизни его обитателей. URL: <http://www.archplatforma.ru/?act=1&nwid=1077> (дата обращения: 15.01.2019).
9. Matthew E. Kahn. Green Cities: Urban Growth and the Environment // Washington, DC: Brookings Institution Press, 2006. 160 pp. ISBN 39780815748151.
10. Колбовский Е. Ю. Региональный экологический каркас: проблемы формирования и развития // Проблемы региональной экологии. 1999. – № 4. С. 78–91.
11. Шмыголь И. В. Перспективы развития транспортно-пересадочных узлов в Российской Федерации // Транспорт Российской Федерации. 2014. № 4 (53). С. 16–19. ISSN 1994-831X.

12. Zhuravskaya M., Tarasyan V. Forming of the regional core transport network taking into account the allocation of alternative energy sources based on artificial intelligence methods // *Transport Problems*. 2014. Т. 9. № 4. С. 121–130. ISSN. 1896-0596.
13. Петров М. Б., Журавская М. А., Левченко М. А. Пути и возможности формирования дружественной сети регионального и городского общественного транспорта при создании ВСМ // *Инновационный транспорт*. 2016. № 4 (22). С. 3–8. ISSN 2311-164X.
14. Журавская М. А., Бучельникова Я. А., Кондратьева А. В. Пространственные решения организации ТПУ – важный элемент концепции дружелюбной транспортно-логистической сети города // *Вестник УрГУПС*. № 3 (35). 2017. С. 53–63. ISSN 2079-0392.
15. Журавская М. А., Коцан В. В., Парсюроева П. А. К вопросу формирования дружественной транспортной сети на основе анализа остановочных пунктов городских агломераций // *Инновационный транспорт*. 2016. № 2 (20). С. 15–21. ISSN 2311-164X.

Literature

1. Sustainable transport [Ustojchivyyj transport]. URL: <https://sustainabledevelopment.un.org/topics/sustainabletransport> (reference date: 01.15.2019).
2. Matthew E. Kahn. *Green Cities: Urban Growth and the Environment* // Washington, DC: Brookings Institution Press, 2006. 160 pp. ISBN 39780815748151.
3. Piina I. N. Urban economics [Ekonomika gorodskogo hozrajstva]. Knorus, 2013. ISBN 978-5-406-02140-8.
4. Zhuravskaya M. A. The «green» logistics – a strategy of success in the development of modern transport // *Herald of USURT* [«Zelenaya» logistika – strategiya uspekha v razvitii sovremennogo transporta // *Vestnik UrGUPS*]. 2015. № 1 (25). 38–48 pp. ISSN 2079-0392.
5. Christaller W. *Central Places in Southern Germany*. Translated by Carlisle W. Baskin. 230 p. Englewood Cliffs, N. J.: Prentice-Hall, 1966. ISSN 0002-7162.
6. Gutnov A. E. The future of a city [Budushhee goroda] / A. E. Gutnov, I. G. Lezhava. – M.: Stroyizdat, 1977. – 126 pp.
7. Kostrikin N. D. «Viable cities» [«Zhiznesposobnye goroda»]. URL: <http://www.ecolife.ru/blogs/?p=741> (date of reference 01.15.2019).
8. Josep Acebillo. The consequence of a bad metabolism of a city – poor life quality of its inhabitants [Posledstvie plohogo metabolizma goroda – nizkoe kachestvo zhizni ego obitatelej]. URL: <http://www.archplatforma.ru/?act=1&nwid=1077> (date of reference: 01.15.2019).
9. Matthew E. Kahn. *Green Cities: Urban Growth and the Environment* // Washington, DC: Brookings Institution Press, 2006. 160 pp. ISBN 39780815748151.
10. Kolbovskiy E. Y. Regional ecological framework: difficulties in forming and development // *Problems of regional ecology* [Regional'nyj ekologicheskij karkas: problemy formirovaniya i razvitiya // *Problemy regional'noj ekologii*]. 1999. – № 4. 78–91 pp.
11. Shmigol I. V. Prospects for the development of transport-interchange hubs in the Russian Federation // *Transport of the Russian Federation* [Perspektivy razvitiya transportno-peresadochnyh uzlov v Rossijskoj Federacii // *Transport Rossijskoj Federacii*]. 2014. № 4 (53). С. 16–19. ISSN 1994-831X.
12. Zhuravskaya M., Tarasyan V. Forming of the regional core transport network taking into account the allocation of alternative energy sources based on artificial intelligence methods // *Transport Problems*. 2014. V. 9. № 4. 121–130 pp. ISSN 1896-0596.
13. Petrov M. B., Zhuravskaya M. A., Levchenko M. A. Ways and possibilities for forming a friendly network of regional and urban public transport when a HSL (high-speed line) is created // *Innovational transport* [Puti i vozmozhnosti formirovaniya druzhestvennoj seti regional'nogo i gorodskogo obshhestvennogo transporta pri sozdanii VSM // *Innovacionnyj transport*]. 2016. № 4 (22). 3–8 pp. ISSN 2311-164X.
14. Zhuravskaya M. A., Buchelnikova Y. A., Kondrat'eva A. V. Spatial solutions for TIH (transport-interchange hub) organization – the key element of the concept of a friendly transport and logistics network of a city [Prostranstvennye resheniya organizacii TPU – vazhnyj element koncepcii druzhelyubnoj transportno-logisticheskoy seti goroda // *Vestnik UrGUPS* // *Herald of USURT*. № 3 (35). 2017. 53–63 pp. ISSN 2079-0392.

15. Zhuravskaya M. A., Kocan V. V., Parsyurova P. A. On the issue of forming a friendly transport network based on the analysis of stopping points in an urban agglomeration // Innovational transport [K voprosu formirovaniya družhestvennoj transportnoj seti na osnove analiza ostanovочных пунктов городских aglomeracij // Innovacionnyj transport]. 2016. № 2 (20). 15–21 pp. ISSN 2311-164X.

Статья сдана в редакцию 7 февраля 2019 года

Аспирантская тетрадь

УДК 621.316.12:621.332.3

А. Б. Батрашов

Конструкционные решения по выравниванию токовой и тепловой нагрузки проводов контактной сети постоянного тока

UDC 621.316.12:621.332.3

A. B. Batrashov

Constructive decisions on levelling of current and thermal load of DC catenary wires

Аннотация

Произведен анализ отказов контактной сети и определена доля отказов из-за теплового воздействия электрического тока. Установлено, что усиление контактной сети путем установки дополнительных электрических соединителей не снижает отказы струн по причине электромеханического износа.

В статье приводятся результаты электротепловых расчетов контактной сети постоянного тока и их анализ на наличие узких мест с точки зрения токовой и тепловой нагрузок. Это: узел средней анкеровки контактного провода, обвод усиливающих проводов на сопряжениях анкерных участков, звеньевые струны, узел подключения питающих проводов до первого поперечного электрического соединителя, подключение поперечного электрического соединителя к усиливающим проводам.

Разработаны конструкционные решения по выравниванию токовой и тепловой нагрузки. Произведен сравнительный анализ конструкций узла средней анкеровки на тепловую нагрузку продольных проводов контактной сети постоянного тока. Предложена конструкция узла средней анкеровки с поперечным шунтированием основными и дополнительными спусками. Применение такой конструкции позволяет выровнять токовую и тепловую нагрузку продольных проводов вблизи узла средней анкеровки. Предложена установка поперечных электрических соединений к усиливающим проводам в местах подключения питающих проводов, что позволяет выровнять токовую и тепловую нагрузку в несущем тросе, контактных и усиливающих проводах до первого поперечного электрического соединителя. Предложена установка электрического соединения между несущим тросом анкеруемой ветви и проводами обвода усиливающего провода.

На основании предложенных конструкционных решений разработаны этапы модернизации усиления контактной сети постоянного тока при организации тяжеловесного движения.

Ключевые слова: контактная сеть, контактная подвеска, постоянный ток, метод конечных элементов, средняя анкеровка, обвод усиливающего провода, звеньевые струны, питающие провода.

DOI: 10.20291/2079-0392-2019-1-79-88

Annotation

The analysis of catenary failures was made and the portion of failures due to electric current thermal effect was identified. Strengthening of the catenary system by putting additional electric connectors is found not to reduce failures of hangers due to electromechanical wear.

The article gives the results of electric and thermal calculations of DC catenary system and their analysis for weak points from current and thermal loads viewpoint. They are: a catenary wire midpoint anchoring node, a bypass of line feeders at tracking of anchoring sections, link hangers, a node of linking of feeding wires to the first transverse electric connector, linking of a transverse connector to line feeders.

Constructive decisions on leveling of current and thermal load are developed. A comparative analysis of midpoint anchoring node structures on thermal load of DC catenary transverse wires was made. The construction of midpoint anchoring node with transverse bypassing by main and additional conductors is proposed. Application of such construction makes it possible to level current and thermal loads of longitudinal wires near the midpoint anchoring node. Installation of transverse electrical connectors to line feeders at points of linking of line feeders is proposed, it enabling to level current and thermal load in the suspension strand, catenary and line feeders to the first transverse electric connector. Installation of electrical link between the anchored path suspension strand and line feeder bypass wires is proposed.

On the basis of proposed constructive decisions the stages of modernization of DC catenary system in organization of heavyweight traffic.

Keywords: catenary system, overhead catenary, Direct current (DC), terminal elements method, midpoint anchoring, line feeder bypass, link hangers, feeding wires.

DOI: 10.20291/2079-0392-2019-1-79-88

Статья рекомендована к публикации Е.В. Кудряшовым, канд. техн. наук, зам. гл. инженера по НИОКР АО «Универсал-контактные сети». E-mail: kev@uks.ru.

Андрей Борисович Батрашов, аспирант; кафедра «Электроснабжение транспорта» Уральского государственного университета путей сообщения; Екатеринбург, Россия. E-mail: AndreyBatrashov@gmail.com.

The article is recommended for publishing by E.V. Kudryashov, Candidate of technical science, Deputy Chief Engineer, ISC «Universal-catenary systems». E-mail: kev@uks.ru.

Andrey Borisovich Batrashov, post graduate student; Power Supply of Transport, Ural state university of railway transport; Ekaterinburg, Russia. E-mail: AndreyBatrashov@gmail.com.

В Стратегии развития железнодорожного транспорта определена потребность в увеличении объемов перевозок и пропуске поездов повышенной массы на период до 2030 г. [1]. Такое увеличение повысит токовые и тепловые нагрузки на контактную сеть. При проектировании действующих контактных подвесок тепловые и электрические расчеты осуществлялись с топологическими упрощениями узлов соединения проводов в местах подключения питающих проводов, на сопряжениях анкерных участков, в узлах средней анкеровки (СА), без учета таких конструктивных элементов, как струны, консоли, рессорные торсы, арматура контактной сети и т.п. Так, при организации тяжеловесного движения и пропуске поездов повышенной массы учащаются отказы, вызванные тепловым воздействием электрического тока, а выявление дефектных элементов происходит на тех участках контактной сети, которые либо ранее не были учтены в проектных расчетах, либо были учтены с существенными упрощениями.

Анализ отказов контактной сети показывает, что до 20 % из всех отказов (исключая пережоги контактного провода при ненормативных режимах тяги) возникают от теплового воздействия электрического тока. На рис. 1 представлены отказы контактной сети постоянно по годам.

Из рис. 1 видно, что количество отказов струн не снижается, несмотря

на мероприятия по усилению контактной подвески, связанные с обновлением и установкой дополнительных поперечных электросоединителей (ПС) (18,5 тыс. ед. в 2010–2017 гг.).

Валидация конечно-элементной модели электротеплового расчета контактной сети постоянного тока представлена в статье [2]; конечно-элементные модели обладают наиболее широким расчетными возможностями [3]. На основании этой модели проанализирована контактная сеть на наличие узких мест с точки зрения токовой и тепловой нагрузки.

Звеньевые струны

На рис. 2 представлены зависимость тока и перегрев звеньев струн для контактной подвески М-95 + 2МФ-100 + 2А-185 при проходе локомотива 3ЭС10 в режиме съема тока величиной 4400 А двумя токоприемниками на скорости 55 км/ч при условиях окружающей среды по [4]. Коэффициент черноты поверхности элементов контактной сети, длительное время находящихся в эксплуатации, равен 0,75 [5]. Расчет представлен для вариантов с расстановкой ПС в каждом пролете, через один пролет и с чередованием ПС, соединяющего несущий трос (НТ) и контактные провода (КП), и ПС с подключением к усиливающим проводам (УП). На рис. 2 зеленой пунктирной линией выделены ПС, конструкция которых подвергалась изменению при расчете.

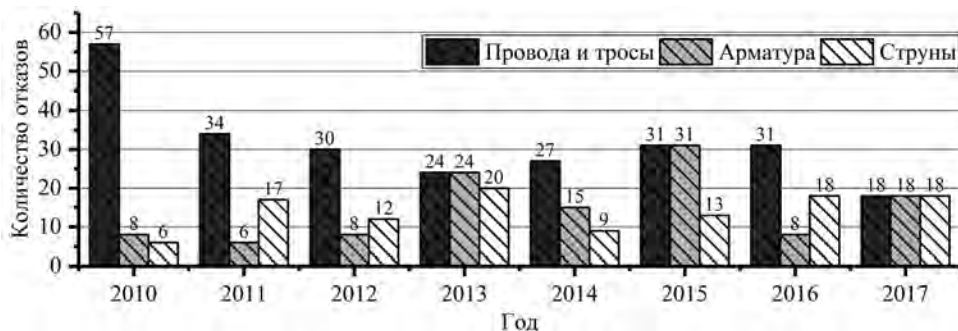


Рис. 1. Отказы контактной сети Свердловской железной дороги по годам

Согласно зависимости тока струн (рис. 2), видно, что установка ПС даже в каждом пролете не способна снизить токовую и тепловую нагрузки на все струны в пролете. ПС разгружает лишь ближайшие к нему струны и при этом не воздействует на струны в середине пролета.

Опираясь на работы по исследованию электрических контактов [6, 7] и их износа [8–10], можно сделать вывод, что износ звеньевых струн пропорционален количеству электричества, протекающего через разрывной контакт звена. Разрыв звеньев случается в момент прохода токоприемника под струной, что, согласно расчету, соответствует наибольшему току, протекающему через струну.

Таким образом, из проведенных электротепловых расчетов следует, что снижение отказов звеньевых струн из-за электромеханического износа возможно только при их изолированном исполнении. То же самое касается и усиков фиксаторов, которые из-за их наклонной установки подвержены нагреву даже транзитным током.

Узлы подключения питающих проводов

По результатам моделирования выявлено, что на участке контактной подвески от точки подключения питающих проводов (ПП) до ближайшего ПС происходит перераспределение токов между продольными проводами контактной подвески таким образом, что НТ и КП оказываются перегружены, а УП недогружен. На рис. 3, а представлено конструктивное исполнение узла подключения питающих проводов, выравнивающее данное перераспределение. На рис. 4 представлена зависимость температуры продольных проводов контактной подвески М-95 + 2МФ-100 + 2А-185 с 15%-ным износом КП и изолированными струнами при токе 2590 А для варианта с конструктивным исполнением по рис. 3, а в сравнении с вариантом существующего решения по подключению ПП и шлейфов разъединителей при температуре окружающей среды по [4].

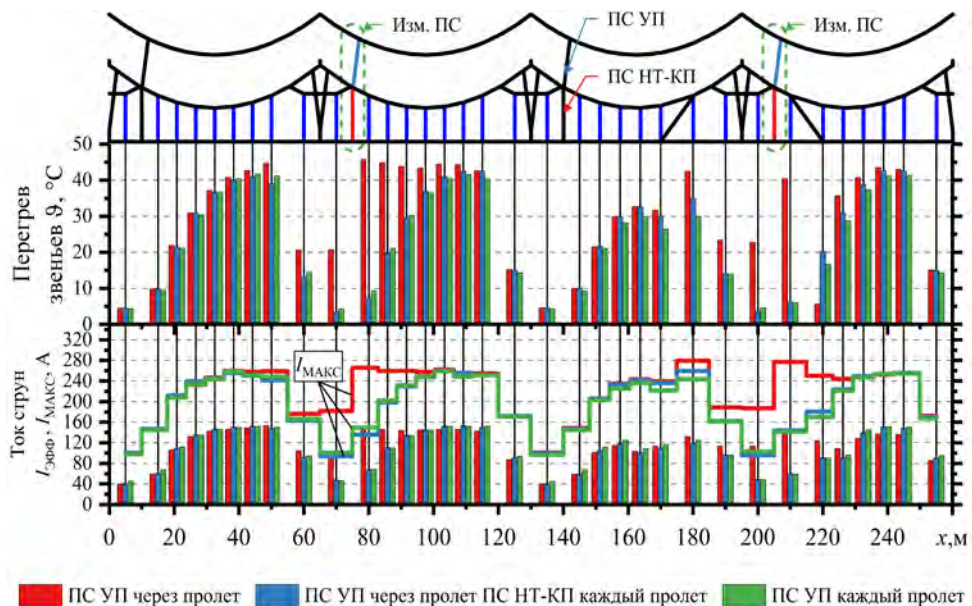


Рис. 2. Ток и перегрев звеньев струн

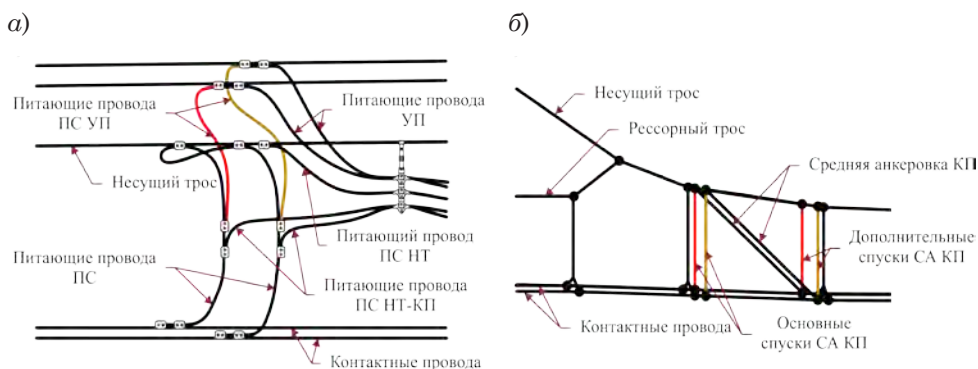


Рис. 3. Конструктивные исполнения узлов контактной сети
а – узел средней анкеровки; б – узел подключения питающих проводов

Узел средней анкеровки

На рис. 3, б представлены варианты конструктивного исполнения узла СА КП с основными и дополнительными спусками. Влияние троса СА на температуру НТ впервые рассмотрено в [11]. В [12, 13] представлено решение по продольному шунтированию НТ на участке между креплениями СА КП. В работе [14] впервые рассмотрен вариант поперечного шунтирования троса средней анкеровки основными спусками.

В таблице представлено сравнение перегрева проводов контактной сети в районе узла СА относительно пролетов без СА. Перегрев для троса СА (ТСА) представлен относительно температуры окружающего воздуха по [4]. Из таблицы видно, что наибольший перегрев имеет НТ контактной подвески с изолированными струнами при бронзовом ТСА. Наименьшим влиянием на температуру проводов контактной подвески оказывает ТСА, выполненный из стали – материала с высоким удельным электрическим сопротивлением. Вариант конструктивного исполнения узла СА с основными и дополнительными спусками показывает выравнивание температуры не только для НТ, как в варианте с шунтированием НТ, но и для КП. Таким образом, далее модернизация узла СА путем добавления

основных и дополнительных спусков рассматривается как наиболее предпочтительный вариант исполнения, так как он оказывает комплексное выравнивающее воздействие на температуру проводов контактной подвески.

На рис. 4 представлена зависимость температуры продольных проводов для варианта с конструктивным исполнением узла СА по рис. 3, б в сравнении с обычным вариантом исполнения рассматриваемого узла. При контактной подвеске с неизолированными струнами тепловое воздействие на провода контактной сети происходит в меньшей степени потому, что струны частично шунтируют ТСА, при этом ток по ним протекает даже в режиме транзита, осуществляя их предварительный нагрев. Таким образом, температура струн и их звеньев вблизи ТСА будет наибольшей, что видно на рис. 2.

Обвод УП

На сопряжениях анкерных участков (АУ) с обводом усиливающих проводов (рис. 5) в эксплуатации существует проблема повышенного износа струн (по сравнению с другими пролетами на АУ).

Расчеты показывают, что здесь ток в струнах в 1,4 раза выше, чем в удаленном пролете, а для ближайших к сопряжению пролетов – в 1,2 раза, что при

**Температура перегрева продольных проводов контактной подвески
в зависимости конструкции узла средней анкеровки**

Материал и марка провода	Вариант конструктивного исполнения	Температура перегрева провода в зоне СА ϑ , °C					
		струны изолированы			струны не изолированы		
		НТ	КП	ТСА	НТ	КП	ТСА
Сталемедный провод ПВСМ1-70	Без модернизации	28,8	4,9	8,5	19	4,7	10,7
	Продол. шунт. НТ	4	5,2	10,3	0,3	4,9	12
	Спуск основной	5,1	3,3	12	5,9	3,4	12,8
	Спуск осн. + доп.	4,8	1,6	13,6	5,7	1,1	13,6
Бронзовый трос Бр2-95	Без модернизации	43,2	6,3	8	31,5	7,3	10,7
	Продол. шунт. НТ	-7,1	8,1	11,4	-5,3	8,9	13,8
	Спуск основной	5,5	5	14	6,4	5,7	15,2
	Спуск осн. + доп.	5,4	2,2	17,2	6,3	1,63	17,1
Стальной трос Diera, D = 11мм	Без модернизации	12,8	2,7	7,5	7,8	1,9	8,2
	Спуск основной	4,4	1,9	8,4	5	1,8	8,6
	Спуск осн. + доп.	3,9	1,1	8,8	4,8	0,5	8,7

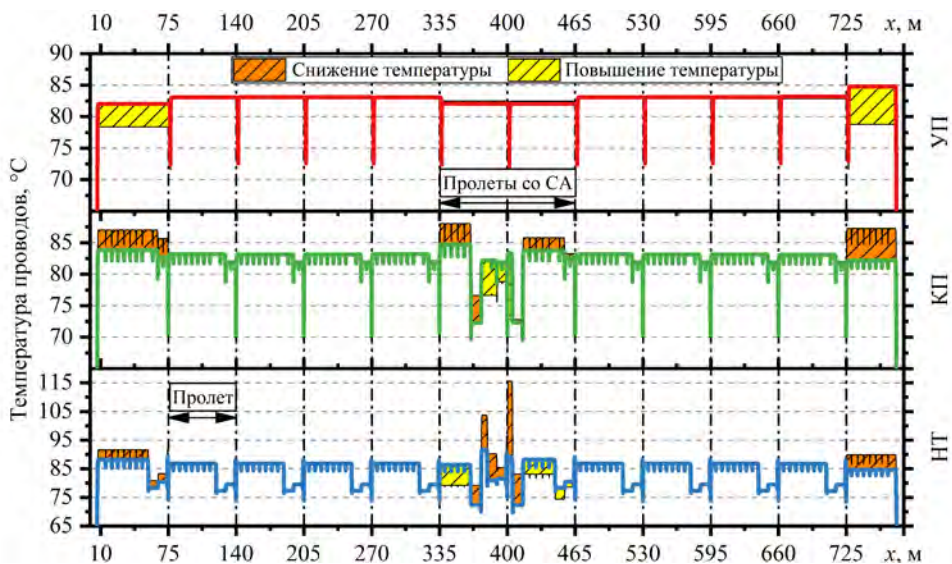


Рис. 4. Ток и перегрев звеньев струн



Рис. 5. Обвод усиливающих проводов на сопряжении АУ

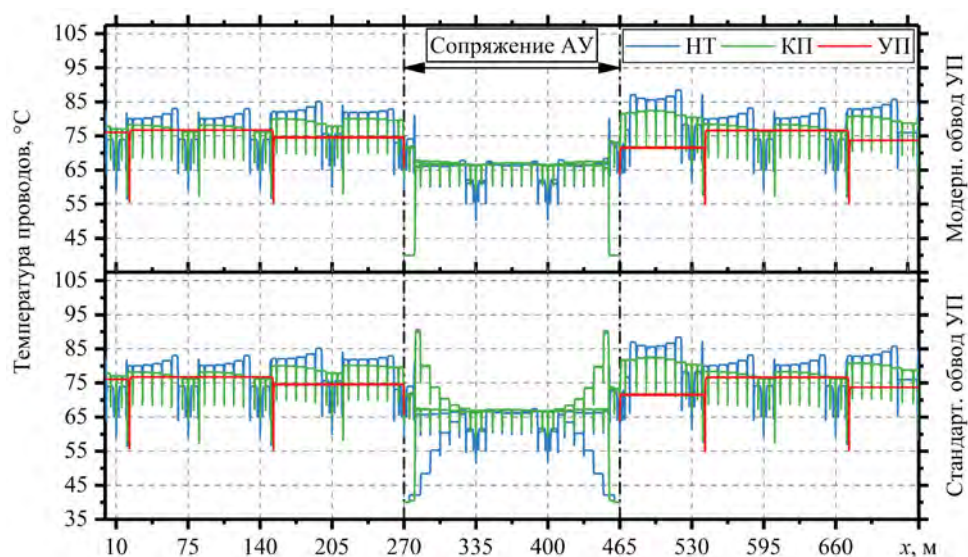


Рис. 6. Температура проводов на АУ до и после модернизации

прочих равных условиях повышают электромеханический износ звеньев струн.

Кроме того, на анкеруемой ветви ток из КП, к которым присоединены провода обвода, стекает в НТ, что приводит к повышенному нагреву струн. Модернизация участка заключается в установке электрического соединения от проводов обвода к НТ анкеруемой ветви.

Температура проводов на сопряжении АУ до и после модернизации представлена на рис. 6.

Поперечный электросоединитель

Соединения ПС подвержены токовой нагрузке лишь при нахождении токоприемника вблизи рассматриваемого соединителя. При тепловизионной диагностике выявляются зажимы КС-069 типа ПАМ, которые используются для соединения ПС и УП. Выявление дефектных соединений ПС с НТ и КП, как правило, не происходит. На рис. 7 представлены зависимости снижения доли эффективного тока, протекающего через ПС в режиме токо-съемки, и приведенное к току электро-подвижного состава тепловыделение

в соединениях ПС с продольными проводами контактной сети.

Из рис. 7 видно, что тепловыделение в дефектных зажимах ПС, расположенных на УП, существенно превышает максимально возможное тепловыделение в соединениях ПС с НТ и КП. Расчеты показывают, что для соединений ПС с НТ и КП превышения температуры дефектных зажимов над температурой продольных проводов не происходит даже при значениях переходного сопротивления $R_{\text{п}}$, соответствующих режиму максимального тепловыделения в зажимах. При этом средняя температура перегрева дефектного соединения УП и ПС над температурой нормального зажима при расчетах достигала 235 °С. Подобное значение температуры перегрева может привести к отказу от температурного воздействия электрического тока.

На основании представленных расчетов разработаны следующие этапы модернизации контактной сети при организации тяжеловесного движения и пропуске поездов повышенной массы.

Этап I. Модернизация узла средней анкеровки. Выполняется как предварительная подготовка перед установкой

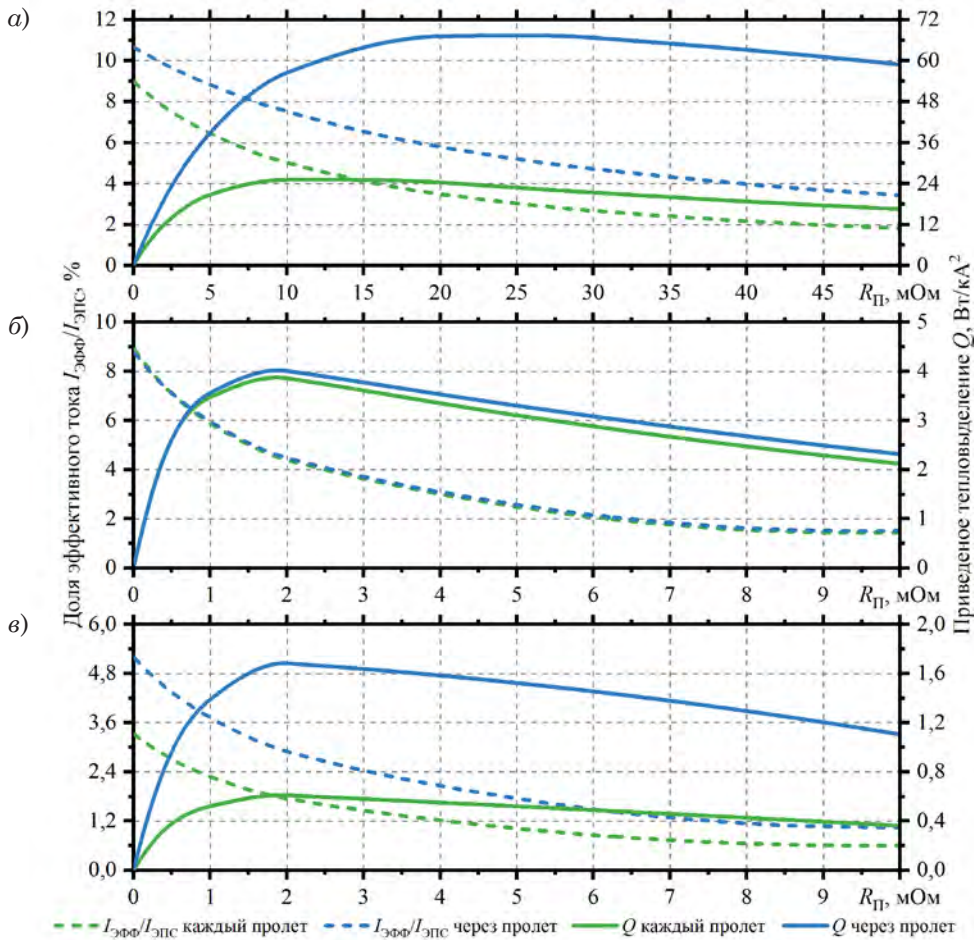


Рис. 7. Доля эффективного тока и приведенное тепловыделение дефектного зажима ПС в зависимости от значения переходного сопротивления R_{π}
а – зажим КС-069 на УП; б – зажим КС-053 на КП; в – зажим КС-055 на НТ

изолированных струн на участке контактной сети. Для участков контактной сети с бронзовыми тросами средней анкеровки модернизация обязательна из-за существенной тепловой перегрузки участка НТ (до 31,5 °С) даже с изолированными струнами.

Этап II. Изоляция звеньевых струн. Позволит полностью исключить отказы струн по причине электромеханического износа, чего невозможно добиться путем усиления контактной подвески с помощью дополнительных ПС.

Этап III. Замена трехблочных компенсаторов на блочно-полиспастные компенсаторы КБП-3 или их аналоги.

Необходима для компенсации температурных деформаций проводов контактной сети, которые с повышением температурной нагрузки будут работать в более широком температурном диапазоне.

Этап IV. Усиление соединений ПС с УП. Контактное соединение обладает наибольшими нагрузками из всех поперечных проводов контактной сети. Это связано с тем, что ближайшие дублирующие пути тока для этого соединения – соседние ПС к УП. Соединения же ПС с НТ и КП имеют дублирующие пути в виде струн, консолей, СА, поперечных соединителей НТ и КП, которые устанавливаются чаще, чем ПС к НТ

и др. Кроме того, контакт с алюминиевыми проводами больше подвержен повышению переходного сопротивления вследствие свойств алюминия [9]. Усиление соединений предлагается производить путем установки двух зажимов.

Этап V. Модернизация обводов УП. Соединение проводов обвода с НТ анкеруемой ветви. Этап позволяет выровнять токовую нагрузку, а это снизит тепловую нагрузку на КП и струны анкеруемой ветви.

Этап VI. Поперечное электрическое соединение к УП в месте подключения ПП. Позволяет выровнять нагрузку продольных проводов на участке от подключения ПП до первого ПС.

В ходе проведенных исследований выявлено, что усиление контактной подвески постоянного тока со звеньевыми струнами путем установки дополнительных ПС влияет только на струны, расположенные вблизи ПС, а для струн, расположенных в середине пролета, снижение токовой нагрузки и тепловой нагрузки оказывается незначительным.

Выявлено, что тепловизионная диагностика соединений ПС с НТ и КП

неэффективна из-за низкого тепловыделения в дефектных зажимах рассматриваемых соединений. При этом существенной тепловой нагрузке подвержены соединения ПС с УП, для чего предлагается дублирование соединения.

Выявлены узкие места в контактной подвеске с точки зрения токовой и тепловой нагрузки (узел СА, соединение ПС с УП, продольные провода контактной подвески на участке от места подключения ПП до первого ПС).

Разработаны конструкционные решения по устранению узких мест, применение которых разбито на соответствующие этапы модернизации контактной подвески постоянного тока.

Предложенные этапы модернизации контактной подвески позволят усилить контактную подвеску при подготовке участка железнодорожной линии к тяжеловесному движению и пропуску поездов повышенной массы. Устранение узких мест повышенной токовой и тепловой нагрузки в элементах контактной подвески позволит уменьшить число отказов контактной сети из-за теплового воздействия электрического тока. ■

Литература

1. Стратегия развития железнодорожного транспорта в Российской Федерации до 2030 года (утв. распоряжением правительства РФ от 17 июня 2008 года № 877-п) // Собр. Законодательства РФ. 2008. URL: <http://www.szrf.ru/szrf/doc.phtml?nb=100&issid=1002008029000&docid=129> (дата обращения: 22.01.2019).
2. Паранин А.В., Батрашов А.Б. Валидация математической модели электротеплового расчета контактной подвески постоянного тока на базе масштабной модели // Вестник ВНИИЖТ. 2018. № 4. С. 222–229. ISSN 2223-9731.
3. Батрашов А.Б. Сравнение моделей токораспределения в контактных подвесках постоянного тока // Известия Транссиба. 2017. № 4. С. 54–67. ISSN 2220-4245.
4. ЦЭ-868 Правила устройства и технической эксплуатации контактной сети электрифицированных железных дорог. М. : Трансиздат, 2002. 184 с.
5. Kiessling F., Puschmann R., Schmieder A., Schneider E. Contact Lines for Electric Railways. Planning, Design, Implementation, Maintenance. Erlangen: Publicis Publishing, 2009. 994 p. ISBN 978-3-89578-322-7.
6. Брон О.Б. Электрические аппараты с водяным охлаждением. Ленинград : Энергия, 1967. 265 с.
7. Брон О.Б., Гусев В.И. Явления в контактах низковольтных аппаратов при включении ими больших токов короткого замыкания // Электросила. 1973. № 29. С. 124–128.
8. Мелькумов А.М., Шлейфман И.Л. Износ контактов в высоковольтных маломасляных выключателях // Электротехника. 1968. № 9. С. 21–24.
9. Хольм Р. Электрические контакты. М. : Изд-во иностранной литературы, 1961. 464 с.
10. Залесский А.М. Основы теории электрических аппаратов. М. : Высшая школа, 1974. 184 с.

11. Марский В.Е. Определение нагрузочной способности контактных подвесок постоянного тока и их элементов // Новое в хозяйстве электроснабжения / под ред. А.Б. Косарева. М. : Интекст, 2003. С. 123–127. ISBN 5-89277-050-8.
12. Схемные и конструктивные решения по контактной сети участка Москва – Казань высокоскоростной железнодорожной магистрали Москва – Казань – Екатеринбург. Расчет электротехнических параметров контактной сети / АО «Универсал – контактные сети». СПб, 2016. 209 с.
13. Альбом КС-200-06-К Схемные конструктивные решения узлов контактной сети постоянного тока для скоростей движения до 200 км/ч. СПб : «Универсал-контактные сети», 2009. 165 с.
14. Паранин А.В. Расчет распределения тока и температуры в контактной подвеске постоянного тока на основе метода конечных элементов // Вестник ВНИИЖТ. 2015. № 6. С. 33–38. ISSN 2223-9731.

Literature

1. Strategy of railway transport development in the Russian Federation up to the year of 2030 (confirmed by RF government order as of June 17 2008 № 877-p) [Strategiya razvitiya zheleznodorozhnogo transporta v Rossijskoj Federacii do 2030 goda (utv. rasporyazheniem pravitel'stva RF ot 17 iyunya 2008 goda № 877-r)] // RF Legislation. 2008. URL: <http://www.szrf.ru/szrf/doc.phtml?nb=100&issid=1002008029000&docid=129> (reference date: 22.01.2019).
2. Paranin A.V., Batrashov A.B. Validation of mathematical model of electrical and thermal calculation of direct current overhead catenary using a scaled model [Validaciya matematicheskoy modeli elektroteplovogo rascheta kontaktnoj podveski postoyannogo toka na baze masshtabnoj modeli] // VNIIZhT Herald. 2018. № 4. P. 222–229. ISSN 2223-9731.
3. Batrashov A.B. Comparison of models of power distribution in DC overhead catenary [Sravnenie modelej tokoraspredeleniya v kontaktnyh podveskah postoyannogo toka] // Transsib Bulletin. 2017. № 4. P. 54–67. ISSN 2220-4245.
4. ЦЭ-868 Rules of arrangement and technical maintenance of electrified railways catenary system [CE-868 Pravila ustrojstva i tekhnicheskoy ekspluatatsii kontaktnoj seti elektrificirannyh zheleznyh dorog]. M. : Transizdat, 2002. 184 p.
5. Kiessling F., Puschmann R., Schmieder A., Schneider E. Contact Lines for Electric Railways. Planning, Design, Implementation, Maintenance. Erlangen: Publicis Publishing, 2009. 994 p. ISBN 978-3-89578-322-7.
6. Bron O.B. Electrical devices with water cooling [Elektricheskie apparaty s vodyanym ohlazhdeniem]. L. : Energy, 1967. 264 p.
7. Bron O.B., Gusev V.I. Effects in contacts of low-volt devices on switching heavy currents of short circuit [Yavleniya v kontaktah nizkovol'tnyh apparatov pri vkl'yuchanii imi bol'shih tokov korotkogo zamykaniya] // Electrosila. 1973. № 29. P. 124–128.
8. Melkumov A.M., Shleifman I.L. Wear of contacts in high-volt small-oil volume circuit breakers [Iznos kontaktov v vysokovol'tnyh malomaslyanyh vyklyuchatelyah] // Elektrotehnika. 1968. № 9. P. 21–24.
9. Holm R. Electric contacts [Elektricheskie kontakty]. M. : Foreign literature Publisher. 1961. 464 p.
10. Zalessky A.M. Fundamentals of theory of electrical devices [Osnovy teorii elektricheskikh apparatov]. M. : Higher school, 1974. 184 p.
11. Marsky V.E. Determination of load capability of DC overhead catenary and their elements [Opredelenie nagruzochnoj sposobnosti kontaktnyh podvesok postoyannogo toka i ih elementov] // New in power supply facilities/ edited by A.B.Kosarev. M. : Intext, 2003. P. 123–127. ISBN 5-89277-050-8.
12. Circuit and constructive decisions related to Moscow-Kazan section catenary of Moscow – Kазan – Ekaterinburg high-speed rail mainline. Calculation of catenary electrotechnical parameters [Skhemnye i konstruktivnye resheniya po kontaktnoj seti uchastka Moskva – Kазan` vysokoskorostnoj zheleznodorozhnoj magistrali Moskva – Kазan` – Ekaterinburg. Raschet elektrotekhnicheskikh parametrov kontaktnoj seti] / JSC «Universal – catenary systems». SPb, 2016. 209 p.
13. Album КС-200-06-К Circuit constructive decisions of DC catenary nodes for movement speeds up to 200 km/h [Al'bom KS-200-06-K Skhemnye konstruktivnye resheniya uzlov

- kontaktnoj seti postoyannogo toka dlya skorostej dvizheniya do 200 km/ch]. SPb : Universal – catenary systems, 2009. 165 p.
14. Paragin A.V. Calculation of distribution of current and temperature in DC overhead catenary on the basis of terminal elements method [Raschet raspredeleniya toka i temperatury v kontaktnoj podveske postoyannogo toka na osnove metoda konechnyh elementov] // VNIIZhT Herald. 2015. № 6. P. 33–38. ISSN 2223-9731.

Статья сдана в редакцию 22 января 2019 года

УДК 624.423

К.И. Доманов

Определение тормозных параметров электровоза двойного питания по результатам сертификационных испытаний

UDC 624.423

K.I. Domanov

Evaluation of dual mode locomotive braking parameters by the results of certification tests

Аннотация

В статье рассмотрены основные результаты сертификационных и приемочных тормозных испытаний инновационного грузового магистрального трехсекционного двухсистемного электровоза серии ЭВ120, проведенных на скоростном испытательном полигоне. Представлены показатели работы тормозной системы электровоза, которые были определены в ходе стационарных тормозных испытаний. Полученные данные использованы при проведении поездных испытаний и при итоговой обработке результатов. Описаны подготовительная часть и проведение опытных поездок ходовых тормозных испытаний. Эксперименты были проведены с учетом плана, профиля пути и длины участка железнодорожного пути, отведенного для испытаний при установленных конкретных значениях скорости перед началом торможения электровоза. Проведен анализ экспериментального массива данных, полученного по результатам серии опытных поездок двухсистемного электровоза. Определен средний уклон испытательного участка, рассчитана длина тормозного пути относительно номинальной скорости начала торможения и площадки с учетом профиля пути. Графически показано отличие полученных эмпирических данных от теоретических расчетных значений. Приведены результаты экспериментальной поездки по определению тормозного пути при использовании на электровозе электродинамический тормоз. Сделаны выводы о перспективе внедрения двухсистемных электровозов на сети железных дорог при полигонных принципах управления перевозочным процессом.

Ключевые слова: двухсистемный электровоз, двойное питание, ЭВ120, тормозные испытания, тормозной путь.

DOI: 10.20291/2079-0392-2019-1-89-95

Annotation

The article overviews the main results of certification and approval braking tests of series ЭВ120 innovational freight mainline three-unit dual-mode electric locomotive which were carried out at the speedy testing ground. Performance specifications of the electric locomotive braking system are presented which were evaluated during stationary braking trials. The data obtained were used during train tests and final processing of the results. The preparatory part and realization of trial trips of operational breaking tests are described. The experiments were carried out considering the plan, profile and length of the railway section which had been given for trials at the stated velocity values before breaking of the locomotive. The experimental data obtained by the results of a series of test trips of the dual-mode electric locomotive were analyzed. The section average curve was defined, the breaking distance in relation to braking initial nominal speed and the area considering the track profile were calculated. The difference between empiric data and theoretically calculated values is shown graphically. The results of the trial trip to define the braking distance when using the electrodynamic brake are given. The conclusions are drawn about the prospect of implementation of dual-mode electric locomotives on railways using testing ground principles of control over transportation process.

Key words: dual-mode electric locomotive, double-way feed, ЭВ120, braking trials, braking distance.

DOI: 10.20291/2079-0392-2019-1-89-95

Статья рекомендована к публикации В.Т. Черемисиным, д-ром техн. наук, профессором Омского государственного университета путей сообщения. E-mail: cheremisinv@gmail.com.

Кирилл Иванович Доманов, аспирант; кафедра «Подвижной состав электрических железных дорог» Омского государственного университета путей сообщения; г. Омск, Россия. E-mail: Domanov35@gmail.com.

The article is recommended for publishing by V.T. Cheremisin, Doctor of technical science, Professor, Omsk state university of railway transport. E-mail: cheremisinv@gmail.com.

Kirill Ivanovich Domanov, post graduate student, Rolling Stock of Electric Railways Chair, Omsk state university of railway transport; Omsk, Russia. E-mail: Domanov35@gmail.com.

В сентябре-октябре 2018 года проводились тормозные испытания магистрального двухсистемного трехсекционного электровоза серии ЭВ120 для сертификации его конструкционной скорости (140 км/ч), определения соответствия электровоза требованиям документов [1–3], а также длины тормозного пути одиночного электровоза при скоростях движения до 154 км/ч. Программа и методика предусматривают стационарные тормозные испытания и ходовые тормозные испытания. В России эксплуатируются магистральные грузовые электровозы новых серий, у которых конструкционная скорость, например, 2ЭС5 «Скиф» – 120 км/ч, 2ЭС5К «Ермак» – 110 км/ч, 2ЭС10 «Гранит» – 120 км/ч, 2ЭС4К «Дончак» – 120 км/ч, 2ЭС6 «Синара» – 120 км/ч. Это свидетельствует об уникальности проведенных испытаний, которые могут являться основой скоростного грузового движения на железнодорожных магистралях России.

В процессе стационарных испытаний проверяются отдельные характеристики тормозного оборудования электровоза на соответствие документу [3]. Испытания проводились научными сотрудниками АО ВНИИЖТ совместно с учеными Омского государственного университета путей сообщения на скоростном испытательном полигоне в г. Белореченске. Определялись длины тормозного пути одиночного электровоза для установленных на время поездок скоростей движения. Ходовые испытания проводились на установленных участках пути перегонов Майкоп – Ханская – Белореченская с разрешенной скоростью движения до 154 км/ч включительно. Для замеров использовались специализированные средства измерения: манометры по ГОСТ 2405; секундомер по ТУ 25-1819-002190; приемник навигационный МНП-М3.

Перед проведением комплекса стационарных тормозных испытаний было установлено зарядное давление тормозной магистрали 0,49–0,51 МПа (5,0–5,2 кгс/см²) в соответствии

с требованиями [2]. Перечень показателей, которые определены в ходе данных испытаний, представлен в таблице 1.

При подготовке к ходовым испытаниям особое внимание уделялось техническому состоянию пути и экипажной части электровоза. Осуществлен контроль рабочей поверхности рельсов и поверхностей катания колес локомотива – они должны были быть без видимых загрязнений. На рабочих поверхностях бандажей электровоза во время испытаний не допускаются дефекты, виды и геометрические параметры которых превышают значения, указанные в ЦТ-329 [4]. Была произведена заправка песком, проверена работа песочниц, свистка и тифона. При торможении колеса ЭВ120 не должны входить в состояние юза, для чего с электровоза от начала торможения до остановки подавался песок. Испытания проводились при включенном воздухораспределителе на режим «Г» (груженный).

Скоростной испытательный участок Майкоп – Ханская – Белореченская имеет переменный профиль пути и отвечает следующим требованиям [2]: план пути – прямолинейный участок, допускается проводить испытания в кривой радиусом не менее 900 м с установленными для таких кривых максимальными скоростями, допускается иметь подъёмы и спуски на длине тормозного пути объекта крутизной не более $\pm 5\%$, при этом средний уклон на длине тормозного пути не должен превышать $\pm 3\%$, длина участка железнодорожного пути, отведенного для испытаний, составляет не менее полуторакратного расстояния, необходимого для разгона до разрешенной на данном участке эксплуатационной скорости локомотива и его торможения до полной остановки.

В ходовых тормозных испытаниях двухсистемного электровоза установлены конкретные значения скоростей (100, 120, 140 и 154 км/ч) для определения пройденного тормозного пути на прямом участке пути четного направления перегона Ханская – Белореченская

Таблица 1

Показатели работы тормозной системы электровоза

Показатель, ед. изм.	Нормативное значение показателя	Результат
Плотность питательной сети электровоза (при выключенных компресорных установках, нахождении контроллера автоматического тормоза в положении III, поездном положении рукоятки контроллера прямодействующего тормоза и выключенной осушке сжатого воздуха): снижение давления в питательной сети с 0,8 до 0,78 МПа в течение 150 с, МПа	Не более 0,02	В течение 150 с снижение давления составило 0,01
Плотность тормозной сети электровоза (при выключенных компрессорных установках, нахождении контроллера автоматического тормоза в положении III, поездном положении рукоятки контроллера прямодействующего тормоза и выключенной осушке сжатого воздуха): падение давления с 0,5 до 0,48 МПа в течение 60 с, МПа	Не более 0,02	В течение 60 с давление не изменилось
При нажатии на клапан аварийно-экстренного торможения время снижения давления в тормозной магистрали – с 0,5 до 0,25 МПа, с	Не более 3	Давление снизилось менее чем за 1 с
Проверка тормозного крана машиниста по темпу экстренной разрядки: после постановки органа управления крана машиниста в положение экстренного торможения время снижения давления в тормозной магистрали – с 0,5 до 0,25 МПа, с	Не более 3	
Толщина тормозных колодок, мм	Колодки должны быть чугунные, новые и притертые к колесам, толщиной не менее 55 мм, с повышенным содержанием фосфора	Тормозные колодки соответствовали указанным требованиям
Зазор между тормозными колодками и колесами, мм	Не более 7 мм и равномерный сверху и внизу колодок	Зазор между тормозными колодками и колесами соответствовал указанным требованиям

с 11 км по 4 км с занятием станции Ханская и перегона Майкоп – Ханская. Разгон электровоза при скоростях 100 и 120 км/ч производился со станции Ханская, при скоростях 140 км/ч и выше – с перегона Майкоп – Ханская. Торможение выполнялось с 10 по 8 км перегона Ханская – Белореченская в зависимости от набора фактической скорости

движения к моменту торможения. Испытания проводились в светлое время суток на выделенном участке пути, позволяющем производить разгон локомотива до установленной максимальной скорости 154 км/ч и экстренное торможение с остановкой в пределах расчетной дистанции. Тормозной путь на площадке при экстренном торможении

фрикционным пневматическим тормозом определялся при ходовых испытаниях (предварительно электровоз разогнали своим ходом до номинальной скорости). Скорость электровоза при испытаниях, как правило, должна быть постоянной с допускаемым отклонением $\pm 2\%$ от номинальной величины скорости в момент начала торможения. Для каждого значения номинальной скорости выполнялось не менее трёх торможений.

Сигналом для автоматического начала отсчета тормозного пути и скорости начала торможения считалась постановка управляющего органа крана машиниста в положение экстренного торможения. При всех видах торможений с помощью установленных манометров контролировалась величина изменения давления в исполнительных частях тормозных блоков. Отклонения давления в исполнительных частях тормозных блоков при торможении не превышало $\pm 0,1$ МПа от величины максимального давления, что соответствует [2]. Интервалы между опытами соответствовали времени остывания колодок до температуры ниже 100°C . По завершении каждой опытной поездки производился комиссионный осмотр экипажной части электровоза для выявления повреждений и дефектов.

Результаты опытных поездок фиксировались бортовыми компьютерами электровоза, принадлежащими специалистам ООО «Первая локомотивная компания». Специалисты АО ВНИИЖТ, ответственные за тормозные испытания, сортировали результаты и формировали отчет. Измеренные при стационарных испытаниях величины использовались при проведении поездных испытаний и при обработке их результатов.

Профиль экспериментального участка состоит из отдельных элементов, отличающихся длиной S и крутизной уклона i . При выполнении расчетов, связанных с движением поезда, число элементов профиля пути уменьшают за счет их спрямления, при котором несколько элементов с различными уклонами

заменяют одним – средним уклоном длиной S_c , равной сумме их длин. Это позволяет упростить расчеты, до некоторой степени сгладить изменение сил дополнительного сопротивления движению при переходе с одного элемента профиля пути на другой. Средний уклон определяется из выражения [5]:

$$i_c = \frac{i_1 S_1 + i_2 S_2 + \dots + i_i S_i}{S_c},$$

где S_i – длина каждого из элементов профиля, входящих в измеренный тормозной путь, м; S_c – измеренный тормозной путь, м; i_i – уклон пути каждого из элементов профиля, входящих в измеренный тормозной путь (минус – спуск, плюс – подъем), ‰.

Значение среднего уклона по результатам расчета составило $3,5\%$.

Пересчет измеренной длины тормозного пути на номинальную скорость начала торможения V_0 и площадку с учетом профиля участка производится по формуле [5]:

$$S_{\text{ТО}} = \frac{3,92(1 + \gamma)V_0^2 S_{\text{ТН}}}{3,92(1 + \gamma)V_{\text{Н}}^2 - i_c S_{\text{ТН}}},$$

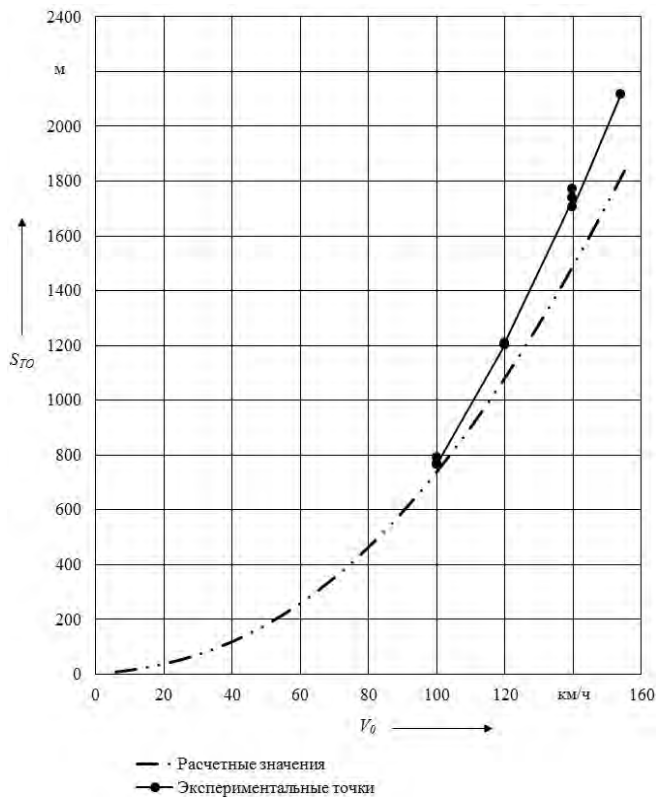
где $S_{\text{ТО}}$ – тормозной путь с номинальной скорости на площадке, м; $S_{\text{ТН}}$ – измеренный тормозной путь, м; V_0 – номинальная скорость, км/ч; $V_{\text{Н}}$ – фактическая (измеренная) скорость начала торможения, км/ч; γ – безразмерный коэффициент, учитывающий инерцию вращающихся масс (0,187); i_c – средний уклон пути участка торможения (минус – спуск, плюс – подъем), ‰.

По определенным значениям тормозных путей рассчитывается средний тормозной путь в каждой серии опытов с номинальной скорости начала торможения. В расчете используются те значения пути, которые отличаются от найденного среднего значения не больше, чем на $\pm 5\%$ [2]. В таблице 2 представлены данные, которые были получены по итогам опытных поездок, и результаты произведенных расчетов, представленных на рис.

Таблица 2

Данные, полученные по результатам испытательных поездок электровоза
2ЭВ120

№ опытной поездки	Уклон, %	Место остановки	Начальная скорость, км/ч	Приведенная скорость, км/ч	Тормозной путь, м	Приведенный тор- мозной путь для нулевого уклона	Приведенный тор- мозной путь для среднего уклона
1	-3,5	10 км	99,45	100	786	750	795
2	-3,5	10 км	100,58	100	775	724	766
3	-3,5	10 км	99,45	100	757	724	765
4	-2,7	10 км	119,03	120	1167	1132	1203
5	-2,7	10 км	119,44	120	1179	1136	1207
6	-2,7	10 км	119,95	120	1193	1139	1211
7	-3,1	9 км	139,31	140	1709	1630	1739
8	-3,8	8 км	140,59	140	1796	1658	1771
9	-4,1	8 км	141,00	140	1753	1604	1709
10	-4,1	8 км	150,00	154	2031	1983	2116
11	-4,1	8 км	153,60	154	2116	1971	2103
12	-4,1	8 км	155,20	154	2192	1998	2133



Тормозные пути электровоза 2ЭВ120

На рис. видно, что фактические тормозные пути электровоза отличаются от заявленных. Длина реального тормозного пути при скоростях выше 100 км/ч оказалась больше расчетной. Во время испытаний на электровозе были отключены электродинамический тормоз и система автоматического торможения при разъединении секций; при выполнении экстренного торможения обеспечивалась автоматическая подача песка под колеса. Одна опытная поездка все же осуществлена в целях научного интереса: произведено торможение электродинамическим тормозом со скорости 154 км/ч. Тормозной путь при данной поездке составил 978 м, когда при использовании пневматического тормоза при той же скорости начала торможения – 2184 м.

Приёмочные и сертификационные тормозные испытания электровоза 2ЭВ120 в целом подтвердили возможность движения электровоза с поездами в категории «скоростное движение поездов» при скоростях до 140 км/ч [6]. По результатам испытаний на груженом режиме получены эмпирические данные, являющиеся важнейшими

показателями тормозной системы электровоза: повышение давления в цилиндрах колодочных блоков от нуля до 0,46 МПа составило 13,2–15 с по манометру, установленному в кабине А, и от нуля до 0,45 МПа – 14–15 с по манометру кабины Б; максимально давление повышалось в отдельных опытах до 0,46–0,47 МПа за 18–19 с. Величины тормозных путей электровоза полностью экипированного и оборудованного чугунными тормозными колодками с содержанием фосфора 1,45–1,85 % при включении его воздухораспределителей на груженный режим и экстренном пневматическом торможении с давлением в цилиндрах тормозных блоков 0,46–0,46 МПа не превышают соответствующие нормативные значения указанных в [1] при скоростях начала торможения от 100 до 154 км/ч. Полученные результаты свидетельствуют о перспективности эксплуатации двухсистемного электровоза на Свердловской, Южно-Уральской и Западно-Сибирской железных дорогах в части увеличения технической скорости следования поездов и ежедневного пройденного этими поездами расстояния. ■

Литература

1. ГОСТ Р 55364–2012. Электровозы. Общие технические требования. Введ. 2012-12-19. – М. : ФГУП Стандартиформ, 2013. – 36 с.
2. Инструкции по техническому обслуживанию, ремонту и испытанию тормозного оборудования локомотивов и моторвагонного подвижного состава. М. : Минтранс, 1998. 72 с.
3. Правила технического обслуживания тормозного оборудования и управления тормозами железнодорожного подвижного состава. М. : Правтех, 2014. 182 с.
4. Инструкция по формированию, ремонту и содержанию колесных пар тягового подвижного состава железных дорог колеи 1520 мм. М. : Минтранс, 2000. – 94 с.
5. Осипов С. И., Осипов С. С., Феоктистов В. П. Теория электрической тяги. М. : Маршрут, 2006. 436 с.
6. Правила технической эксплуатации железных дорог Российской Федерации. М. : Маршрут, 2010. 284 с.

Literature

1. GOST R 55364-2012. Electric Locomotives. General technical requirements [Elektrovozy. Obshhie tekhnicheskie trebovaniya]. Intro. 2012-12-19. – M. : FGUP Standartinform, 2013. – 36 p.
2. Instructions on technical maintenance, repairs and testing of braking machinery of locomotives and motor railway car rolling stock [Instrukcii po tekhnicheskemu obsluzhivaniyu, remontu i ispytaniyu tormoznogo oborudovaniya lokomotivov i motorvagonnogo podvizhnogo sostava]. M. : Mintrans, 1998. 72 p.

3. Rules of technical maintenance of braking machinery and control over railway rolling stock brakes [Pravila tekhnicheskogo obsluzhivaniya tormoznogo oborudovaniya i upravleniya tormozami zheleznodorozhnogo podvizhnogo sostava]. M. : Pravtech, 2014. 182 p.
4. Instruction on setting up, repairing and maintaining of wheel pairs of railway traction rolling stock having 1520 mm gauge [Instrukciya po formirovaniyu, remontu i sodержaniyu kolesnyh par tyagovogo podvizhnogo sostava zheleznih dorog kolei 1520 mm]. M. : Mintrans, 2000. – 94 p.
5. Osipov S. I., Osipov S. S., Feoktistov V. P. Theory of electric traction [Teoriya elektricheskoy tyagi]. M. : Route, 2006. 436 p.
6. Rules of technical maintenance of Russian Federation railways [Pravila tekhnicheskoy ekspluatatsii zheleznih dorog Rossijskoj Federacii]. M. : Route, 2010. 284 p.

Статья сдана в редакцию 22 января 2019 года

658.5.012.1

К.В. Панов

Имитационная модель производственно-логистического процесса локомотиворемонтного предприятия

658.5.012.1

K.V. Panov

Simulation model of production and logistic process of locomotive repair enterprise

Аннотация

В статье решаются задачи эффективности функционирования производственных систем локомотиворемонтного предприятия. Объектом исследования служат технологические процессы ремонта и сервисного технического обслуживания электровозов на предприятиях по ремонту тягового подвижного состава. На примере сервисного локомотивного депо Москва (Западно-Сибирская железная дорога, ЗСЖД) приведено математическое описание производственного процесса подобных предприятий. Математическая модель описана на основе теории массового обслуживания (СМО) и цепей Маркова. Приведен граф технологического состояния локомотива во время ремонта в депо, где процесс перехода ремонтируемого подвижного состава из состояния в состояние, т.е. взаимосвязи технологических перемещений электровоза по территории депо, а также время выполнения технологических операций описаны переходной матрицей. Распределение заявок на ремонт представлено при помощи закона Пуассона, задержка электровоза на участках депо на плановых видах ремонта – в соответствии с принятой нормой, а на неплановом виде ремонта заявки задерживаются в соответствии с распределением Эрланга.

По результатам математического описания модели производственного процесса ремонтного предприятия создана имитационная модель функционирования депо Москва, реализованная на ЭВМ (ПО AnyLogic). В работе даны логическая схема имитационной модели, выбранные методы и библиотеки моделирования. По результатам исследования проведена общая оценка технологических показателей работы локомотиворемонтного предприятия в условиях вероятностных динамических изменений ремонтного задания.

Ключевые слова: имитационное моделирование, ремонт подвижного состава, депо, теория массового обслуживания, AnyLogic, граф состояний, матрица переходов, производственная логистика.

DOI: 10.20291/2079-0392-2019-1-96-107

Annotation

The article looks upon issues of efficiency of locomotive repair enterprise production systems. Technological processes of repair and technical maintenance of electric locomotives at traction rolling stock repair enterprises are the object of investigations.

Mathematical description of production process of such enterprises is given by the example of the service locomotive depot Moskova (Western-Siberian railway, WSRY). Mathematical model is described on the basis of mass service theory and Markov's chains.

A technological condition diagram of a locomotive during repairs at the depot is given where the process of transition of the rolling stock under repairs from one condition into another, i.e. interlinks of technological movement of the electric locomotive around the depot territory as well as during technological operations are described by a transition matrix. Distribution of orders for repairing is presented with the help of Poisson law, delay of the electric locomotive at depot sections for scheduled repairs – according to the accepted norm, and in case of unscheduled repairs the orders are delayed in accordance with Erlang distribution.

By the results of mathematical description of the repair enterprise production process, the simulation model of depot Moskova was created, which was realized with ECM (AnyLogic). The paper gives logical scheme of the simulation model, chosen methods and modeling libraries. According to the results of the investigation a general evaluation of technological indicators of the locomotive repair enterprise performance under conditions of probable dynamic changes was made.

Key words: simulation modeling, rolling stock repairs, depot, mass service theory, AnyLogic, diagram of conditions, matrix of transitions, production logistics.

DOI: 10.20291/2079-0392-2019-1-96-107

Статья рекомендована к публикации С.Г. Истоминим, канд. техн. наук, доцентом Уральского государственного университета путей сообщения; E-mail: istomin@mail.ru.

Панов Кирилл Вячеславович, преподаватель кафедры «Подвижной состав электрических железных дорог» Омского государственного университета путей сообщения; Омск, Россия. E-mail: k.v.panov@ya.ru.

The article is recommended for publishing by S.G. Istomin, Candidate of technical science, Associate Professor, Ural state university of railway transport; E-mail: istomin@mail.ru.

Panov Kirill Vyacheslavovich, Teacher, Rolling Stock of Electric Railways Chair, Omsk state university of railway transport; Omsk, Russia. E-mail: k.v.panov@ya.ru.

Зачастую натурными экспериментами проблему не решить: нельзя разрушать или вносить изменения в уже имеющуюся систему функционирования или создавать новые объекты. В таких случаях строится модель реальной системы, то есть она описывается на языке моделирования [1, 2].

Технологические процессы ремонта подвижного состава носят стохастический характер, их показатели не могут быть точно рассчитаны при помощи аналитических формул и нуждаются в использовании имитационного моделирования функционирования предприятия на ЭВМ [3].

Ключевая задача сервисного локомотивного депо Московка заключается в обеспечении надежной безотказной работы в эксплуатации электровазозов серии 2ЭС6 и ВЛ 11 на Омском территориальном отделении ЗСЖД сети ОАО «РЖД» [4, 5].

Модель технологического процесса функционирования депо Московка представлена на рис. 1.

В процессе ремонта локомотив может находиться на следующих позициях: S0 – очередь на ремонт (нахождение локомотива на тракционных путях депо), S1 – участок технического обслуживания ТО-2, S2 – участок текущего ремонта ТР-1 (ТР-30) и ТР-2 (ТР-300), S3 – участок текущего ремонта ТР-3 (ТР-600), S4 – участок обточки колесных пар (ТО-4), S5 – участок непланового ремонта (НР), S6 – выдача

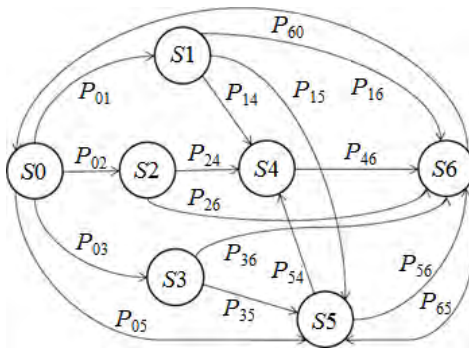


Рис. 1. Граф технологический состояний ремонтируемого локомотива

локомотива из ремонта и его приемка бригадой. Каждая позиция определяет соответствующее состояние локомотива в процессе ремонта в депо.

Переход ремонтируемого локомотива из текущего состояния S_i в состояние S_j (т.е. перемещение объекта ремонта с одной технологической позиции на другую) определяется вероятностью P_{ij} . Значит, взаимосвязи технологических перемещений локомотива в депо можно будет представить в виде матрицы:

$$G_k = \begin{pmatrix} - & (P_{12}, t_{12}) & \dots & (P_{1j}, t_{1j}) & \dots & (P_{1n}, t_{1n}) \\ (P_{21}, t_{21}) & - & \dots & (P_{2j}, t_{2j}) & \dots & (P_{2n}, t_{2n}) \\ \dots & \dots & \dots & \dots & \dots & \dots \\ (P_{i1}, t_{i1}) & (P_{i2}, t_{i2}) & \dots & (P_{ij}, t_{ij}) & \dots & (P_{in}, t_{in}) \\ \dots & \dots & \dots & \dots & \dots & \dots \\ (P_{n1}, t_{n1}) & (P_{n2}, t_{n2}) & \dots & (P_{nj}, t_{nj}) & \dots & - \end{pmatrix}, \begin{cases} \sum_{i=1}^n P_{ij} = 1 \\ \sum_{j=1}^n P_{ij} = 1 \\ k = 1, \dots, m, \end{cases}$$

где n – количество вершин графа (технологических участков), $n = 8$; $P_{ij} = [0, 1]$ – технологическая связь между i -й на j -й позициями (вероятность перехода): $P = 1$, если операции выполняются последовательно и безусловно, $P = 0$ если связь отсутствует; t_{ij} – время перемещения объекта с i -й на j -ю позицию, мин.

При этом время выполнения технологических операций определяется матрицей:

$$OT = \begin{pmatrix} (ot_{11}^{\min}, ot_{11}^{\max}) & (ot_{12}^{\min}, ot_{12}^{\max}) & \dots & (ot_{1m}^{\min}, ot_{1m}^{\max}) \\ (ot_{21}^{\min}, ot_{21}^{\max}) & (ot_{22}^{\min}, ot_{22}^{\max}) & \dots & (ot_{2m}^{\min}, ot_{2m}^{\max}) \\ \dots & \dots & \dots & \dots \\ (ot_{i1}^{\min}, ot_{i1}^{\max}) & (ot_{i2}^{\min}, ot_{i2}^{\max}) & \dots & (ot_{im}^{\min}, ot_{im}^{\max}) \\ \dots & \dots & \dots & \dots \\ (ot_{n1}^{\min}, ot_{n1}^{\max}) & (ot_{n2}^{\min}, ot_{n2}^{\max}) & \dots & (ot_{nm}^{\min}, ot_{nm}^{\max}) \end{pmatrix},$$

где ot_{ij}^{\min} , ot_{ij}^{\max} – минимальное и максимальное время выполнения операции на i -й позиции для j -го типа элементарного потока (объекта ремонта), мин.

Время технологической подготовки и переналадки ремонтной позиции при смене объекта ремонта:

$$pt_{ij} = (t_{ij}^{(1)}, t_{ij}^{(2)}, \dots, t_{ij}^{(n)}), \quad (3)$$

$$i = 1, \dots, m, \quad j = 1, \dots, m,$$

где pt_{ij}^k – среднее время переналадки k -й позиции при смене объекта ремонта с i -го на j -й тип ($t = 0$, если подготовка и переналадка не требуются).

Формирование потока заявок на обслуживание в виде потока заявок на ремонт с интенсивностью поступления в ремонт, 1/дн (ч):

$$Pot = (pot_1(t), \dots, pot_m(t)), t = 1, \dots, 24.$$

Среднесуточная программа ремонта:

$$\begin{aligned} \overline{Pot}(t) &= (\overline{pot_1}(t), \dots, \overline{pot_m}(t)) = \\ &= \frac{1}{30} (vol_1, \dots, vol_m), t = 1, \dots, 30. \end{aligned}$$

Для компьютерной реализации математической модели была выбрана

система моделирования AnyLogic, в качестве метода моделирования – агентное. Граф-модель технологической системы депо была описана при помощи встроенных библиотек [8, 9]. В процессе моделирования учитывались различные нештатные ситуации (неплановый ремонт, неплановые перемещения электровоза по тракционным путям депо, объем технологических операций, время восстановления работоспособности объекта ремонта и т. д.).

Логическая схема имитационной модели в среде AnyLogic представлена на рис. 2, 3, связанная между собой переходами A , B , C и D .

В качестве значений при формировании потока заявок на ремонт, в условиях частичной неопределенности, но

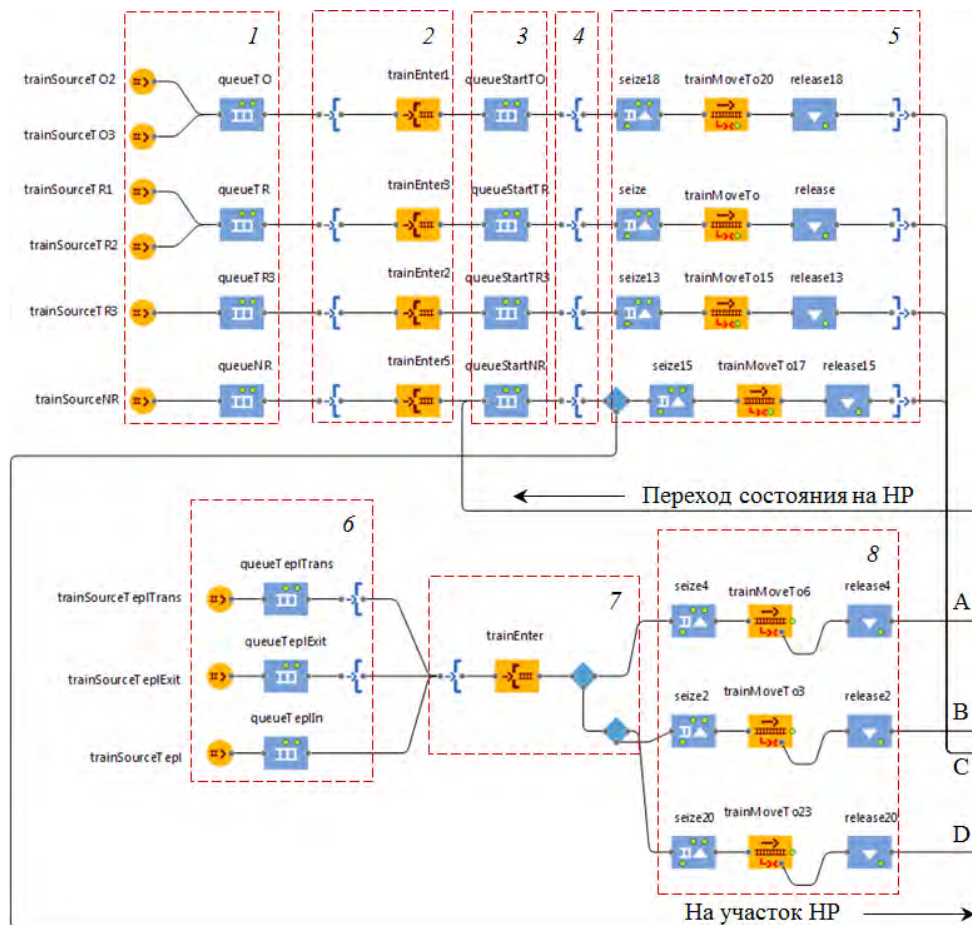


Рис. 2. Логическая схема имитационной модели (часть 1)

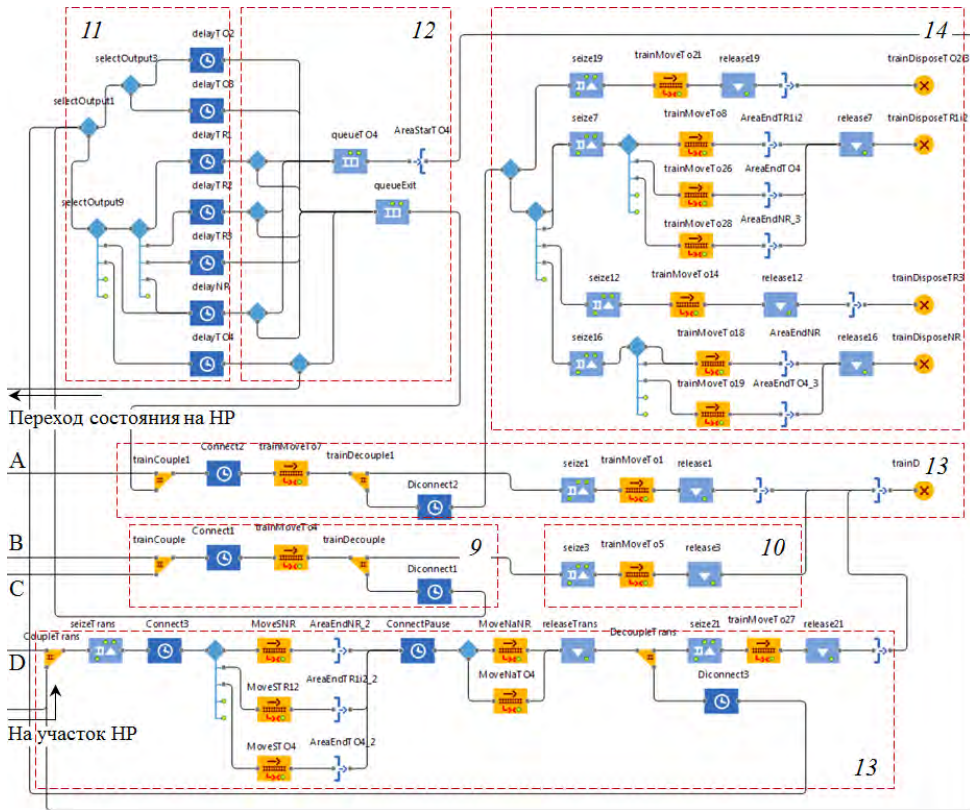


Рис. 3. Логическая схема имитационной модели (часть 2)

при условии, что данные события выполняются с некоторой фиксированной интенсивностью и независимо друг от друга, применяют закон Пуассона [10]. В нашем случае вероятность поступления в ремонт N объектов на k -й вид ремонта за время Δt будет распределено по закону:

$$p_N = \frac{(\overline{pot}_k \cdot \Delta t)^N}{N!} \cdot e^{-\overline{pot}_k \cdot \Delta t}.$$

При помощи группы блоков 1 для каждого вида ремонта формируются заявки в виде созданного агента (`agent_ers`) моделирования, который является ремонтируемой единицей в нашей системе. Заявки ТР-1 (ТР-30) и ТР-2 (ТР-300) объединены в дальнейшем в один поток, так как в депо технологические операции данного вида ремонта выполняются в одних и тех же цехах.

При выходе заявке из блоков каждому `agent_ers` присваивается параметр, значение для которого сохраняется внутри агента, задается значение ремонтируемой единицы, сохраняющееся на протяжении всего моделирования. Это необходимо, чтобы созданный агент в процессе моделирования поступал в необходимый блок задержки в системе в соответствии со своим видом ремонта.

Группа блоков 2 вводит агента на графическую схему модели*; если все необходимые для данного вида ремонта стойловые участки заняты, то блоками 3 формируется очередь. Занятость стойловых участков контролируют блоки 4,

* Для визуализации моделирования предприятия разработана графическая часть модели, повторяющая существующий план ремонтного депо для наблюдения поведения производственной системы. В статье не описана.

которым задается значение в соответствии с количеством стойловых участков в цехах.

Блоки группы 5 моделируют перемещение ремонтируемого электровоза к необходимым в соответствии с видом ремонта производственным цехам. Во время выхода из блоков группы 5 agent_ers создает сигнал для появления в модели агента маневрового локомотива (agent_loko). На производстве маневровый локомотив необходим для постановки ремонтируемого подвижного состава в цех производственного участка.

Заявку agent_loko формируют блоки 6. Блоки 7 определяют agent_ers (ожидающий захода в цех электровоз), требующий совершить маневр. Перемещение к ремонтируемому электровозу маневрового локомотива моделируется при помощи блоков 8.

В блоке 9 реализованы процессы моделирования зацепки маневрового локомотива и объекта ремонта, перемещение в цех и отцепку. Далее локомотив моделирует перемещение в точку своей локации и покидает модель до следующего требования agent_ers (блок 10).

После моделирования отцепки локомотива агент поступает в блоки 11, где формируется задержка в системе (моделируется время выполнения технологических операций на участке ремонта) [11].

На неплановом виде ремонта и на операции обточке колесной пары ТО-4 заявки задерживаются в соответствии с особым случаем гамма-распределения – распределением Эрланга (рис. 5) [12, 13].

$$P_t = \frac{(t - t_{\min})^{m-1}}{\beta^m \Gamma(m)} \exp\left(-\frac{[t - t_{\min}]}{\beta}\right),$$

где m – фактор формы вероятностного распределения; β – коэффициент масштаба.

С определенной вероятностью P_{ij} , в соответствии с графом на рис. 1, ремонтируемому электровозу может потребоваться изменить технологическую позицию из-за возникновения

неплановых видов восстановительных операций (уход на неплановый ремонт, потребность в обточке колесной пары и т.д.). Такая вероятность выражена в блоках 12. Если необходим переход на другую ремонтную позицию, agent_ers занимает очередь и, как только необходимая ремонтная позиция станет свободной, при помощи блоков 13 вызывает agent_loko для перемещения.

Если переход на другую позицию ремонтируемому электровозу не требуется, значит, заявка полностью прошла обслуживание и готова к эксплуатации, то блоки 15 моделируют перемещение объекта ремонта из цеха маневровым локомотивом; так же моделируются отцепка, а затем перемещение agent_loko в место локации и удаление из системы. Отремонтированный электровоз проходит ТО-1, проводимый локомотивной бригадой, и покидает модель при помощи блоков 16.

Исходные данные для имитационной модели приведены в таблице 1.

Степень использования технологических участков предприятия по времени обусловлена коэффициентом загрузки k_3^{ty} :

$$k_3^{\text{ty}} = \frac{\sum_{i=1}^n T_i}{T_0 \cdot n},$$

где n – количество технологических позиций на участке (количество стойловых участков цеха); T_i – время нахождения электровоза на технологической позиции; T_0 – общая длительность исследуемого временного отрезка.

Изменение значения коэффициента загрузки k_3^{ty} в течение времени для каждого технологического участка показано на рис. 4.

На рис. 4 можно наблюдать время становления (запуска) модели $t_{\text{см}}$, после чего происходит переход на постоянный (рабочий) режим. Показатели времени становления модели и среднего коэффициента загрузки для каждого вида ремонта и обслуживания представлены в таблице 2.

Таблица 1

Исходные данные имитационной модели функционирования локомотиворемонтного предприятия

Наименование	Значение
Время выполнения технического обслуживания ТО-2 [11], ч	3
Среднее количество электровозов, проходящих ТО-4 в течение месяца ($\overline{pot_{TO-4}} \cdot \Delta t$)	25,42*
Среднее количество электровозов, требующий НР в течение месяца ($\overline{pot_{НР}} \cdot \Delta t$)	183,71*
Время выполнения текущего ремонта ТР-1 [11], ч	18
Время выполнения текущего ремонта ТР-2 [11], сут	3
Время выполнения текущего ремонта ТР-3 [11], сут	6
Фактор формы вероятностного распределения Эрланга, для выполнения НР и ТО-4, m	2*
Коэффициент масштаба распределения Эрланга для выполнения НР, β	28,15*
Коэффициент масштаба распределения Эрланга для выполнения ТО-4, β	2,88*
Минимальное время простоя на ТО-4, t_{\min}	2*
Скорость подвижного состава на тракционных путях депо [14], км/ч	5
Ускорение и торможение подвижного состава на тракционных путях депо, м/с ²	0,5
Скорость маневрового локомотива при подходе к ремонтной единицы [14], км/ч	3
Время сцепления и расцепления подвижного состава [15], мин	3
Вероятность перехода с участка ТР-1 и ТР-2 на участок ТО-4, %	20,1*
Вероятность перехода с участка ТР-3 на участок ТО-4, %	0,22*
Вероятность прохождения ТО-4 при НР, %	3,16*
Вероятность перехода с участка ТО-4 на НР, %	0,26*
Количество ремонтных позиций участка ТО-2, кол-во	2
Количество ремонтных позиций участка ТР-1 и ТР-2, кол-во	10
Количество ремонтных позиций участка ТР-3, кол-во	1
Количество ремонтных позиций ТО-4, кол-во	1
Количество маневровых локомотивов, кол-во	1

*Показатели рассчитаны на основе собранных статистических данных депо.

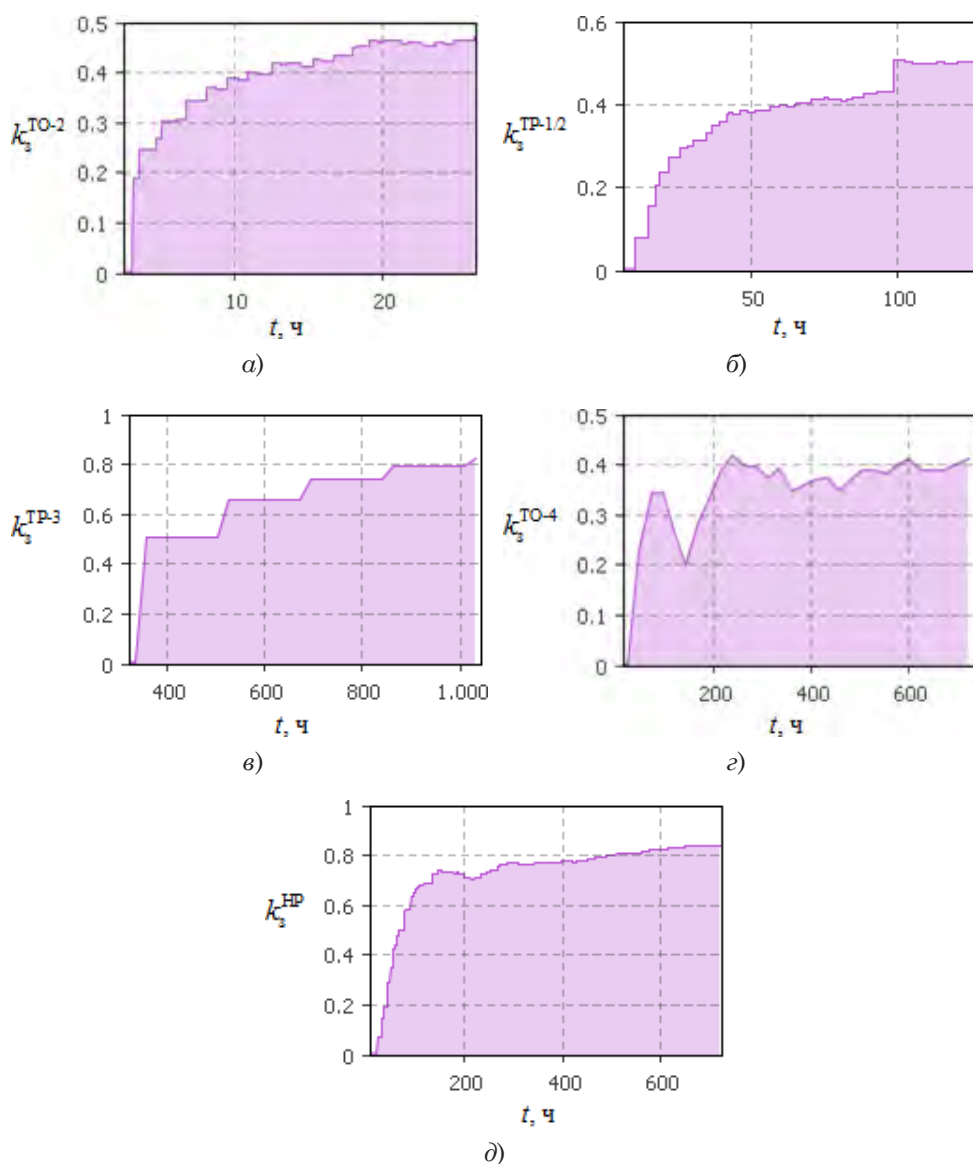


Рис. 4. Изменение среднего значения коэффициента загрузки технологического участка k_3^{ty}
а – для участка обслуживания ТО-2; б – для участка ремонта ТР-1 и ТР-2;
в – для участка ремонта ТР-3; г – для участка обслуживания ТО-4; д – для участка НР

Таблица 2

Показатели времени становления модели
и среднего коэффициента загрузки на участках

Параметр	ТО-2	ТР-1, ТР-2	ТР-3	ТО-4	НР
Время становления модели $t_{см}, ч$	19	98	380	200	300
Среднее значение коэффициента загрузки технологического участка $k_{3,ср}^{ty}$	0,448	0,487	0,74	0,372	0,813

Показателем эффективности локомотиворемонтного предприятия служит время ожидания локомотива на ремонт $t_{\text{очередь}}$. Среднее время нахождения в очереди заявки определяется по формуле

$$t_{\text{очередь}} = \frac{\sum_{i=1}^n t_{\text{очередь}}}{n_{\text{эпс}}},$$

где $t_{\text{очередь}}$ – время нахождения i -го локомотива в очереди; $n_{\text{эпс}}$ – количество локомотивов, поступивших на обслуживание в депо.

Статистика распределения времени ожидания в очереди на ремонт показана на рис. 5.

Примем за норму простой локомотива в ожидании очереди на выполнение ремонта $t_{\text{очередь}}^{\text{норм}}$ – 24 мин. По графику распределения вероятности видно, что 71,56% подвижного состава ожидает ремонта менее или равной значению $t_{\text{очередь}}^{\text{норм}}$. Показатели измерений в распределении вероятности времени ожидания ремонта приведены в таблице 3.

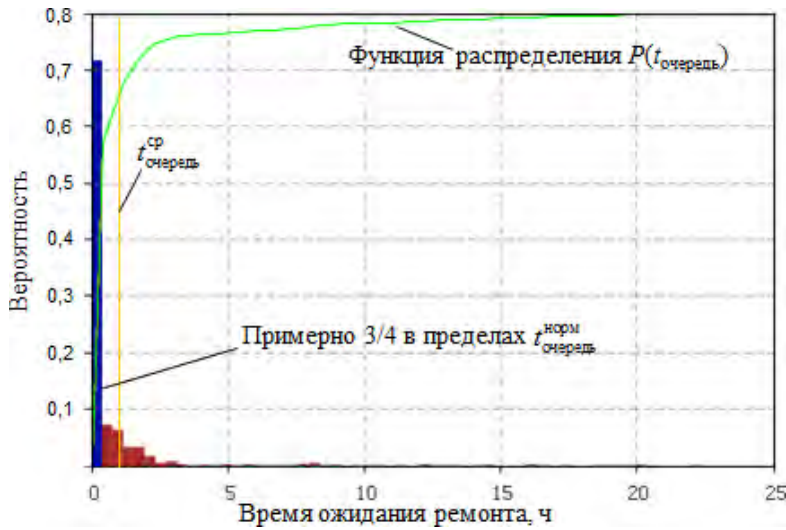


Рис. 5. Распределение вероятности времени ожидания заявки в очереди $t_{\text{очередь}}$ на ТО и ТР

Таблица 3

Показатели измерений в распределении вероятности времени ожидания ремонта

Параметр, ед. изм.	Значение
Количество измерений, $N_{\text{изм}}$	1089
Математическое ожидание, $t_{\text{очередь}}^{\text{сп}}$, ч	1,167
Минимальное значение, $t_{\text{очередь}}^{\text{min}}$, ч	0
Максимальное значение, $t_{\text{очередь}}^{\text{max}}$, ч	22,379
Количество интервалов, $N_{\text{инт}}$	56
Среднеквадратичное отклонение, $\sigma_{\text{очередь}}$, ч	2,524
Доверительный интервал для среднего, $\bar{x}_{\text{очередь}}$, ч	0,151
Сумма значений измерений, $\sum t_{\text{очередь}}$, ч	890,25
Время прогона модели, $T_{\text{о}}$, сут	41

Один из источников производственных потерь в локомотиворемонтном производстве – время, затраченное на выполнение постановки локомотива в цех, вывод из участка ремонта, ожидание ремонта и т. д. [16]. Для каждой ремонтируемой единицы временные потери будут равны:

$$T_{\text{потерь}} = t_{\text{очередь}} + t_{\text{маневр}} + t_{\text{позиция}},$$

где $t_{\text{маневр}}$ – время маневровой работы на территории депо (постановка

и выход с участком ремонта); $t_{\text{позиция}}$ – время ожидания в очереди при смене позиции ремонта.

По результатам имитационного моделирования рассчитаны временные потери для каждого ремонтируемого электровазона и представлены в виде функции плотности вероятности. Диаграмма распределения приведена по каждому виду ремонта производимых в депо (рис. 6).

По рис. 6 видно, что для потери времени $T_{\text{потерь}}$ технического обслуживания

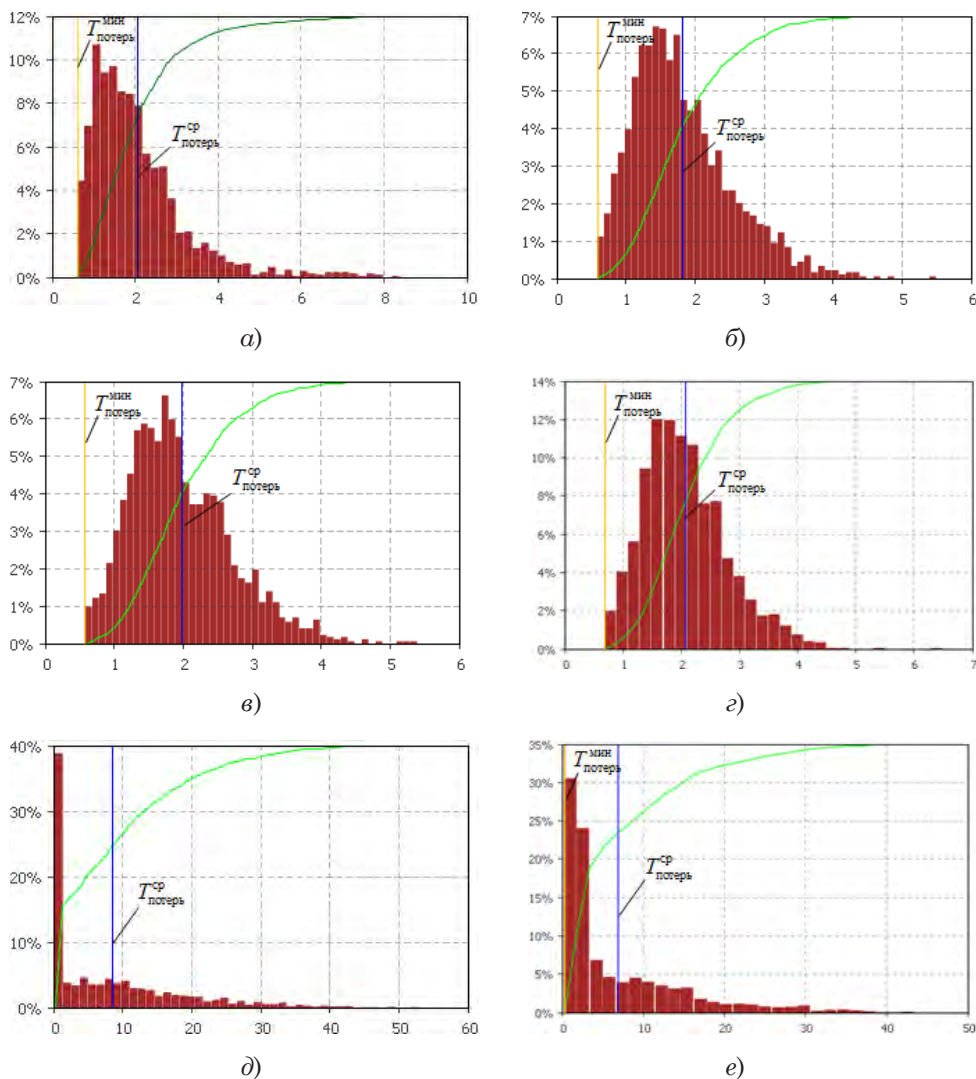


Рис. 6. Распределение вероятностей временных потерь $T_{\text{потерь}}$ ремонта локомотивов в депо
а – для ТО-2; б – ТР-1; в – ТР-2; г – ТР-3; д – ТО-4; е – НР

Таблица 4

Показатели измерений в распределении вероятности потерь времени локомотива во время ремонта на предприятии по видам ТО и ТР

Параметр	ТО-2	ТР-1	ТР-2	ТР-3	ТО-4	Неплановый ремонт
Количество измерений $N_{\text{изм}}$	1709	1784	1719	1705	1709	1720
Количество интервалов $N_{\text{инт}}, \text{ч}$	39	49	48	29	44	27
Математическое ожидание $T_{\text{потерь}}^{\text{ср}}, \text{ч}$	2,066	1,827	1,981	2,083	8,496	6,886
Минимальное значение $T_{\text{потерь}}^{\text{min}}, \text{ч}$	0,635	0,639	0,635	0,758	0,365	0,697
Максимальное значение, $T_{\text{потерь}}^{\text{max}}, \text{ч}$	8,319	5,447	5,341	6,465	51,969	42,233
Среднеквадратичное отклонение $\sigma_{\text{потерь}}, \text{ч}$	1,164	0,714	0,74	0,722	9,513	7,708
Доверительный интервал для среднего $\bar{x}_{\text{потерь}}, \text{ч}$	0,055	0,033	0,035	0,034	0,451	0,364
Сумма значений измерений $\sum t_{\text{потерь}}, \text{ч}$	3531,49	3260,10	3406,12	3552,00	14519,0	11844,7
Время прогона модели $T_0, \text{ч}$	2435,85	4400,00	69104,5	287432,0	29061,5	15418,9

ния ТО-2 и текущий ремонт ТР-1, ТР-2 и ТР-3 наблюдается положительно скошенная асимметрия распределения, близкая к биномиальному закону, с обрывом слева. А для технического обслуживания ТО-4 и неплановых ремонтов наблюдается экспоненциальный закон распределения.

Обрывы и смещения на гистограммах говорят о минимальных значениях потери времени $T_{\text{потерь}}^{\text{min}}$ поступившим на ремонт подвижным составом, которые невозможно сократить из-за структуры депо (преодоление тракционных путей депо, время преодоления пути

маневровым локомотивом, время сцепки и отцепки и т.д.). Показатели измерений в распределении вероятности потерь времени $T_{\text{потерь}}$ локомотива во время обслуживания и ремонта представлены в таблице 4.

Таким образом, произведена общая оценка технологических показателей работы предприятия, определены значения коэффициентов загрузки технологических участков $k_3^{\text{ту}}$. Рассчитаны производственные потери технологического процесса локомотиворемонтного депо, определено время ожидания ремонта подвижным составом. ■

Литература

1. Смирнов В. А., Панов К. В. Повышение технологической гибкости ремонтного производства // Научные проблемы транспорта Сибири и Дальнего Востока. 2014. № 1–2. С. 47–50. ISSN 2071-3827.
2. Максимов Е. В. Имитационное моделирование в AnyLogic многоканальных немарковских систем массового обслуживания с «разогревом», «охлаждением» и распределениями фазового типа // Интеллектуальные технологии на транспорте. 2017. Вып. 2. С 53–58. ISSN 2413-2527.
3. Мямлин В. В. Гибкие потоки для ремонта вагонов и особенности имитационного моделирования их работы // Транспорт Российской Федерации. С. 57–60. ISSN 2658-3674.

4. Головаш А. Н. Проблемы перехода на ремонт локомотивов по техническому состоянию / А. Н. Головаш, П. Н. Рубежанский, Н. Б. Куршакова // Железнодорожный транспорт. 2016. № 10. С. 54–56. ISSN 0044-4448.
5. Доманов К. И. Проблемы сервисного обслуживания электровозов серии 2ЭС6 и мероприятия направленные на повышение технологии их ремонта / Технологическое обеспечение ремонта и повышение динамических качеств железнодорожного подвижного состава : м-лы IV Всеросс. научн.-техн. конф. с международн. участием. – Омск, 2017. С. 97–103.
6. Смирнов В. А. Перспективные формы организации локомотиворемонтного производства / Смирнов В. А., Панов К. В. // Эксплуатационная надежность локомотивного парка и повышение эффективности тяги поездов : м-лы Второй всеросс. научн.-техн. конф. с международн. участием. – Омск : Омский государственный университет путей сообщения, 2014. С. 43–49.
7. Рубежанский П. Н. Методы повышения эффективности организации локомотиворемонтной деятельности холдинга «РЖД» // Научные проблемы транспорта Сибири и Дальнего Востока. 2014. Вып. 3. С. 60–64. ISSN 2071-3827.
8. The Process Modeling Library AnyLogic. URL: <https://www.anylogic.com/resources/libraries/process-modeling-library/> (дата обращения: 31.10.2018).
9. The Rail Library AnyLogic. URL: <https://www.anylogic.com/resources/libraries/rail-library/> (дата обращения: 31.10.2018).
10. Таташев А. Г. Дискретная многоканальная система массового обслуживания с отказами и групповым поступлением заявок / А. Г. Таташев, М. Ахильгова, С. А. Щербуняев // Т-Comm: Телекоммуникации и транспорт. 2017. Т. 11. № 7. С. 23–26. ISSN 2072-8735.
11. О системе технического обслуживания и ремонта локомотивов ОАО «РЖД»: утв. распоряжением ОАО «РЖД» от 17 января 2005 г. № 3р. М., 2005. 15 с.
12. Рыжиков Ю. И. Расчет многоканальных систем обслуживания с абсолютным и относительным приоритетами на основе инвариантов отношения / Ю. И. Рыжиков, А. Д. Хомоненко // Интеллектуальные технологии на транспорте. 2015. Вып. 3. С. 11–16. ISSN 2413-2527.
13. Яновский Г. Г. Оценка квантиля функции распределения времени задержки заявок в однолинейных системах массового обслуживания / Яновский Г. Г., Соколов А. Н. // Инфокоммуникационные технологии. 2008. Т. 6. Вып. 3. С. 27–30. ISSN 2073-3909.
14. Правила технической эксплуатации железных дорог Российской Федерации / Министерство транспорта Российской Федерации. М. : Транспорт, 2018. 184 с.
15. Регламент выполнения операций по закреплению подвижного состава на станционных путях: утв. ЗСЖД – ОАО «РЖД» от 23 апреля 2005 г. № 740 // Техническо-распорядительный акт ст. Московка. Омск, 2005. 143 с.
16. Мямлин В. В. Структуры гибких вагоноремонтных участков и их влияние на количество возможных вариантов пути перемещения вагонов между позициями потока // Вестник Ростовского государственного университета путей сообщения. 2013. № 4 (52). С. 77–86. ISSN 0201-727X.

Literature

1. Smirnov V. A., Panov K. V. Increase of technological flexibility of repair production // Scientific problems of Siberia and Far East [Povyshenie tekhnologicheskoy gibkosti remontnogo proizvodstva // Nauchnye problemy transporta Sibiri i Dal'nego Vostoka]. 2014. № 1–2. P. 47–50. ISSN 2071-3827.
2. Maksimov E. V. Simulation modeling in AnyLogic of multichannel nonMarkov's mass service systems with «warming up», «cooling» and phase distributions // Intellectual technology on transport [Imitacionnoe modelirovanie v AnyLogic mnogokanal'nyh nemarkovskih sistem massovogo obsluzhivaniya s «razogrevom», «ohlazhdeniem» i raspredeleniyami fazovogo tipa // Intellektual'nye tekhnologii na transporte]. 2017. Issue. 2. С. 53–58. ISSN 2413-2527.
3. Myamlin V. V. Flexible flows for wagon repairs and peculiarities of simulation modeling of their operation // Russian Federation Transport [Gibkie potoki dlya remonta vagonov i osobennosti imitacionnogo modelirovaniya ih raboty // Transport Rossijskoj Federacii]. P. 57–60. ISSN 2658-3674.
4. Golovash A. N. Problems of transition to locomotive repairs by technical condition [Problemy perekhoda na remont lokomotivov po tekhnicheskomu sostoyaniyu] / A. N. Golovash,

- P. N. Rubezhansky, N.B. Kurshakova // Railway transport. 2016. № 10. P. 54–56. ISSN 0044-4448.
5. Domanov K. I. Problems of service maintenance of 2ЭС6 series electric locomotives and measures to increase technology of their repairs / Technological provision of repairs and improvement of railway rolling stock dynamic features [Problemy servisnogo obsluzhivaniya elektrovozov serii 2ЭС6 i meropriyatiya napravlennye na povyshenie tekhnologii ih remonta / Tekhnologicheskoe obespechenie remonta i povyshenie dinamicheskikh kachestv zheleznodorozhnogo podvizhnogo sostava]: mat-s of IV All-Russia scien. tech. conf. – Omsk, 2017. P. 97–103.
 6. Smirnov V. A. Challenging forms of organization of locomotive repair production / V. A. Smirnov, K. V. Panov // Operational reliability of locomotive park and increase of train traction efficiency [Perspektivnye formy organizatsii lokomotivremontnogo proizvodstva / V. A. Smirnov, K. V. Panov // Ekspluatatsionnaya nadezhnost' lokomotivnogo parka i povyshenie effektivnosti tyagi poezdov]: mat-s of the second All-Russia scien.tech.conf. – Omsk: Omsk state university of railway transport, 2014. P. 43–49.
 7. Rubezhansky P. N. Methods to increase efficiency of «RZD» holding locomotive repair activities // Scientific problems of transport of Siberia and Far East [Metody povysheniya effektivnosti organizatsii lokomotivo-remontnoj deyatel'nosti holdinga «RZhD» // Nauchnye problemy transporta Sibiri i Dal'nego Vostoka]. 2014. Issue 3. P. 60–64. ISSN 2071-3827.
 8. The Process Modeling Library AnyLogic. URL: <https://www.anylogic.com/resources/libraries/process-modeling-library/> (reference date: 31.10.2018).
 9. The Rail Library AnyLogic. URL: <https://www.anylogic.com/resources/libraries/rail-library/> (reference date: 31.10.2018).
 10. Tatashev A. G. Discrete multichannel mass service system with failures and group incoming of orders/ A. G. Tatashev, M. Akhilogova, S. A. Shchebunyaev // T-Comm: Telecommunications and transport [Diskretnaya mnogokanal'naya sistema massovogo obsluzhivaniya s otkazami i gruppovym postupleniem zayavok / A. G. Tatashev, M. Ahil'gova, S. A. Shchebunyaev // T-Comm: Telekommunikatsii i transport]. 2017. T. 11. № 7. P. 23–26. ISSN 2072-8735.
 11. About technical maintenance and repairs of JSC «RZD» locomotives [O sisteme tekhnicheskogo obsluzhivaniya i remonta lokomotivov OAO «RZhD»]: approved by JSC «RZD» order as of January 17 2005 № 3p. M., 2005. 15 p.
 12. Ryzhikov Yu. I. Evaluation of multichannel service systems with absolute and relative priorities based on relation invariants / Ryzhikov Yu. I., Khomonenko A. D. // Intellectual technology on transport [Raschet mnogokanal'nyh sistem obsluzhivaniya s absol'yutnym i odnositel'ny'm prioritetami na osnove invariantov otnosheniya / Ryzhikov Yu. I., Homonenko A. D // Intellektual'nye tekhnologii na transporte]. 2015. Issue. 3. P. 11–16. ISSN 2413-2527.
 13. Yanovsky G. G. Assessment of order delay distribution time function quantile in single line mass service systems / G. G. Yanovsky, A. N. Sokolov // Infocommunication technology [Ocenka kvantilya funktsii raspredeleniya vremeni zaderzhki zayavok v odnolineynykh sistemah massovogo obsluzhivaniya / G. G. Yanovskij, A. N. Sokolov // Infokommunikatsionnye tekhnologii]. 2008. V. 6. Issue 3. P. 27–30. ISSN 2073-3909.
 14. Regulations of technical maintenance of Russian Federation railways / Ministry of Russian Federation Transport [Pravila tekhnicheskoy ekspluatatsii zheleznih dorog Rossijskoj Federatsii / Ministerstvo transporta Rossijskoj Federatsii]. M. : Transport, 2018. 184 p.
 15. Rules and regulations for operations on stabilizing the rolling stock on station tracks: approved by WSRY – JSC «RZD» as of April 23, 2005. № 740 // Technical and regulatory act st. Moskovka [Reglament vypolneniya operacij po zakrepleniyu podvizhnogo sostava na stacionnyh putyah: utv. ZSZhD – OAO «RZhD» ot 23 aprelya 2005 g. № 740 // Tekhnicheskoe-rasporядitel'nyj akt st. Moskovka]. Omsk, 2005. 143 p.
 16. Myamlin V. V. Structures of flexible wagon repair sections and their influence on the amount of possible variants of the way to move wagons among flow positions // Herald of Rostov state university of railway transport [Struktury gibkih vagonoremontnyh uchastkov i ih vliyanie na kolichestvo vozmozhnyh variantov puti peremeshcheniya vagonov mezhdu pozitsiyami potoka // Vestnik Rostovskogo gosudarstvennogo universiteta putej soobshcheniya]. 2013. № 4 (52). P. 77–86. ISSN 0201-727X.

УДК 658.5.011

В. Ю. Бабоков

От бережливого производства на предприятии – к «бережливой сети»

UDC 658.5.011

V. Yu. Babokov

From lean production at the enterprise – towards «lean network»

Аннотация

Рассматриваются перспективные подходы к организации производства, концепция менеджмента «кайдзен» (бережливое производство), разработанная фирмой Toyota, а также такой вид организационной структуры предприятия, как сеть. Основная идея заключается в создании симбиоза этих двух подходов и формировании «бережливой сети», используя методы бережливого производства.

Актуальность темы подтверждается на примере крупнейшей в мире железнодорожной компании ОАО «РЖД», в которой происходит настройка уже существующей сетевой организационной структуры.

Приведены ключевые понятия и инструменты «бережливого производства». Дано подробное объяснение каждого из них. Определены основные преимущества сетевой организационной структуры.

Рассмотрен план внедрения «бережливого производства» на предприятии. Предложено авторское мнение о его применимости при построении «бережливого производства» на сети предприятий.

Предложен авторский взгляд о применении инструментов «бережливого производства» в рамках формирования сетевой организационной структуры. Определены положительные эффекты от их применения.

Проанализированы различия потоков ценности предприятий, работающих независимо друг от друга и объединенных в сеть. Приведены положительные эффекты при объединении предприятий в единую сеть.

Ключевые слова: «бережливое производство», сетевые организационные структуры, потери, поток ценности.

DOI: 10.20291/2079-0392-2019-1-108-117

Annotation

Challenging approaches to organization of manufacturing, the concept of «kaizen» management (lean production), developed by Toyota company are overviewed, as well as such a type of organizational structure of enterprises as network. The main idea is in symbiosis of these two approaches and formation of «lean network», using methods of lean production.

Timeliness of the topic is confirmed by the example of the largest railway company JSC «RZD» where the existing network organizational structure is being arranged.

The key notions and instruments of «lean production» are given. All of them are explained in detail. The main advantages of the network organizational structure are identified.

The plan of introduction of lean production at the enterprise is looked upon. The author's opinion of its applicability in case of construction of lean production at the network of enterprises is proposed.

The author's judgment about application of «lean production» instruments within formation of network organizational structure is presented. Positive effects of their application are defined.

Differences of value streams of enterprises which are autonomous or incorporated as a network, are analyzed. Positive effects in linking-up enterprises into a single network are shown.

Key words: «lean production», network organizational structures, losses, value stream.

DOI: 10.20291/2079-0392-2019-1-108-117

Статья рекомендована к публикации В.А. Антроповым, д-ром экон. наук, профессором Уральского государственного университета путей сообщения. E-mail: antrvl49@yandex.ru.

Вячеслав Юрьевич Бабоков, аспирант; кафедра «Путь и железнодорожное строительство» Уральского государственного университета путей сообщения; Екатеринбург. Россия. E-mail: vyubabokov@mail.ru.

Article is recommended for the publication V.A. Antropov, Dr. of Economics, professor of the Ural State University of means of communication. E-mail: antrvl49@yandex.ru.

Vyacheslav Yuryevich Babokov, graduate student; «Way and Railway Construction» department of the Ural State University of means of communication; Yekaterinburg. Russia. E-mail: vyubabokov@mail.ru.

Залог выживания современной организации в конкурентной среде – соответствие выпускаемого продукта (или услуги) соотношению «цена-качество», а также величина издержек, возникающих в процессе производства. В качестве примера можно привести популярность в России машин сборки концернов Toyota, Nissan, Honda (Япония) и др., которые лидируют на рынке в области доступных и при этом качественных автомобилей. Можно сформулировать главное условие успешной работы на рынке: производство качественной продукции по доступной цене при минимальных издержках на производство [1].

Однако небольшим компаниям тяжело в одиночку удерживаться в столь бурном рыночном океане. В таком случае небольшие компании (а при достаточной выгоде и крупные) мотивированы объединиться в некую укрупненную структуру. Этот альянс помогает укрепить положение мелких компаний на рынке за счет постоянного канала сбыта продукции, обеспечивает крупные предприятия надежными поставщиками и стимулирует дальнейшее раскрытие потенциала внутреннего роста всех участников такого объединения. Тогда можно сформулировать и другое условие эффективной работы: поиск партнеров, объединение и построение взаимовыгодного сотрудничества на рынке, что обеспечивает успех каждого из участников сотрудничества.

Для достижения первой цели формируется стратегия производства с минимизацией издержек и общим повышением качества продукции [2–4]. Для второй строится сетевая организационная структура. Кайдзен (применительно к производству) – это процесс постоянного и всестороннего совершенствования работы предприятия, при этом задействованы в этом процессе все работники предприятия [2].

Пять принципов «бережливого производства»: определение ценности (полезных свойств продукта или услуги

с точки зрения потребителя) конкретного продукта; определение потока создания ценности для этого продукта; обеспечить непрерывное течение потока создания ценности продукта; позволить потребителю вытягивать продукт; стремление к совершенству (или кайдзен) [5].

Важно отметить, что термин «кайдзен» не подразумевает скачкообразное и капиталоемкое развитие, характеризующее внедрением инновационных технологий, но постепенное уменьшение потенциала предприятия от достигнутого уровня. Связано это с отсутствием или недостаточным уровнем усилий по удержанию полученного результата. Самый простой (и оттого наиболее частый) выход из такого положения – дальнейшее внедрение инноваций, а значит, дальнейшее значительное увеличение затрат, что, мягко говоря, нерационально.

Суть же совершенствования «кайдзен» заключается не только в поддержании достигнутого результата от внедрения инноваций, но и в планомерном и полном раскрытии потенциала этих нововведений. Такой подход позволяет максимизировать результат и минимизировать возможные потери. И только после полного исчерпания потенциала текущих инноваций переходят к дальнейшей модернизации.

Очень часто можно встретить обобщенное изображение рассматриваемых инструментов в виде зонтика кайдзен (рис. 1).

«КК кружки», или кружки контроля качества – это «малые группы добровольцев, осуществляющих контроль качества на рабочих местах» [5]. Иными словами, это такие же работники предприятий, которые дополнительно и добровольно занимаются рационализаторской деятельностью.

Канбан – средство коммуникации в виде бирок, сигнализирующих о поставке требуемого количества деталей на производственную линию. После использования всех деталей эта бирка



Рис. 1. Зонтник «кайзен»

превращается в заказ на поставку нового количества деталей и возвращается в исходный пункт. Это упрощает взаимодействие участников процесса.

Главная цель «бережливого производства» – устранение потерь. Различают потери первого и второго рода.

Потери первого рода – это задержки и потери, которые обусловлены технологическим процессом и от которых невозможно избавиться мгновенно. Потери второго рода – ничем не обусловленные задержки и потери, от которых необходимо немедленно избавиться. Причины возникновения потерь различны: несовершенство технологического процесса, ошибки работников, брак и т. д. Однако следует отдельно выделить потери, возникающие в результате недостаточной коммуникации и кооперации внутри процесса производства, недостаточного взаимодействия с поставщиками. Именно эта причина зачастую тянет за собой все остальные виды потерь. Очень сложно бороться с потерями, вызванными плохой коммуникацией, когда производственные компании и поставщики разделены. Намного удобней было бы решать эту проблему, когда компании сгруппированы, объединены одной общей целью и подчиняются определенным правилам этой структуры. Таким

требованиям вполне соответствует сетевая форма организации.

Понятие «поток создания ценности» – фундаментальное для бережливого производства. Это понятие подразумевает под собой все действия, которые совершаются от момента получения заказа на продукт до появления его в точке сбыта. Значит, чем лучше просчитан и организован поток создания ценности, тем меньше в нем потери и тем больше возможностей для роста и развития организации. Другой несложный вывод заключается в том, что чем более сложен в изготовлении продукт, тем более обширен и разветвлен поток создания ценности.

«Организационная сеть – прогрессивная форма структуры управления объединением хозяйствующих субъектов» [6, 7]. В работе [8] приведены позитивные аспекты таких структур: гибкость при работе в изменяющихся условиях рынка, концентрация деятельности компании на приоритетных областях специализации, уникальных процессах, рационализация расходов, уменьшение издержек, повышение доходов, эффективное использование высококвалифицированного труда, привлечение наиболее эффективных поставщиков и взаимодействие с ними,

выявление и исключение неэффективных партнеров.

Можно провести некоторую аналогию с «сетевой технологией» в природе, чтобы наглядней отразить важные свойства таких структур. В качестве примера используем знакомую всем паутину с находящимся в центре пауком. Правильно расставленная паутина очень устойчива даже к сильным порывам ветра. Создающие ее нити тонкие, но невероятно прочные. Так же и предприятия, собранные в сеть, способны выдерживать даже сильные волнения, не теряя при этом в конкурентоспособности за счет сформированных межорганизационных связей – нитей сети. Правильно подобранные партнеры, объединенные в узлы, при правильной настройке обеспечивают успешность крупной компании в центре.

Можно ли совместить положительные особенности сетевой организационной структуры и философии «кайдзен» и создать таким образом «бережливую» сеть? В работе [6] говорится: «Даже самая бережливая фирма в мире, каковая, несомненно, Toyota, еще не дошла до создания сети бережливых предприятий. Такая сеть должна ликвидировать все потери времени, все лишние трудозатраты и источники ошибок на всем пути производства: от сырья до готового автомобиля, от получения заказа до доставки, от возникновения концепции до постановки на производство – и все это для каждого семейства продуктов».

Идеальный случай заключается в создании такой организации, которая бы полностью интегрировала все причастные к выпуску и реализации того или иного продукта предприятия и организации. В результате получается сеть с гигантским количеством уровней поставщиков.

Организационное воздействие внутри сетевых структур, исходящее от центральной фирмы, позволяет внести изменение в работу любого предприятия-поставщика. Яркий пример – фирма Toyota, которая смогла трансформировать большую часть своих поставщиков

в бережливые предприятия и создать центр поддержки поставщиков (Toyota Supplier Support Center, TSSC) для помощи предприятиям-поставщикам на пути трансформации.

С другой стороны, большое количество предприятий, составляющих сеть, с абсолютно разными технологиями производства, целями, материальными ресурсами и возможностями, оборудованием, а самое главное, желанием производить перемены представляет собой серьезную преграду по созданию слаженно работающей системы.

Но главное условие создания «бережливой сети» – реализация идей «бережливого производства» абсолютно каждым руководителем на своем предприятии на всех уровнях независимо от рода деятельности и сложности производства. А для этого идеи «кайдзен» должны закладываться в сам процесс формирования сети.

Именно поэтому необходим определенный план действий. Общий вид этого плана для предприятия приведен в [5], который описывает этапы трансформации завода, работающего по системе «партий и очередей», в бережливое предприятие. Эти этапы вполне применимы и к созданию бережливой сети (таблица).

Особо выделим следующие пункты этого плана: описание потоков создания ценности, построение организационной структуры вокруг семейства продуктов, развертывание политики. Они служат своеобразными перевальными точками, поскольку без их успешного преодоления дальнейшее внедрение бережливого производства невозможно. И именно в этих точках возникают ошибки и препятствия: неправильно описаны потоки создания ценности, некорректны оценки выполняемых проектов, ведущие к неверному распределению ресурсов между ними, плохо организована работа менеджерской команды.

Все это приводит к потере ограниченных финансовых ресурсов, следовательно, вызывает негативное впечатление

План внедрения бережливого производства

Пункт (наименование)	Краткое описание
«Агент перемен»	Поиск лидера, который возьмет на себя ответственность за все дальнейшие события
Добыть знания	Это означает найти тех или того, кто способен обучить людей и показать им как создается бережливое производство, когда из разрозненных и неслаженных процессов складывается стройный поток
Использовать (создать) кризис	Кризисные ситуации стимулируют к поиску нестандартных решений. Когда потенциал таких вариантов, как сокращение зарплат, персонала или уменьшение цены на продукцию исчерпан, а предприятию уже нечего терять, то переход к бережливому производству становится единственным шансом уйти от развала и банкротства
Описание потока создания ценности	Необходимо подробно описать текущий процесс создания продукта, выявить в ходе этого издержки и наметить будущие показатели, которые необходимо достичь
Построение организационной структуры вокруг семейства продуктов	Это означает формирование команды менеджеров разных уровней для обеспечения работы по улучшению потока создания ценности
Создание отдела по обучению «бережливому производству»	Не требует дополнительных разъяснений
Не останавливаться на достигнутом	Непрерывно совершенствовать поток создания ценности
Развертывание политики (хосин канри)	Разработка стратегии высшим менеджментом, при которой «ресурсы направляются на критичные для бизнеса цели». Другими словами, это план по распределению ресурсов между проектами. Кроме того, в нем содержатся измеримые показатели, отражающие степень достижения поставленных целей
Убедить поставщиков и потребителей следовать тем же курсом	Распространить философию «бережливого» производства между своих поставщиков и потребителей
Создать глобальную «бережливую стратегию»	Взглянуть на весь процесс производства с глобальной точки зрения, т.е. рассмотреть весь процесс от момента добычи сырья до конечного продукта и оценить возникающие издержки
Перейти от лидерства сверху вниз к инициативе снизу вверх	Сформировать уровень бережливой культуры, при которой уже сами работники будут инициировать улучшение потока создания ценностей
Создание отдела по обучению «бережливому производству»	Не требует дополнительных разъяснений
Не останавливаться на достигнутом	Непрерывно совершенствовать поток создания ценности
Развертывание политики (хосин канри)	Разработка стратегии высшим менеджментом, при которой «ресурсы направляются на критичные для бизнеса цели». Другими словами, это план по распределению ресурсов между проектами. Кроме того, в нем содержатся измеримые показатели, отражающие степень достижения поставленных целей
Убедить поставщиков и потребителей следовать тем же курсом	Распространить философию «бережливого производства» между своих поставщиков и потребителей
Создать глобальную «бережливую стратегию»	Взглянуть на весь процесс производства с глобальной точки зрения, т.е. рассмотреть весь процесс от момента добычи сырья до конечного продукта и оценить возникающие издержки
Перейти от лидерства сверху вниз к инициативе снизу вверх	Сформировать уровень бережливой культуры, при которой уже сами работники будут инициировать улучшение потока создания ценности

на работников, менеджеров и руководство предприятия. Как следствие, отказ от дальнейших изменений в пользу уже проверенной годами системе производства. Поэтому необходим детализированный подход к разработке этих пунктов. Именно на этих этапах формируются оценочные критерии эффективности выполняемой работы, ставятся основные задачи и просчитываются необходимые ресурсы на их выполнение.

Процесс формирования и настройки сетевой организационной структуры сравним с производственным процессом. Значит, у такого процесса есть внутренний резерв развития, а также возможность внедрения инноваций. Для полного раскрытия потенциала развития этого процесса воспользуемся инструментами «кайдзен».

Применим основные инструменты зонтика «кайдзен» к процессу построения организационной сети.

1. Ориентация на потребителя. Всегда необходимо знать и понимать требования потребителя и уметь перестраивать узлы сети в соответствии с этими требованиями. По-другому это качество можно назвать мобильностью или гибкостью. Более того, ориентация на потребителя должна пронизывать всю сетевую структуру – от поставщиков самого простого сырья до высокотехнологичных предприятий по сборке. Другими словами, должна формироваться некая единая конечная цель, которую видел бы каждый участник сети.

2. Всеобщий контроль качества. Вовлечение абсолютно всех составляющих элементов сети для повышения эффективности производства. Это можно назвать усилением взаимодействия между участниками сети, созданием, развитием и расширением партнерских внутри-сетевых отношений.

3. Роботизация. Этот инструмент будем понимать с позиции перехода к общесетевым базам данных, максимальное применение вычислительной техники для контроля над работой сети, уменьшение бюрократической системы,

развитие средств и систем коммуникации [10, 11].

4. Кружки контроля качества (КК кружки). Этот инструмент подразумевает добровольное участие работников предприятия в работе по контролю качества на местах. Рассматривая эту составляющую «бережливого производства» через призму сетевых отношений, отметим, что каждый из участников сети – это обособленный субъект рынка, который в идеальном случае будет сам добровольно следить за качеством своей продукции, чтобы укреплять выгодные для него сетевые отношения.

5. Система предложений. Речь идет не столько о самих рационализаторских предложениях (они, конечно же, важны), сколько о самой системе, в которую вовлечен каждый из сотрудников предприятия. Каждый ощущает, что он этим предприятием в какой-то степени управляет. Такая система предусматривает создание различных стимулов для привлечения к рационализаторской деятельности каждого. Появление такой системы в сетевой структуре послужит сильнейшим толчком к развитию потенциала сети. Такой толчок может быть обусловлен уменьшением совокупных производственных издержек, усилением партнерских связей во время решения смежных для различных предприятий проблем.

6. Автоматизация в системе «кайдзен» предполагает такую работу станка (отдельного работника, участка, предприятия – элемента сети), при которой он автоматически прекращает выпуск при появлении дефектной продукции. Для сетевой организации применение такого инструмента может заключаться в немедленной приостановке работы с конкретным поставщиком при появлении брака вплоть до устранения причин.

7. Дисциплину на рабочем месте будем рассматривать с точки зрения четкости, рациональности и эффективности работы узлов выстроенной сетевой структуры.

8. Всеобщий уход за оборудованием. Каждое из предприятий сети – это своеобразный станок. Следовательно, создание благоприятных условий для работы со «станком», то есть элементом сети, и становится основной целью для максимального раскрытия потенциала такого взаимодействия. Другими словами, это стремление к индивидуальному подходу к каждому из членов сетевой структуры.

Инструменты «кайдзен» предназначены для построения ровного и стройного потока создания ценности. Но возможно ли выстроить ровный и стройный поток ценности среди разрозненных и конкурирующих между собой компаний? Скорее всего, нет. В таком случае компании должны быть объединены

в организационную форму, внутри которой необходимо сильное управленческое воздействие, тем или иным способом вынуждающее перестраивать подход к работе каждого из участников этого объединения. Такой формой и служит организационная сеть.

Рассмотрим потоки создания ценности при работе с разрозненными поставщиками, а затем рассмотрим вариант, когда поставщики объединены в организационную структуру. Поток «ценности», когда компании производители и поставщики не объединены в единую структуру, представлен на рис. 2.

На рис. 2 изображено создание потока «ценности» от поставщиков А, В, С к некоторому производителю, продукт которого собирается из трех

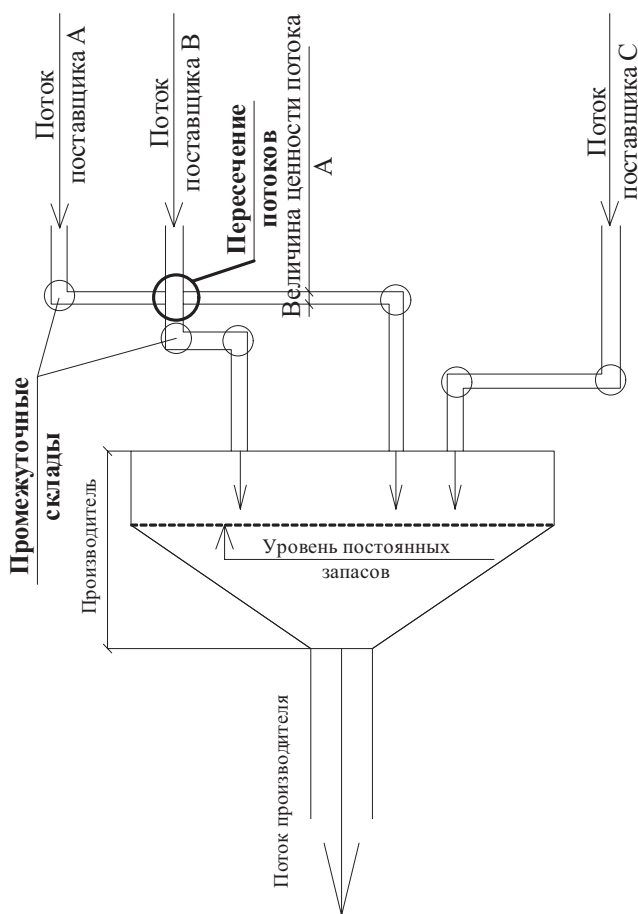


Рис. 2. Схема потока ценности от поставщиков к производителю

составляющих. Складские запасы производителя обеспечивают бесперебойность работы предприятия на заданный промежуток времени, который, как правило, зависит от различных факторов (значимость продукции предприятия, производственная мощность, величина поставляемых партий, сложность производимого продукта, прогнозируемый спрос). Также показаны этапы продвижения ценности по потокам поставщиков. В данном случае каждый изгиб потока – промежуточный склад на пути к производителю. Отдельно отметим места пересечений потоков, например, на каком-либо из промежуточных складов.

Величина ценности потока определяется стоимостью поставки.

Эффективность потока создания ценностей будет определяться временем от момента обработки заказа до поставки готового продукта потребителю.

Для нашего случая начало создания потока находится на складах поставщиков. Поскольку нет общей организационной формы, каждый поставщик выбирает способ доставки своего продукта производителю, не ориентируясь на других поставщиков. Можно предположить, что продукты различных поставщиков могут в один момент даже оказаться на одном и том же грузовом терминале, то есть их потоки пересекутся. Дальнейшее следование до места назначения эти продукты продолжают раздельно из-за отсутствия взаимодействия, соответственно, прибудут в разное время. Несогласованность же поставок не дает уменьшать складские запасы.

На схеме (рис. 2) величина потока «ценности производителя» много меньше уровня запасов на его складе.

Другими словами, «ценность», полученная от поставщиков, простаивает на складах, ожидая востребования, т. е. происходит омертвление капитала [12]. К тому же, складские площади занимают дополнительное полезное пространство на предприятии.

В итоге большинство задержек на этапе движения ценности от поставщиков к производителю исчезает за счет значительных запасов, поставляемых продуктов на складе производителя, а это неэффективно. Время, затраченное на доставку и хранение комплектующих, намного превысит реальное нахождение этих продуктов в работе или время реального движения ценности по потоку.

Идеальный случай организации потока «ценности», так же состоящий из трех производителей, представлен на рис. 3.

Итак, поставщики плотно примыкают друг к другу. Это можно охарактеризовать как хорошо отлаженное взаимодействие, которое может распространяться не только на доставку, но и на совместную разработку и выпуск каких-либо продуктов. Доставка производится согласованно. Уровень запасов при этом обеспечивает работу предприятия на один день. Значит, нет дополнительных расходов на излишние складирование, сокращаются занятые складами площади. Конечно, в некоторых отраслях, например, железнодорожной, из-за различных причин невозможно полностью отказаться от запасов. Однако подход к формированию этих запасов, а также их пополнение и подбор поставщиков может и должен постоянно совершенствоваться.

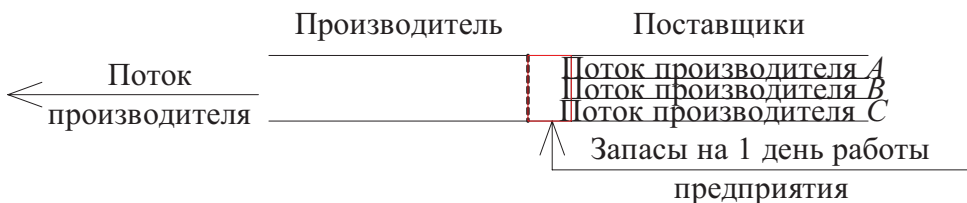


Рис. 3. Схема идеальной организации работы с поставщиками в «бережливом подходе»

Создание «бережливого производства» на предприятия, как и процесс создания бережливой сети далеко не самые простые в реализации. Очень много зависит от состава управленцев, их решимости и упорства в желании отойти от старых подходов менеджмента и построить совершенно другую новую систему управления. При этом не требуется, пожалуй, самого главного – огромных финансовых вливаний. Именно это выгодно отличает концепцию «бережливого производства» по сравнению

с подходами по внедрению инноваций. И если внедрение «бережливого производства» лишь на одном предприятии из всей производственной цепочки от сырья до конечного продукта способно принести существенные экономические выгоды производителю и потребителю, то можно представить себе те выгоды, когда вся цепочка будет перестроена в соответствии с «концепцией бережливости», т.е. когда будет создана «бережливая сеть». ■

Литература

1. Джеймс П. Вумек, Дэниел Т. Джонс. Бережливое обеспечение: как построить эффективные и взаимовыгодные отношения между поставщиками и потребителями / Пер. с англ. – М. : Альпина Бизнес Букс, 2006. 264 с. ISBN 5-9614-0345-9.
2. Масааки Имаи, Кайдзен. Ключ к успеху японских компаний. М. : «Альпина Паблишер», 2015. 274 с. ISBN 978-5-9614-6765-9.
3. Монден Я. Тоёта. Методы эффективного управления. М. : Экономика, 1989. – 288 с. ISBN 5-282-00711-8.
4. Овсянникова А. О., Широченко Н. В. Кайдзен: преимущества технологии и проблемы внедрения на российских предприятиях // Актуальные проблемы авиации и космонавтики. 2011. – Т. 2. № 7. С. 237–239.
5. Джеймс П. Вумек, Дэниел Т. Джонс. Бережливое производство: как избавиться от потерь и добиться процветания вашей компании / Пер. с англ. – 11-е изд. – М. : Альпина Паблишер, 2017. 472 с. ISBN 978-5-9614-6829-8.
6. Сай В. М. Количественная оценка организационной сети компании ОАО «РЖД» // Транспорт Урала, 2015. № 3 (45). С. 46. ISSN 1815-9400.
7. Гулин С. А. Сетевые структуры как объект экономической науки // Наука, техника и образование, 2015. № 12 (18). С. 139–142. ISSN 2413-5801.
8. Сай В. М., Сизый С. В. Образование, функционирование и распад организационных сетей : монография. – Екатеринбург : УрГУПС, 2011. – 384 с. ISBN 978-5-94614-199-4.
9. Choi T. Y., Hong Y. Unveiling the structure of supply networks: case studies in Honda, Acura, DaimlerChrysler // Journal of Operations Management, 2002. Vol. 20. № 5. P. 469–493. ISSN 0272-6963.
10. Danese P., Romano P., Vinelli A. Managing business processes across supply networks: the role of coordination mechanisms // Journal of Purchasing and Supply Management, 2004. Vol. 10. P. 165–177. ISSN 1478-4092.
11. Yasemin A., Hennes J-C. Inventory control in a multi-supplier system // International Journal Production Economics, 2006. №104. P. 249–259. ISSN 0925-5273.

Literature

1. James P. Womack, Daniel T. Jones. Lean supply: how to build efficient and mutually beneficial relationship between suppliers and consumers [Berezhlivoe obespechenie: kak postroit' effektivnyye i vzaimovыgodnyye otnosheniya mezhdu postavshchikami i potrebitelyami] / Transl. from English. – M.: Alpina Business Books, 2006. 264p. ISBN 5-9614-0345-9.
2. Masaaki Imai. Kaizen. A key to success of Japanese companies. [Klyuch k uspekhu yaponskih kompanij] M. : «Alpina Publisher», 2015. 274 p. ISBN 978-5-9614-6765-9.
3. Monden Ya. Toyota. Methods of efficient management. [Metody effektivnogo upravleniya]. M. : Economics, 1989. – 288 p. ISBN 5-282-00711-8.
4. Ovsyannikova A. O., Shirochenko N. V. Kaizen: Advantages of technology and problems of introduction at Russian enterprises [Preimushhestva tekhnologii i problemy vnedreniya na rossijskikh predpriyatiyah] // Topical problems of aviation and cosmonautics. 2011. – V. 2. № 7. P. 237–239.

5. James P. Womack, Daniel T. Jones. Lean production: how to do away with losses and achieve prosperity of your company [Berezhlivoe proizvodstvo: kak izbavit'sya ot poter' i dobit'sya prosvetaniya vashej kompanii] / Transl. from English – 11th ed. – M. : «Alpina Publisher», 2017. 472 pp. ISBN 978-5-9614-6829-8.
6. Sai V. M. Quantitative assessment of JSC «RZD» organizational network [Kolichestvennaya ocenka organizacionnoj seti kompanii OAO «RZhD»] // Transport of the Urals, 2015. № 3 (45). P. 46. ISSN 1815-9400.
7. Gulín S. A. Network structures as the object of economic science [Setevye struktury kak ob"ekt ekonomicheskoy nauki] // Science, technology and education, 2015. № 12 (18). P. 139–142. ISSN 2413-5801.
8. Sai V. M., Sizy S. V. Education, functioning and disintegration of organizational networks [Obrazovanie, funkcionirovanie i raspad organizacionnyh setej]: monograph. – Yekaterinburg: USURT, 2011. – 384 p. ISBN 978-5-94614-199-4.
9. Choi T. Y., Hong Y. Unveiling the structure of supply networks: case studies in Honda, Acura, DaimlerChrysler // Journal of Operations Management, 2002. Vol. 20. № 5. P. 469–493. ISSN 0272-6963.
10. Danese P., Romano P., Vinelli A. Managing business processes across supply networks: the role of coordination mechanisms // Journal of Purchasing and Supply Management, 2004. Vol. 10. P. 165–177. ISSN 1478-4092.
11. Yasemin A., Hennes J.-C. Inventory control in a multi-supplier system // International Journal Production Economics, 2006. № 104. P. 249–259. ISSN 0925-5273.

Статья сдана в редакцию 13 января 2019 года

Уважаемые коллеги!

Информирую вас о требованиях, предъявляемых к оформлению статей.

При наборе используйте Word-2003 или Word-2007; шрифт (по всему тексту, в том числе в рисунках и таблицах) – тип Times, размер шрифта – 14, межстрочное расстояние – 1,5, абзацный отступ – 1,25 (1,27) см, поля – 2 см; расстановка переносов по всему тексту – автоматическая.

Набор формул: простые формулы и сочетания символов ($x^2 < y^2$; $E = mc^2$; $a^2 + b^2 = c^2$; Q_{i-1} ; ψ_j) – только в текстовом режиме, сложные

$$(s^2 = \frac{1}{n-1} \left[\sum_{j=1}^e x_j^2 n_j - \frac{1}{n} \left(\sum_{j=1}^e x_j n_j \right)^2 \right]; \left(\frac{\sigma_a}{[n]} \right)$$

или S_i^m) – только в редакторе формул

Equation или в MathType.

Написание букв: русские (а, б, в, А, Б, В), греческие (Θ, Σ, Ω, Ψ, α, β, δ, ε, λ, π), а также цифры и аббревиатуры (1, 2, 3; I, II, III; max, lg, sin и т.п.) пишутся только прямо; латинские (a, b, n, A, B, N и т.д.) – только курсивом. Исключение – курсив во вспомогательном тексте (слова «Таблица» и «Рис.», примечания в рисунках и ссылки в тексте на эти примечания).

Оформление текста: левый верхний край – инициалы, фамилия; заголовков – все буквы ПРОПИСНЫЕ, жирные, расположение – по центру набора; таблиц и рисунков: в таблицах размер шрифта – на полтора-два размера меньше, чем в основном тексте (11,5–12), расположение текста в «шапке» таблицы – по центру, в столбцах – по ширине; межстрочное расстояние – 1; слово «Таблица» – курсивное начертание, в правый край таблицы; название таблицы – начертание нормальное (прямое), расположение – по центру таблицы. В рисунках (графиках, диаграммах): размер подрисуночной

подписи – 14, расположение – по центру набора, слово «Рис.» – курсив, название рисунка – нормальное начертание, описание рисунка (экспликация) – нормальное начертание, условные обозначения – курсивное начертание, их расшифровка – нормальное. Расположение таблиц и рисунков – строго после ссылки на них.

Кроме того, рисунки обязательно прилагаются к материалу (один рисунок – один файл; формат – *.jpg).

Ссылки на литературу в тексте пишутся в квадратных скобках ([1], [1, 2] или [3–5]); нумерация сквозная. Список литературы/источников оформляется по ГОСТ 7.0.5–2008.

В конце статьи обязательно ставится дата отсылы материала в редакцию.

Объем статьи – не более 14-ти страниц.

Название файла: Фамилия. Первое слово заголовка. Подчеркивание. Последнее слово заголовка (Сидоров. Синтез_электроприводом).

К материалу (статье) обязательно прилагаются (отдельным файлом): УДК, сведения об авторе, аннотация, ключевые слова (название файла: УДК 000. Сидоров. Синтез_электроприводом).

Материалы для очередного номера журнала «Вестник УрГУПС» принимаются до 30 числа первого месяца квартала (до 30-го января, 30-го апреля, до 30-го июля, до 30-го октября). Материалы, поступившие в редакцию после 30-го числа, будут опубликованы только в следующем номере.

Успешной работы!

*Л. Барышникова,
литературный и выпускающий
редактор журнала «Вестник УрГУПС»*

Уважаемые читатели и авторы журнала «Вестник УрГУПС»!

Если вам нравится наш журнал, вы можете оказать содействие в его развитии, перечислив денежные средства по реквизитам:

Ассоциация выпускников УЭМИИТ-УрГУПС

ИНН-КПП 6670317893/667001001

ОГРН 1156600001470

620075, Свердловская обл., г. Екатеринбург, ул. Шевченко, д. 20, помещение 1

Р/с 40703810863010000192

в ПАО КБ «УБРИР» филиал ССБ

к/с 30101810900000000795

БИК 046577795

Назначение платежа: «Пожертвование для поддержки научных журналов УрГУПС».

Ваша финансовая поддержка позволит нам увеличить число публикаций, повысить индексы цитирования журнала и наших авторов.

Уважаемые руководители инновационных компаний и предприятий!

Предлагаем вам услуги по продвижению вашей продукции через сеть Ассоциации выпускников УЭМИИТ-УрГУПС.

Ассоциация выпускников УЭМИИТ-УрГУПС – это кооперация большого числа неравнодушных людей различных сфер деятельности, окончивших наш университет.

Кроме того, предлагаем услуги по подбору молодых специалистов, по организации поиска решений прикладных и научных задач в рамках диссертационных работ, выполняемых в УрГУПС.

Всю необходимую информацию вы можете получить по тел. (343) 221-25-60

или на сайте <http://www.usurt.ru/vypusnikam/assotsiatsiya-vypusnikov-urgups>

Извещение	<p>Получатель: Ассоциация выпускников УЭМИИТ-УрГУПС</p> <p>КПП: 667001001 ИНН: 6670317893</p> <p>ОКТМО: 65701000 Р/сч.: 40703810863010000192</p> <p>в: ПАО КБ «УБРИР» филиал ССБ</p> <p>БИК: 046577795 К/сч.: 30101810900000000795</p> <p>Код бюджетной классификации (КБК): _____</p> <p>Платеж: Пожертвование для поддержки научных журналов УрГУПС</p> <p>Плательщик: _____</p> <p>Адрес плательщика: _____</p> <p>ИНН плательщика: _____ № л/сч. плательщика: _____</p> <p>Сумма: _____ руб. _____ коп.</p> <p>Подпись: _____ Дата: «____» _____ 2019 г.</p>
Квитанция	<p>Получатель: Ассоциация выпускников УЭМИИТ-УрГУПС</p> <p>КПП: 667001001 ИНН: 6670317893</p> <p>ОКТМО: 65701000 Р/сч.: 40703810863010000192</p> <p>в: ПАО КБ «УБРИР» филиал ССБ</p> <p>БИК: 046577795 К/сч.: 30101810900000000795</p> <p>Код бюджетной классификации (КБК): _____</p> <p>Платеж: Пожертвование для поддержки научных журналов УрГУПС</p> <p>Плательщик: _____</p> <p>Адрес плательщика: _____</p> <p>ИНН плательщика: _____ № л/сч. плательщика: _____</p> <p>Сумма: _____ руб. _____ коп.</p> <p>Подпись: _____ Дата: «____» _____ 2019 г.</p>

ф. СП-1



АБОНЕМЕНТ

на ~~газету~~
журнал

70070

(индекс издания)

Вестник УрГУПС

(наименование издания)	Количество комплектов:	
------------------------	------------------------	--

на 2019 год по месяцам:

1	2	3	4	5	6	7	8	9	10	11	12
X	X	X	X	X	X						

Куда

(почтовый индекс)

(адрес)

Кому

(фамилия, инициалы)

ДОСТАВОЧНАЯ КАРТОЧКА

ПВ	место	литер

на ~~газету~~
журнал

70070

(индекс издания)

Вестник УрГУПС

(наименование издания)

Стои- мость	подписки	руб. ____ коп.	Количество комплектов:	
	переадресовки	руб. ____ коп.		

на 2019 год по месяцам:

1	2	3	4	5	6	7	8	9	10	11	12
X	X	X	X	X	X						

Куда

(почтовый индекс)

(адрес)

Кому

(фамилия, инициалы)